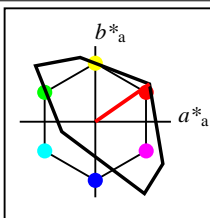


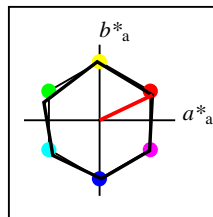
%Umfang  
 $u^*_{rel} = 118$   
%Regularität  
 $g^*_{H,rel} = 22$   
 $g^*_{C,rel} = 40$

TLS18	$L^*=L^*_a$	$a^*_a$	$b^*_a$	$C^*_{ab,a}$	$h^*_{ab,a}$
O <sub>M</sub>	52.76	71.63	49.88	87.29	35
Y <sub>M</sub>	92.74	-20.02	84.97	87.3	103
L <sub>M</sub>	84.0	-78.98	73.94	108.2	137
C <sub>M</sub>	87.14	-44.41	-13.11	46.32	196
V <sub>M</sub>	35.47	64.92	-95.06	115.12	304
M <sub>M</sub>	59.01	89.33	-55.67	105.26	328
N <sub>M</sub>	18.01	0.0	0.0	0.0	0
W <sub>M</sub>	95.41	0.0	0.0	0.0	0
R <sub>CIE</sub>	39.92	58.74	27.99	65.07	25
J <sub>CIE</sub>	81.26	-2.88	71.56	71.62	92
G <sub>CIE</sub>	52.23	-42.41	13.6	44.55	162
B <sub>CIE</sub>	30.57	1.41	-46.46	46.49	272



%Umfang  
 $u^*_{rel} = 118$   
%Regularität  
 $g^*_{H,rel} = 22$   
 $g^*_{C,rel} = 40$

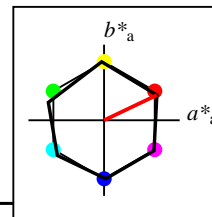
TLS18a; adaptierte CIELAB-Daten	$L^*=L^*_a$	$a^*_a$	$b^*_a$	$C^*_{ab,a}$	$h^*_{ab,a}$
O <sub>Ma</sub>	52.76	71.63	49.88	87.29	35
Y <sub>Ma</sub>	92.74	-20.02	84.97	87.3	103
L <sub>Ma</sub>	84.0	-78.98	73.94	108.2	137
C <sub>Ma</sub>	87.14	-44.41	-13.11	46.32	196
V <sub>Ma</sub>	35.47	64.92	-95.06	115.12	304
M <sub>Ma</sub>	59.01	89.33	-55.67	105.26	328
N <sub>Ma</sub>	18.01	0.0	0.0	0.0	0
W <sub>Ma</sub>	95.41	0.0	0.0	0.0	0
R <sub>CIE</sub>	39.92	58.74	27.99	65.07	25
J <sub>CIE</sub>	81.26	-2.88	71.56	71.62	92
G <sub>CIE</sub>	52.23	-42.41	13.6	44.55	162
B <sub>CIE</sub>	30.57	1.41	-46.46	46.49	272



%Umfang  
 $u^*_{rel} = 100$   
%Regularität  
 $g^*_{H,rel} = 78$   
 $g^*_{C,rel} = 100$

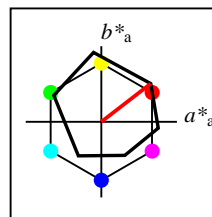
NRS18a; adaptierte CIELAB-Daten	$L^*=L^*_a$	$a^*_a$	$b^*_a$	$C^*_{ab,a}$	$h^*_{ab,a}$
O <sub>Ma</sub>	56.71	69.87	33.29	77.4	25
Y <sub>Ma</sub>	56.71	-3.1	77.34	77.4	92
L <sub>Ma</sub>	56.71	-73.68	23.63	77.39	162
C <sub>Ma</sub>	56.71	-61.81	-46.54	77.39	217
V <sub>Ma</sub>	56.71	2.35	-77.34	77.39	272
M <sub>Ma</sub>	56.71	66.07	-40.3	77.4	329
N <sub>Ma</sub>	18.01	0.0	0.0	0.0	0
W <sub>Ma</sub>	95.41	0.0	0.0	0.0	0
R <sub>CIE</sub>	39.92	58.74	27.99	65.07	25
J <sub>CIE</sub>	81.26	-2.88	71.56	71.62	92
G <sub>CIE</sub>	52.23	-42.41	13.6	44.55	162
B <sub>CIE</sub>	30.57	1.41	-46.46	46.49	272

Workflow-Wahlen  
für Farbmuster:  
1. keine Farbänderung  
2. Buntton-Änderung  
3. Buntheits-Änderung



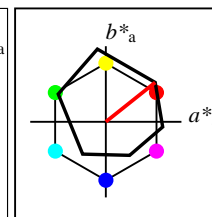
%Umfang  
 $u^*_{rel} = 100$   
%Regularität  
 $g^*_{H,rel} = 78$   
 $g^*_{C,rel} = 100$

NRS18a; adaptierte CIELAB-Daten	$L^*=L^*_a$	$a^*_a$	$b^*_a$	$C^*_{ab,a}$	$h^*_{ab,a}$
O <sub>Ma</sub>	56.71	69.87	33.29	77.4	25
Y <sub>Ma</sub>	56.71	-3.1	77.34	77.4	92
L <sub>Ma</sub>	56.71	-73.68	23.63	77.39	162
C <sub>Ma</sub>	56.71	-61.81	-46.54	77.39	217
V <sub>Ma</sub>	56.71	2.35	-77.34	77.39	272
M <sub>Ma</sub>	56.71	66.07	-40.3	77.4	329
N <sub>Ma</sub>	18.01	0.0	0.0	0.0	0
W <sub>Ma</sub>	95.41	0.0	0.0	0.0	0
R <sub>CIE</sub>	39.92	58.74	27.99	65.07	25
J <sub>CIE</sub>	81.26	-2.88	71.56	71.62	92
G <sub>CIE</sub>	52.23	-42.41	13.6	44.55	162
B <sub>CIE</sub>	30.57	1.41	-46.46	46.49	272



%Umfang  
 $u^*_{rel} = 93$   
%Regularität  
 $g^*_{H,rel} = 57$   
 $g^*_{C,rel} = 59$

ORS18a; adaptierte CIELAB-Daten	$L^*=L^*_a$	$a^*_a$	$b^*_a$	$C^*_{ab,a}$	$h^*_{ab,a}$
O <sub>Ma</sub>	47.94	65.39	50.52	82.63	38
Y <sub>Ma</sub>	90.37	-10.26	91.75	92.32	96
L <sub>Ma</sub>	50.9	-62.83	34.96	71.91	151
C <sub>Ma</sub>	58.62	-30.34	-45.01	54.3	236
V <sub>Ma</sub>	25.72	31.1	-44.4	54.22	305
M <sub>Ma</sub>	48.13	75.28	-8.36	75.74	354
N <sub>Ma</sub>	18.01	0.0	0.0	0.0	0
W <sub>Ma</sub>	95.41	0.0	0.0	0.0	0
R <sub>CIE</sub>	39.92	58.66	26.98	64.57	25
J <sub>CIE</sub>	81.26	-2.16	67.76	67.79	92
G <sub>CIE</sub>	52.23	-42.25	11.76	43.87	164
B <sub>CIE</sub>	30.57	1.15	-46.84	46.86	271



%Umfang  
 $u^*_{rel} = 94$   
%Regularität  
 $g^*_{H,rel} = 58$   
 $g^*_{C,rel} = 54$

ORS18	$L^*=L^*_a$	$a^*_a$	$b^*_a$	$C^*_{ab,a}$	$h^*_{ab,a}$
O <sub>M</sub>	47.94	65.31	52.07	83.53	39
Y <sub>M</sub>	90.37	-11.15	96.17	96.82	97
L <sub>M</sub>	50.9	-62.96	36.71	72.89	150
C <sub>M</sub>	58.62	-30.62	-42.74	52.59	234
V <sub>M</sub>	25.72	31.45	-44.35	54.38	305
M <sub>M</sub>	48.13	75.2	-6.79	75.51	355
N <sub>M</sub>	18.01	0.5	-0.46	0.69	317
W <sub>M</sub>	95.41	-0.98	4.76	4.86	102
R <sub>CIE</sub>	39.92	58.74	27.99	65.07	25
J <sub>CIE</sub>	81.26	-2.88	71.56	71.62	92
G <sub>CIE</sub>	52.23	-42.41	13.6	44.55	162
B <sub>CIE</sub>	30.57	1.41	-46.46	46.49	272

**Relatives CIELAB-Buntheitsdiagramm:** ( $a_R^* = lab^*a$ ,  $b_R^* = lab^*b$ ) und **absolutes CIELAB Bunttondreiecks-Diagramm:** ( $L^*$ ,  $C_{ab}^*$ ) für Ein- (---) und Ausgabe (----) TLS18: Eingabe (i) Farbmatrik-Sytem; Sechs Bunttonwinkel des Farbgerätes: (34.9, 103.3, 136.9, 196.5, 304.3, 328.1); Vier Bunttonwinkel der Elementarfarben: (25.5, 92.3, 162.2, 271.7) ORS18: Ausgabe (o) Farbmatrik-Sytem; Sechs Bunttonwinkel des Farbgerätes: (37.7, 96.4, 150.9, 236.0, 305.0, 353.7); Vier Bunttonwinkel der Elementarfarben: (24.7, 91.8, 164.5, 271.4)

#### Y Gelb

$olv3Mi = 1.0 \ 1.0 \ 0.0$   
 $olv3Mo = 0.874 \ 1.0 \ 0.0$   
 $LCHMi = 92.7 \ 87.3 \ 103$   
 $LCHo = 85.4 \ 89.7 \ 103$   
 $tchMi = 0.5 \ 1.0 \ 0.287$   
 $tchMo = 0.5 \ 1.0 \ 0.287$

#### L Laubgrün

$olv3Mi = 0.0 \ 1.0 \ 0.0$   
 $olv3Mo = 0.257 \ 1.0 \ 0.0$   
 $LCHMi = 84.0 \ 108.2 \ 137$   
 $LCHo = 61.0 \ 77.2 \ 137$   
 $tchMi = 0.5 \ 1.0 \ 0.38$   
 $tchMo = 0.5 \ 1.0 \ 0.38$

#### C Cyanblau

$olv3Mi = 0.0 \ 1.0 \ 1.0$   
 $olv3Mo = 0.0 \ 1.0 \ 0.535$   
 $LCHMi = 87.1 \ 46.3 \ 196$   
 $LCHo = 55.0 \ 62.5 \ 196$   
 $tchMi = 0.5 \ 1.0 \ 0.546$   
 $tchMo = 0.5 \ 1.0 \ 0.546$

#### O Orangerot

$olv3Mi = 1.0 \ 0.0 \ 0.0$   
 $olv3Mo = 1.0 \ 0.0 \ 0.064$   
 $LCHMi = 52.8 \ 87.3 \ 35$   
 $LCHo = 48.0 \ 82.2 \ 35$   
 $tchMi = 0.5 \ 1.0 \ 0.097$   
 $tchMo = 0.5 \ 1.0 \ 0.097$

#### M Magentarot

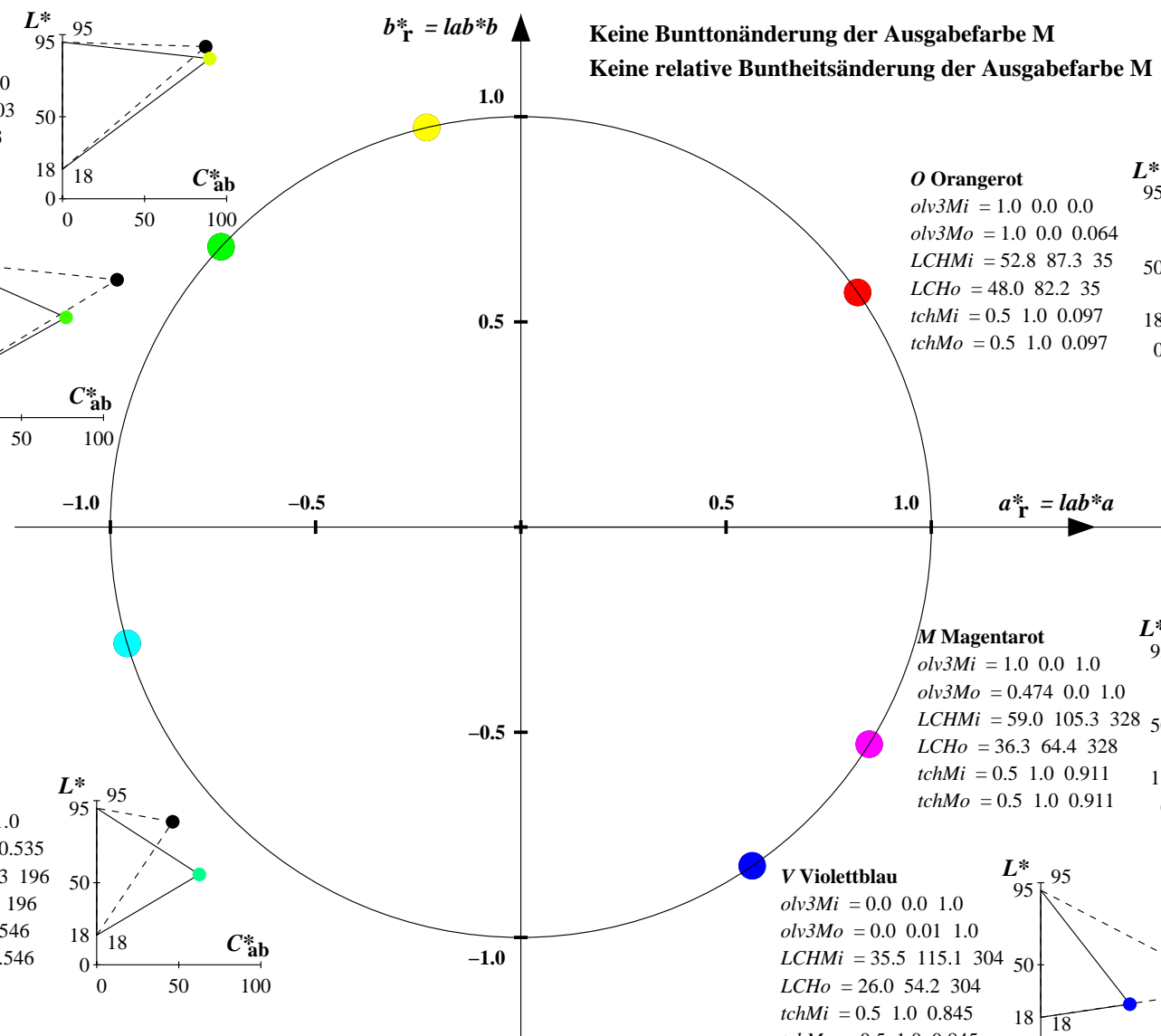
$olv3Mi = 1.0 \ 0.0 \ 1.0$   
 $olv3Mo = 0.474 \ 0.0 \ 1.0$   
 $LCHMi = 59.0 \ 105.3 \ 328$   
 $LCHo = 36.3 \ 64.4 \ 328$   
 $tchMi = 0.5 \ 1.0 \ 0.911$   
 $tchMo = 0.5 \ 1.0 \ 0.911$

#### V Violettblau

$olv3Mi = 0.0 \ 0.0 \ 1.0$   
 $olv3Mo = 0.0 \ 0.01 \ 1.0$   
 $LCHMi = 35.5 \ 115.1 \ 304$   
 $LCHo = 26.0 \ 54.2 \ 304$   
 $tchMi = 0.5 \ 1.0 \ 0.845$   
 $tchMo = 0.5 \ 1.0 \ 0.845$

Keine Bunttonänderung der Ausgabefarbe M

Keine relative Buntheitsänderung der Ausgabefarbe M



Relatives CIELAB-Buntheitsdiagramm: ( $a_R^* = lab^*a$ ,  $b_R^* = lab^*b$ ) und absolutes CIELAB Bunttondreiecks-Diagramm: ( $L^*$ ,  $C_{ab}^*$ ) für Ein- (---) und Ausgabe (----) TLS18: Eingabe (i) Farbmatrik-Sytem; Sechs Bunttonwinkel des Farbgerätes: (34.9, 103.3, 136.9, 196.5, 304.3, 328.1); Vier Bunttonwinkel der Elementarfarben: (25.5, 92.3, 162.2, 271.7) ORS18: Ausgabe (o) Farbmatrik-Sytem; Sechs Bunttonwinkel des Farbgerätes: (37.7, 96.4, 150.9, 236.0, 305.0, 353.7); Vier Bunttonwinkel der Elementarfarben: (24.7, 91.8, 164.5, 271.4)

#### Y Gelb

olv3Mi = 1.0 1.0 0.0  
olv3Mo = 0.69 1.0 0.0  
LCHMi = 92.7 87.3 103  
LCHo = 78.1 86.0 113  
tchMi = 0.5 1.0 0.287  
tchMo = 0.5 1.0 0.315

#### L Laubgrün

olv3Mi = 0.0 1.0 0.0  
olv3Mo = 0.074 1.0 0.0  
LCHMi = 84.0 108.2 137  
LCHo = 53.8 73.4 147  
tchMi = 0.5 1.0 0.38  
tchMo = 0.5 1.0 0.408

#### C Cyanblau

olv3Mi = 0.0 1.0 1.0  
olv3Mo = 0.0 1.0 0.653  
LCHMi = 87.1 46.3 196  
LCHo = 55.9 60.4 206  
tchMi = 0.5 1.0 0.546  
tchMo = 0.5 1.0 0.574

#### O Orangerot

olv3Mi = 1.0 0.0 0.0  
olv3Mo = 1.0 0.122 0.0  
LCHMi = 52.8 87.3 35  
LCHo = 53.1 83.8 45  
tchMi = 0.5 1.0 0.097  
tchMo = 0.5 1.0 0.125

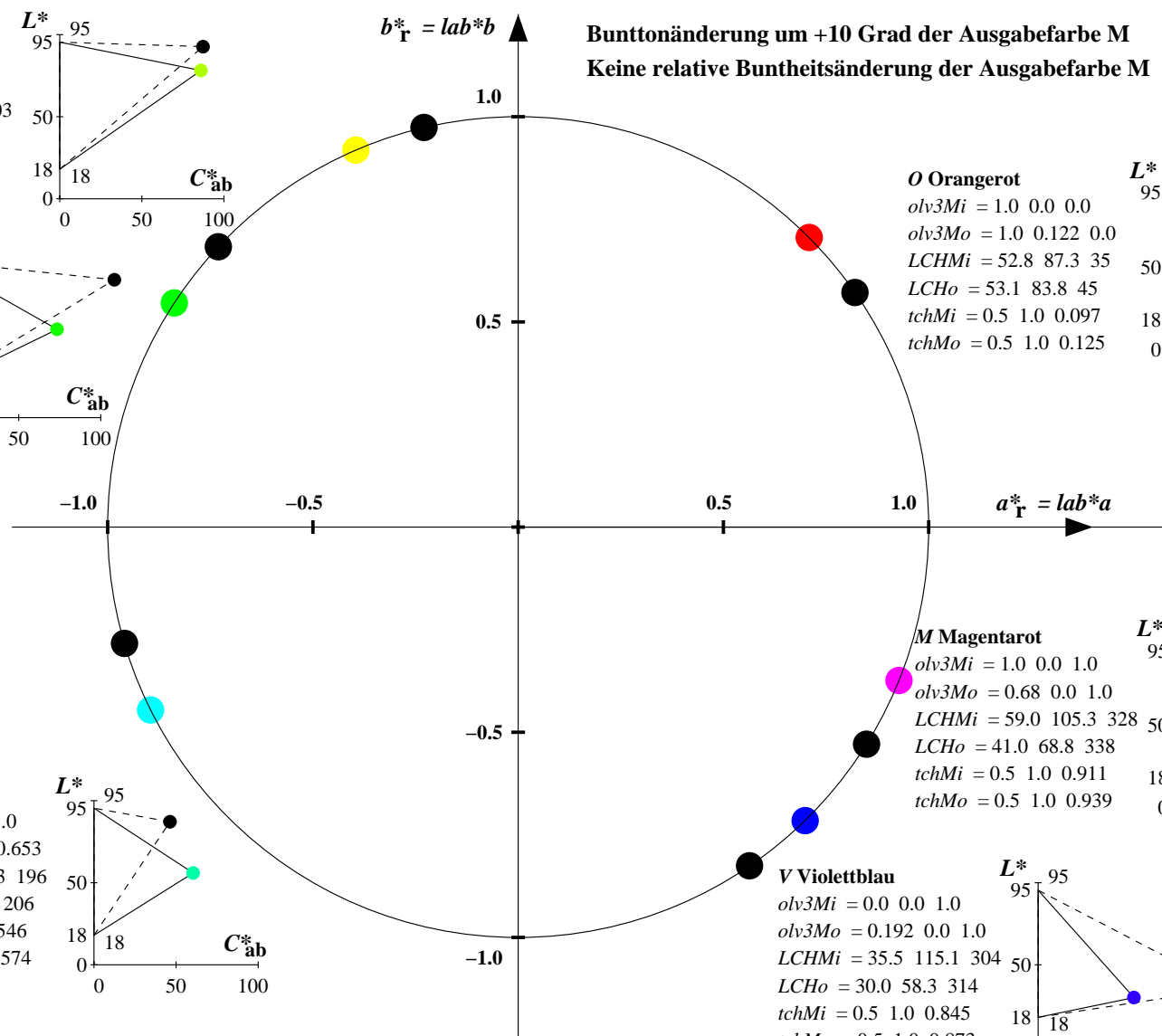
#### M Magentarot

olv3Mi = 1.0 0.0 1.0  
olv3Mo = 0.68 0.0 1.0  
LCHMi = 59.0 105.3 328  
LCHo = 41.0 68.8 338  
tchMi = 0.5 1.0 0.911  
tchMo = 0.5 1.0 0.939

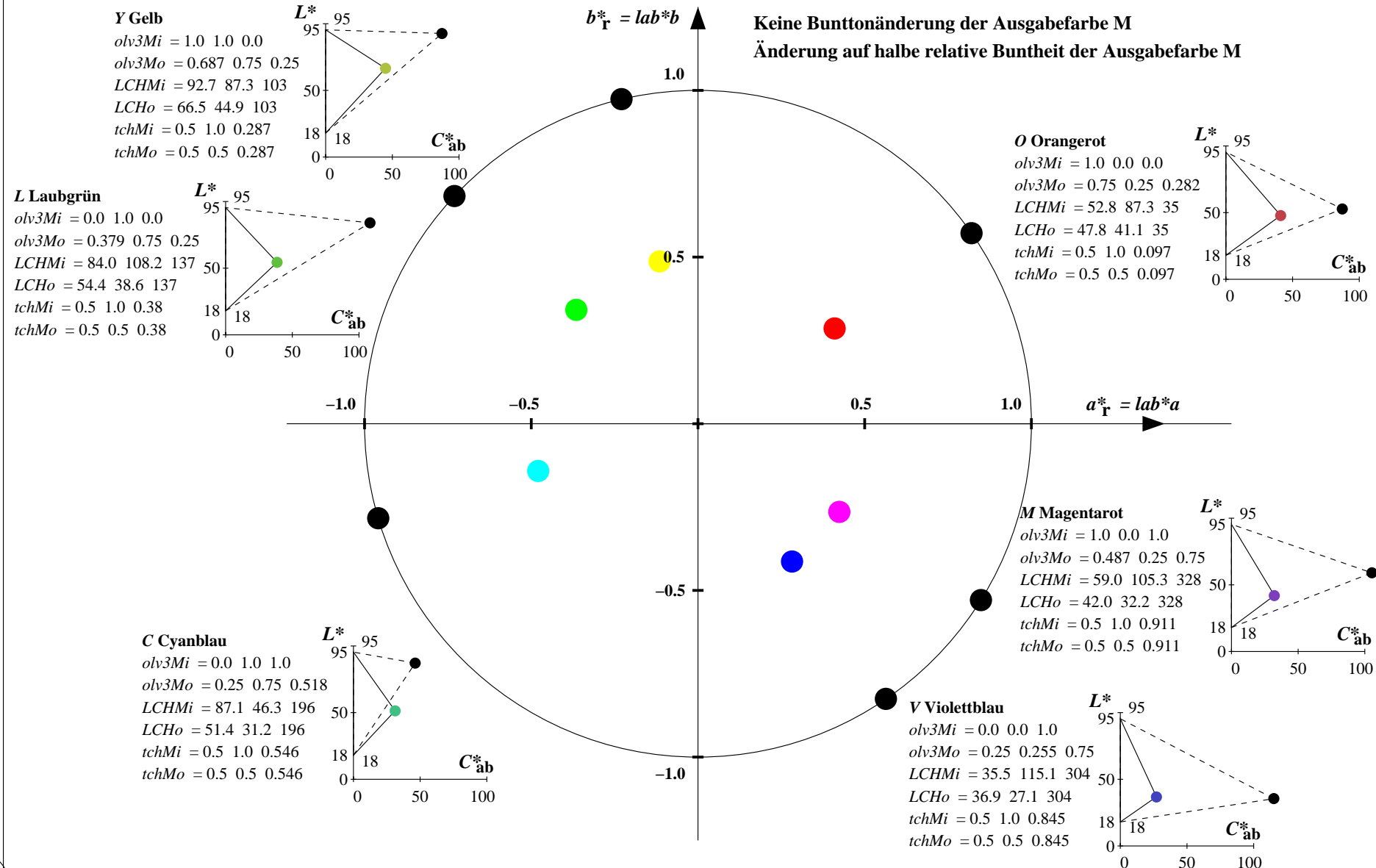
#### V Violettblau

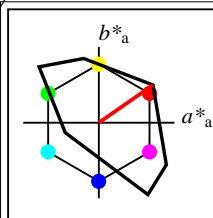
olv3Mi = 0.0 0.0 1.0  
olv3Mo = 0.192 0.0 1.0  
LCHMi = 35.5 115.1 304  
LCHo = 30.0 58.3 314  
tchMi = 0.5 1.0 0.845  
tchMo = 0.5 1.0 0.873

Bunttonänderung um +10 Grad der Ausgabefarbe M  
Keine relative Buntheitsänderung der Ausgabefarbe M



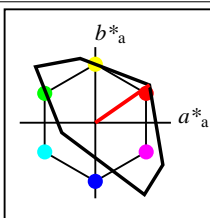
**Relatives CIELAB-Buntheitsdiagramm:** ( $a_R^* = lab^*a$ ,  $b_R^* = lab^*b$ ) und **absolutes CIELAB Bunttondreiecks-Diagramm:** ( $L^*$ ,  $C_{ab}^*$ ) für Ein- (---) und Ausgabe (----) TLS18: Eingabe (i) Farbmatrik-Sytem; Sechs Bunttonwinkel des Farbgerätes: (34.9, 103.3, 136.9, 196.5, 304.3, 328.1); Vier Bunttonwinkel der Elementarfarben: (25.5, 92.3, 162.2, 271.7) ORS18: Ausgabe (o) Farbmatrik-Sytem; Sechs Bunttonwinkel des Farbgerätes: (37.7, 96.4, 150.9, 236.0, 305.0, 353.7); Vier Bunttonwinkel der Elementarfarben: (24.7, 91.8, 164.5, 271.4)





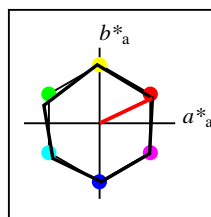
%Umfang  
 $u^*_{rel} = 118$   
%Regularität  
 $g^*_{H,rel} = 22$   
 $g^*_{C,rel} = 40$

TLS18	$L^*=L^*_a$	$a^*_a$	$b^*_a$	$C^*_{ab,a}$	$h^*_{ab,a}$
O <sub>M</sub>	52.76	71.63	49.88	87.29	35
Y <sub>M</sub>	92.74	-20.02	84.97	87.3	103
L <sub>M</sub>	84.0	-78.98	73.94	108.2	137
C <sub>M</sub>	87.14	-44.41	-13.11	46.32	196
V <sub>M</sub>	35.47	64.92	-95.06	115.12	304
M <sub>M</sub>	59.01	89.33	-55.67	105.26	328
N <sub>M</sub>	18.01	0.0	0.0	0.0	0
W <sub>M</sub>	95.41	0.0	0.0	0.0	0
R <sub>CIE</sub>	39.92	58.74	27.99	65.07	25
J <sub>CIE</sub>	81.26	-2.88	71.56	71.62	92
G <sub>CIE</sub>	52.23	-42.41	13.6	44.55	162
B <sub>CIE</sub>	30.57	1.41	-46.46	46.49	272



%Umfang  
 $u^*_{rel} = 118$   
%Regularität  
 $g^*_{H,rel} = 22$   
 $g^*_{C,rel} = 40$

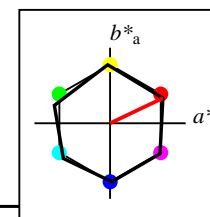
TLS18a; adaptierte CIELAB-Daten	$L^*=L^*_a$	$a^*_a$	$b^*_a$	$C^*_{ab,a}$	$h^*_{ab,a}$
O <sub>Ma</sub>	52.76	71.63	49.88	87.29	35
Y <sub>Ma</sub>	92.74	-20.02	84.97	87.3	103
L <sub>Ma</sub>	84.0	-78.98	73.94	108.2	137
C <sub>Ma</sub>	87.14	-44.41	-13.11	46.32	196
V <sub>Ma</sub>	35.47	64.92	-95.06	115.12	304
M <sub>Ma</sub>	59.01	89.33	-55.67	105.26	328
N <sub>Ma</sub>	18.01	0.0	0.0	0.0	0
W <sub>Ma</sub>	95.41	0.0	0.0	0.0	0
R <sub>CIE</sub>	39.92	58.74	27.99	65.07	25
J <sub>CIE</sub>	81.26	-2.88	71.56	71.62	92
G <sub>CIE</sub>	52.23	-42.41	13.6	44.55	162
B <sub>CIE</sub>	30.57	1.41	-46.46	46.49	272



%Umfang  
 $u^*_{rel} = 100$   
%Regularität  
 $g^*_{H,rel} = 78$   
 $g^*_{C,rel} = 100$

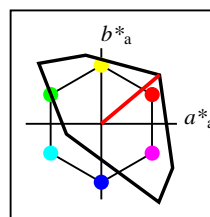
NRS18a; adaptierte CIELAB-Daten	$L^*=L^*_a$	$a^*_a$	$b^*_a$	$C^*_{ab,a}$	$h^*_{ab,a}$
O <sub>Ma</sub>	56.71	69.87	33.29	77.4	25
Y <sub>Ma</sub>	56.71	-3.1	77.34	77.4	92
L <sub>Ma</sub>	56.71	-73.68	23.63	77.39	162
C <sub>Ma</sub>	56.71	-61.81	-46.54	77.39	217
V <sub>Ma</sub>	56.71	2.35	-77.34	77.39	272
M <sub>Ma</sub>	56.71	66.07	-40.3	77.4	329
N <sub>Ma</sub>	18.01	0.0	0.0	0.0	0
W <sub>Ma</sub>	95.41	0.0	0.0	0.0	0
R <sub>CIE</sub>	39.92	58.74	27.99	65.07	25
J <sub>CIE</sub>	81.26	-2.88	71.56	71.62	92
G <sub>CIE</sub>	52.23	-42.41	13.6	44.55	162
B <sub>CIE</sub>	30.57	1.41	-46.46	46.49	272

Workflow-Wahlen  
für Farbmuster:  
1. keine Farbänderung  
2. Buntton-Änderung  
3. Buntheits-Änderung



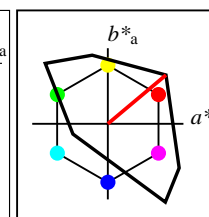
%Umfang  
 $u^*_{rel} = 100$   
%Regularität  
 $g^*_{H,rel} = 78$   
 $g^*_{C,rel} = 100$

NRS18a; adaptierte CIELAB-Daten	$L^*=L^*_a$	$a^*_a$	$b^*_a$	$C^*_{ab,a}$	$h^*_{ab,a}$
O <sub>Ma</sub>	56.71	69.87	33.29	77.4	25
Y <sub>Ma</sub>	56.71	-3.1	77.34	77.4	92
L <sub>Ma</sub>	56.71	-73.68	23.63	77.39	162
C <sub>Ma</sub>	56.71	-61.81	-46.54	77.39	217
V <sub>Ma</sub>	56.71	2.35	-77.34	77.39	272
M <sub>Ma</sub>	56.71	66.07	-40.3	77.4	329
N <sub>Ma</sub>	18.01	0.0	0.0	0.0	0
W <sub>Ma</sub>	95.41	0.0	0.0	0.0	0
R <sub>CIE</sub>	39.92	58.74	27.99	65.07	25
J <sub>CIE</sub>	81.26	-2.88	71.56	71.62	92
G <sub>CIE</sub>	52.23	-42.41	13.6	44.55	162
B <sub>CIE</sub>	30.57	1.41	-46.46	46.49	272



%Umfang  
 $u^*_{rel} = 158$   
%Regularität  
 $g^*_{H,rel} = 20$   
 $g^*_{C,rel} = 37$

TLS00a; adaptierte CIELAB-Daten	$L^*=L^*_a$	$a^*_a$	$b^*_a$	$C^*_{ab,a}$	$h^*_{ab,a}$
O <sub>Ma</sub>	50.5	76.92	64.55	100.42	40
Y <sub>Ma</sub>	92.66	-20.69	90.75	93.08	103
L <sub>Ma</sub>	83.63	-82.75	79.9	115.04	136
C <sub>Ma</sub>	86.88	-46.16	-13.55	48.12	196
V <sub>Ma</sub>	30.39	76.06	-103.59	128.52	306
M <sub>Ma</sub>	57.3	94.35	-58.41	110.97	328
N <sub>Ma</sub>	0.01	0.0	0.0	0.0	0
W <sub>Ma</sub>	95.41	0.0	0.0	0.0	0
R <sub>CIE</sub>	39.92	58.74	27.99	65.07	25
J <sub>CIE</sub>	81.26	-2.88	71.56	71.62	92
G <sub>CIE</sub>	52.23	-42.41	13.6	44.55	162
B <sub>CIE</sub>	30.57	1.41	-46.46	46.49	272



%Umfang  
 $u^*_{rel} = 158$   
%Regularität  
 $g^*_{H,rel} = 20$   
 $g^*_{C,rel} = 37$

TLS00	$L^*=L^*_a$	$a^*_a$	$b^*_a$	$C^*_{ab,a}$	$h^*_{ab,a}$
O <sub>M</sub>	50.5	76.92	64.55	100.42	40
Y <sub>M</sub>	92.66	-20.69	90.75	93.08	103
L <sub>M</sub>	83.63	-82.75	79.9	115.04	136
C <sub>M</sub>	86.88	-46.16	-13.55	48.12	196
V <sub>M</sub>	30.39	76.06	-103.59	128.52	306
M <sub>M</sub>	57.3	94.35	-58.41	110.97	328
N <sub>M</sub>	0.01	0.0	0.0	0.0	0
W <sub>M</sub>	95.41	0.0	0.0	0.0	0
R <sub>CIE</sub>	39.92	58.74	27.99	65.07	25
J <sub>CIE</sub>	81.26	-2.88	71.56	71.62	92
G <sub>CIE</sub>	52.23	-42.41	13.6	44.55	162
B <sub>CIE</sub>	30.57	1.41	-46.46	46.49	272



Relatives CIELAB-Buntheitsdiagramm: ( $a^*_r = lab^*a$ ,  $b^*_r = lab^*b$ ) und absolutes CIELAB Bunttondreiecks-Diagramm: ( $L^*$ ,  $C^*_{ab}$ ) für Ein- (---) und Ausgabe (----)  
TLS18: Eingabe (i) Farbmatrik-Sytem; Sechs Bunttonwinkel des Farbgerätes: (34.9, 103.3, 136.9, 196.5, 304.3, 328.1); Vier Bunttonwinkel der Elementarfarben: (25.5, 92.3, 162.2, 271.7)  
TLS00: Ausgabe (o) Farbmatrik-Sytem; Sechs Bunttonwinkel des Farbgerätes: (40.0, 102.8, 136.0, 196.4, 306.3, 328.2); Vier Bunttonwinkel der Elementarfarben: (25.5, 92.3, 162.2, 271.7)

#### Y Gelb

$olv3Mi = 1.0 \ 1.0 \ 0.0$   
 $olv3Mo = 0.987 \ 1.0 \ 0.0$   
 $LCHMi = 92.7 \ 87.3 \ 103$   
 $LCHo = 92.5 \ 93.4 \ 103$   
 $tchMi = 0.5 \ 1.0 \ 0.287$   
 $tchMo = 0.5 \ 1.0 \ 0.287$

#### L Laubgrün

$olv3Mi = 0.0 \ 1.0 \ 0.0$   
 $olv3Mo = 0.0 \ 1.0 \ 0.015$   
 $LCHMi = 84.0 \ 108.2 \ 137$   
 $LCHo = 83.7 \ 114.1 \ 137$   
 $tchMi = 0.5 \ 1.0 \ 0.38$   
 $tchMo = 0.5 \ 1.0 \ 0.38$

#### C Cyanblau

$olv3Mi = 0.0 \ 1.0 \ 1.0$   
 $olv3Mo = 0.0 \ 0.999 \ 1.0$   
 $LCHMi = 87.1 \ 46.3 \ 196$   
 $LCHo = 86.8 \ 48.2 \ 196$   
 $tchMi = 0.5 \ 1.0 \ 0.546$   
 $tchMo = 0.5 \ 1.0 \ 0.546$

#### O Orangerot

$olv3Mi = 1.0 \ 0.0 \ 0.0$   
 $olv3Mo = 1.0 \ 0.0 \ 0.072$   
 $LCHMi = 52.8 \ 87.3 \ 35$   
 $LCHo = 51.0 \ 101.2 \ 35$   
 $tchMi = 0.5 \ 1.0 \ 0.097$   
 $tchMo = 0.5 \ 1.0 \ 0.097$

#### M Magentarot

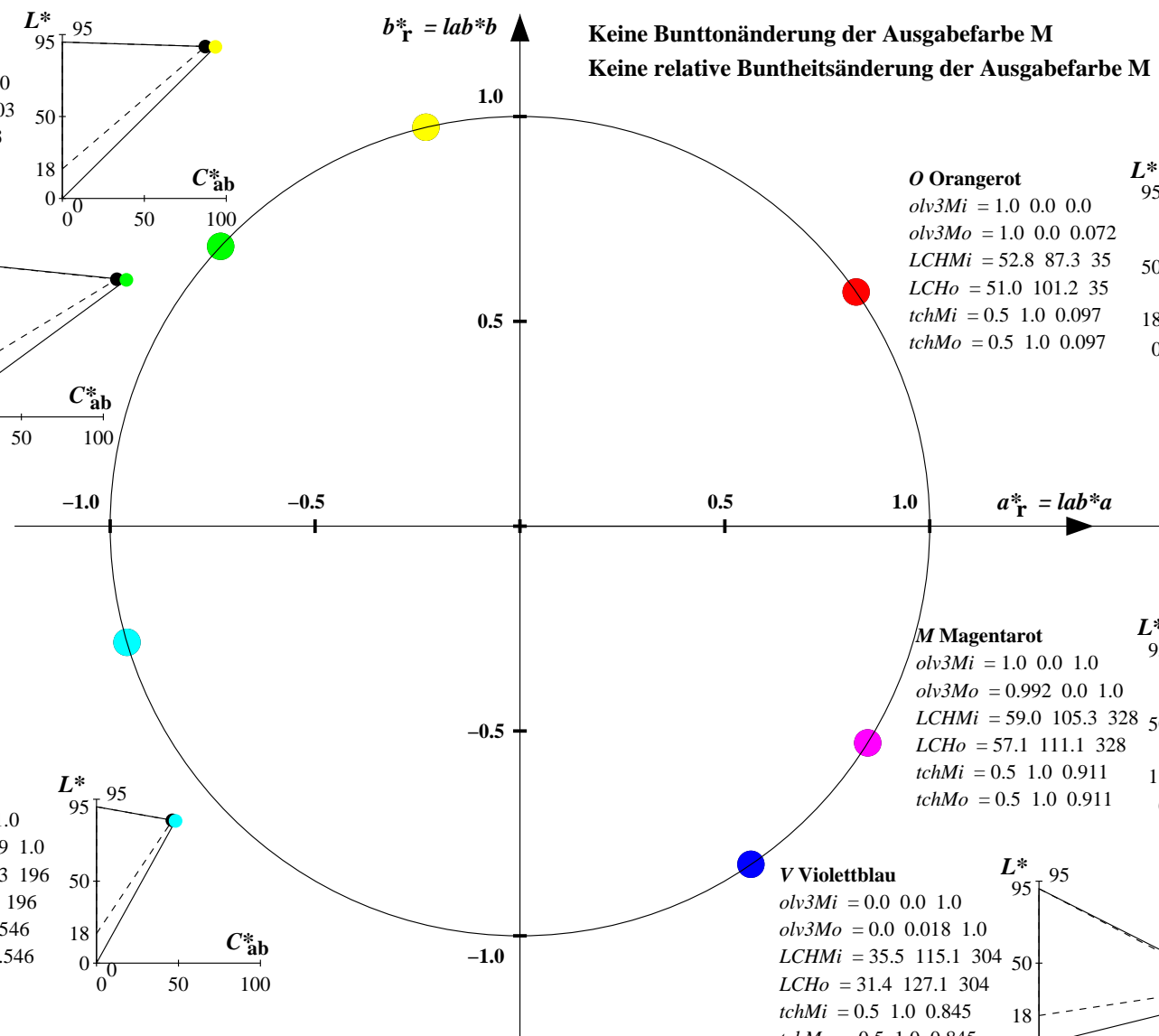
$olv3Mi = 1.0 \ 0.0 \ 1.0$   
 $olv3Mo = 0.992 \ 0.0 \ 1.0$   
 $LCHMi = 59.0 \ 105.3 \ 328$   
 $LCHo = 57.1 \ 111.1 \ 328$   
 $tchMi = 0.5 \ 1.0 \ 0.911$   
 $tchMo = 0.5 \ 1.0 \ 0.911$

#### V Violettblau

$olv3Mi = 0.0 \ 0.0 \ 1.0$   
 $olv3Mo = 0.0 \ 0.018 \ 1.0$   
 $LCHMi = 35.5 \ 115.1 \ 304$   
 $LCHo = 31.4 \ 127.1 \ 304$   
 $tchMi = 0.5 \ 1.0 \ 0.845$   
 $tchMo = 0.5 \ 1.0 \ 0.845$

Keine Bunttonänderung der Ausgabefarbe M

Keine relative Buntheitsänderung der Ausgabefarbe M



Relatives CIELAB-Buntheitsdiagramm: ( $a^*_r = lab^*a$ ,  $b^*_r = lab^*b$ ) und absolutes CIELAB Bunttondreiecks-Diagramm: ( $L^*$ ,  $C^*_{ab}$ ) für Ein- (---) und Ausgabe (----) TLS18: Eingabe (i) Farbmatrik-Sytem; Sechs Bunttonwinkel des Farbgerätes: (34.9, 103.3, 136.9, 196.5, 304.3, 328.1); Vier Bunttonwinkel der Elementarfarben: (25.5, 92.3, 162.2, 271.7) TLS00: Ausgabe (o) Farbmatrik-Sytem; Sechs Bunttonwinkel des Farbgerätes: (40.0, 102.8, 136.0, 196.4, 306.3, 328.2); Vier Bunttonwinkel der Elementarfarben: (25.5, 92.3, 162.2, 271.7)

#### Y Gelb

olv3Mi = 1.0 1.0 0.0  
olv3Mo = 0.686 1.0 0.0  
LCHMi = 92.7 87.3 103  
LCHo = 89.8 100.0 113  
tchMi = 0.5 1.0 0.287  
tchMo = 0.5 1.0 0.315

#### L Laubgrün

olv3Mi = 0.0 1.0 0.0  
olv3Mo = 0.0 1.0 0.18  
LCHMi = 84.0 108.2 137  
LCHo = 84.2 103.0 147  
tchMi = 0.5 1.0 0.38  
tchMo = 0.5 1.0 0.408

#### C Cyanblau

olv3Mi = 0.0 1.0 1.0  
olv3Mo = 0.0 0.908 1.0  
LCHMi = 87.1 46.3 196  
LCHo = 81.7 55.5 206  
tchMi = 0.5 1.0 0.546  
tchMo = 0.5 1.0 0.574

#### O Orangerot

olv3Mi = 1.0 0.0 0.0  
olv3Mo = 1.0 0.077 0.0  
LCHMi = 52.8 87.3 35  
LCHo = 53.8 99.8 45  
tchMi = 0.5 1.0 0.097  
tchMo = 0.5 1.0 0.125

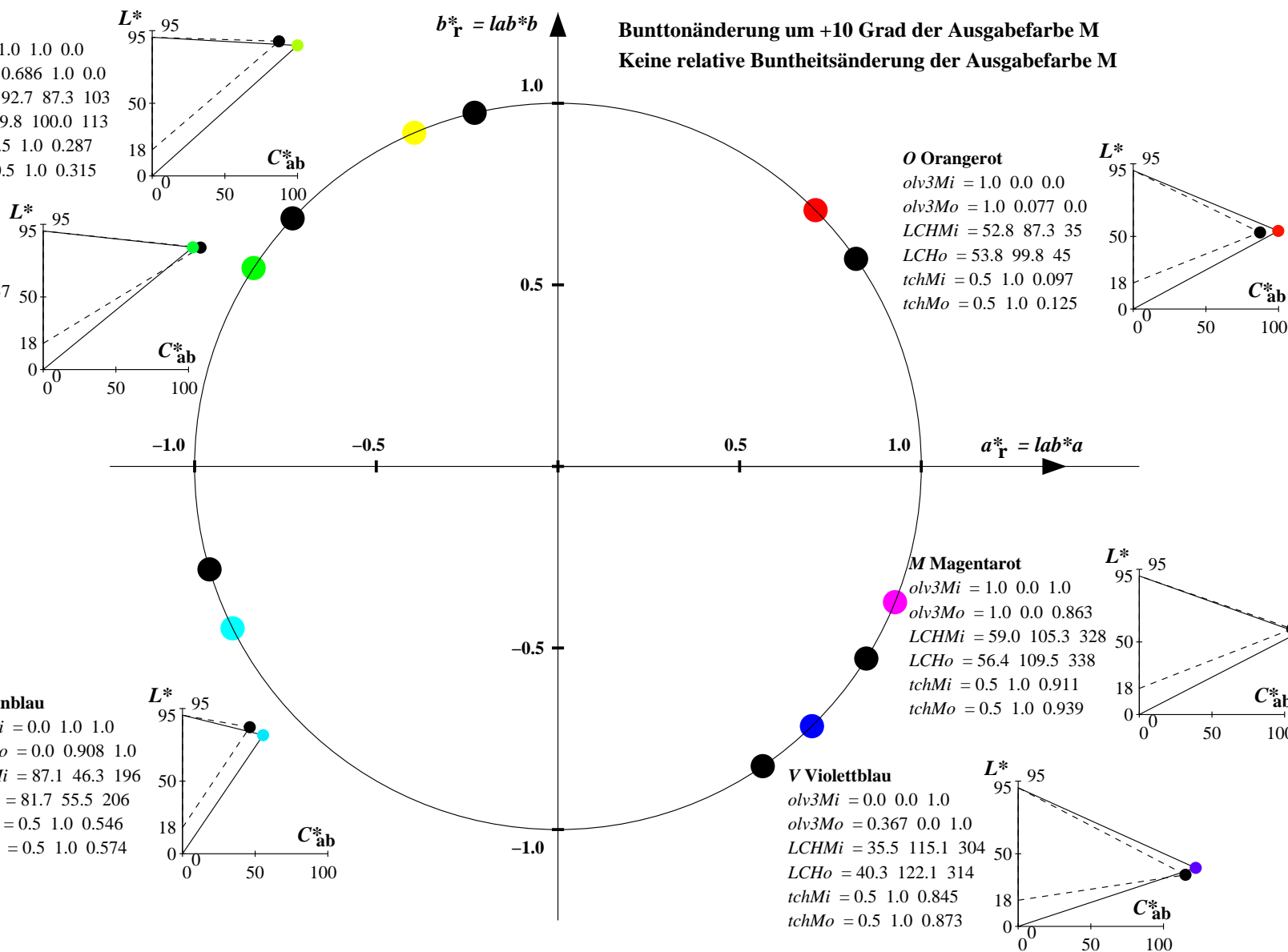
#### M Magentarot

olv3Mi = 1.0 0.0 1.0  
olv3Mo = 1.0 0.0 0.863  
LCHMi = 59.0 105.3 328  
LCHo = 56.4 109.5 338  
tchMi = 0.5 1.0 0.911  
tchMo = 0.5 1.0 0.939

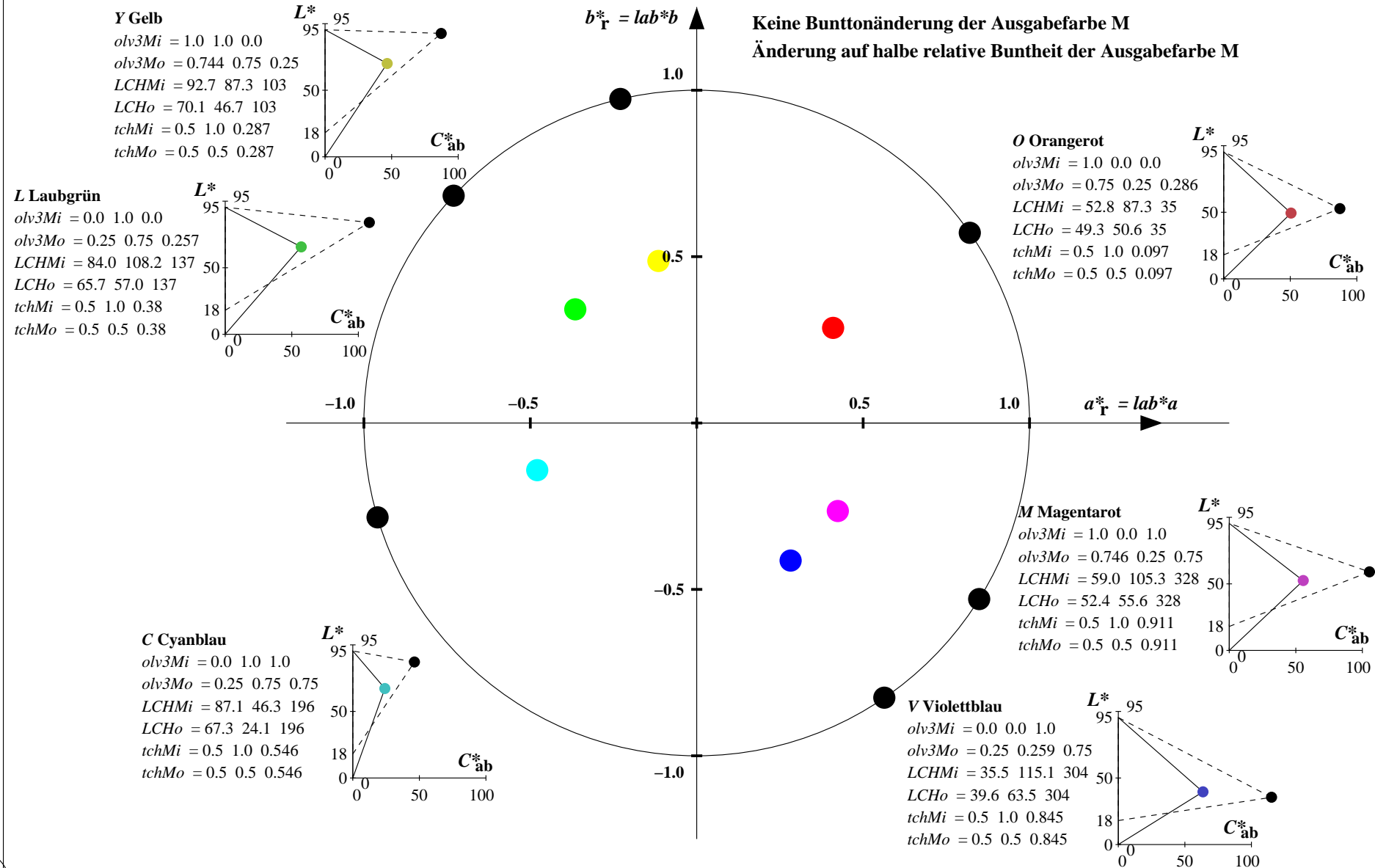
#### V Violettblau

olv3Mi = 0.0 0.0 1.0  
olv3Mo = 0.367 0.0 1.0  
LCHMi = 35.5 115.1 304  
LCHo = 40.3 122.1 314  
tchMi = 0.5 1.0 0.845  
tchMo = 0.5 1.0 0.873

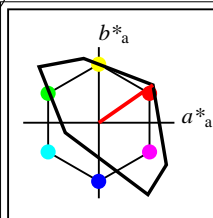
Bunttonänderung um +10 Grad der Ausgabefarbe M  
Keine relative Buntheitsänderung der Ausgabefarbe M



**Relatives CIELAB-Buntheitsdiagramm:** ( $a^*_r = lab^*a$ ,  $b^*_r = lab^*b$ ) und **absolutes CIELAB Bunttondreiecks-Diagramm:** ( $L^*$ ,  $C^*_{ab}$ ) für Ein- (---) und Ausgabe (----) TLS18: Eingabe (i) Farbmatrik-Sytem; Sechs Bunttonwinkel des Farbgerätes: (34.9, 103.3, 136.9, 196.5, 304.3, 328.1); Vier Bunttonwinkel der Elementarfarben: (25.5, 92.3, 162.2, 271.7) TLS00: Ausgabe (o) Farbmatrik-Sytem; Sechs Bunttonwinkel des Farbgerätes: (40.0, 102.8, 136.0, 196.4, 306.3, 328.2); Vier Bunttonwinkel der Elementarfarben: (25.5, 92.3, 162.2, 271.7)

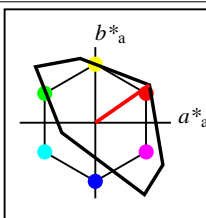






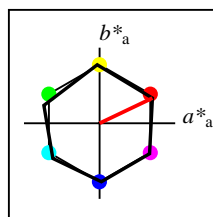
%Umfang  
 $u^*_{rel} = 118$   
%Regularität  
 $g^*_{H,rel} = 22$   
 $g^*_{C,rel} = 40$

TLS18	$L^*=L^*_a$	$a^*_a$	$b^*_a$	$C^*_{ab,a}$	$h^*_{ab,a}$
O <sub>M</sub>	52.76	71.63	49.88	87.29	35
Y <sub>M</sub>	92.74	-20.02	84.97	87.3	103
L <sub>M</sub>	84.0	-78.98	73.94	108.2	137
C <sub>M</sub>	87.14	-44.41	-13.11	46.32	196
V <sub>M</sub>	35.47	64.92	-95.06	115.12	304
M <sub>M</sub>	59.01	89.33	-55.67	105.26	328
N <sub>M</sub>	18.01	0.0	0.0	0.0	0
W <sub>M</sub>	95.41	0.0	0.0	0.0	0
R <sub>CIE</sub>	39.92	58.74	27.99	65.07	25
J <sub>CIE</sub>	81.26	-2.88	71.56	71.62	92
G <sub>CIE</sub>	52.23	-42.41	13.6	44.55	162
B <sub>CIE</sub>	30.57	1.41	-46.46	46.49	272



%Umfang  
 $u^*_{rel} = 118$   
%Regularität  
 $g^*_{H,rel} = 22$   
 $g^*_{C,rel} = 40$

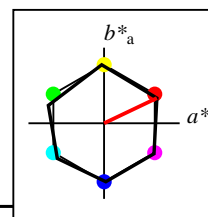
TLS18a; adaptierte CIELAB-Daten	$L^*=L^*_a$	$a^*_a$	$b^*_a$	$C^*_{ab,a}$	$h^*_{ab,a}$
O <sub>Ma</sub>	52.76	71.63	49.88	87.29	35
Y <sub>Ma</sub>	92.74	-20.02	84.97	87.3	103
L <sub>Ma</sub>	84.0	-78.98	73.94	108.2	137
C <sub>Ma</sub>	87.14	-44.41	-13.11	46.32	196
V <sub>Ma</sub>	35.47	64.92	-95.06	115.12	304
M <sub>Ma</sub>	59.01	89.33	-55.67	105.26	328
N <sub>Ma</sub>	18.01	0.0	0.0	0.0	0
W <sub>Ma</sub>	95.41	0.0	0.0	0.0	0
R <sub>CIE</sub>	39.92	58.74	27.99	65.07	25
J <sub>CIE</sub>	81.26	-2.88	71.56	71.62	92
G <sub>CIE</sub>	52.23	-42.41	13.6	44.55	162
B <sub>CIE</sub>	30.57	1.41	-46.46	46.49	272



%Umfang  
 $u^*_{rel} = 100$   
%Regularität  
 $g^*_{H,rel} = 78$   
 $g^*_{C,rel} = 100$

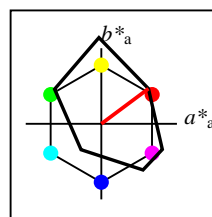
NRS18a; adaptierte CIELAB-Daten	$L^*=L^*_a$	$a^*_a$	$b^*_a$	$C^*_{ab,a}$	$h^*_{ab,a}$
O <sub>Ma</sub>	56.71	69.87	33.29	77.4	25
Y <sub>Ma</sub>	56.71	-3.1	77.34	77.4	92
L <sub>Ma</sub>	56.71	-73.68	23.63	77.39	162
C <sub>Ma</sub>	56.71	-61.81	-46.54	77.39	217
V <sub>Ma</sub>	56.71	2.35	-77.34	77.39	272
M <sub>Ma</sub>	56.71	66.07	-40.3	77.4	329
N <sub>Ma</sub>	18.01	0.0	0.0	0.0	0
W <sub>Ma</sub>	95.41	0.0	0.0	0.0	0
R <sub>CIE</sub>	39.92	58.74	27.99	65.07	25
J <sub>CIE</sub>	81.26	-2.88	71.56	71.62	92
G <sub>CIE</sub>	52.23	-42.41	13.6	44.55	162
B <sub>CIE</sub>	30.57	1.41	-46.46	46.49	272

Workflow-Wahlen  
für Farbmuster:  
1. keine Farbänderung  
2. Buntton-Änderung  
3. Buntheits-Änderung



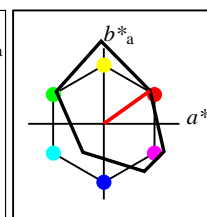
%Umfang  
 $u^*_{rel} = 100$   
%Regularität  
 $g^*_{H,rel} = 78$   
 $g^*_{C,rel} = 100$

NRS18a; adaptierte CIELAB-Daten	$L^*=L^*_a$	$a^*_a$	$b^*_a$	$C^*_{ab,a}$	$h^*_{ab,a}$
O <sub>Ma</sub>	56.71	69.87	33.29	77.4	25
Y <sub>Ma</sub>	56.71	-3.1	77.34	77.4	92
L <sub>Ma</sub>	56.71	-73.68	23.63	77.39	162
C <sub>Ma</sub>	56.71	-61.81	-46.54	77.39	217
V <sub>Ma</sub>	56.71	2.35	-77.34	77.39	272
M <sub>Ma</sub>	56.71	66.07	-40.3	77.4	329
N <sub>Ma</sub>	18.01	0.0	0.0	0.0	0
W <sub>Ma</sub>	95.41	0.0	0.0	0.0	0
R <sub>CIE</sub>	39.92	58.74	27.99	65.07	25
J <sub>CIE</sub>	81.26	-2.88	71.56	71.62	92
G <sub>CIE</sub>	52.23	-42.41	13.6	44.55	162
B <sub>CIE</sub>	30.57	1.41	-46.46	46.49	272



%Umfang  
 $u^*_{rel} = 115$   
%Regularität  
 $g^*_{H,rel} = 28$   
 $g^*_{C,rel} = 38$

FRS06a; adaptierte CIELAB-Daten	$L^*=L^*_a$	$a^*_a$	$b^*_a$	$C^*_{ab,a}$	$h^*_{ab,a}$
O <sub>Ma</sub>	32.57	62.32	46.49	77.75	37
Y <sub>Ma</sub>	82.73	-3.16	113.99	114.03	92
L <sub>Ma</sub>	39.43	-61.79	45.84	76.95	143
C <sub>Ma</sub>	47.86	-26.79	-34.24	43.49	232
V <sub>Ma</sub>	10.16	55.12	-61.03	82.24	312
M <sub>Ma</sub>	34.5	80.68	-33.92	87.52	337
N <sub>Ma</sub>	6.25	0.0	0.0	0.0	0
W <sub>Ma</sub>	91.97	0.0	0.0	0.0	0
R <sub>CIE</sub>	39.92	59.8	31.05	67.38	27
J <sub>CIE</sub>	81.26	-2.52	76.25	76.29	92
G <sub>CIE</sub>	52.23	-41.56	17.14	44.96	158
B <sub>CIE</sub>	30.57	2.63	-43.77	43.86	273



%Umfang  
 $u^*_{rel} = 114$   
%Regularität  
 $g^*_{H,rel} = 28$   
 $g^*_{C,rel} = 43$

FRS06	$L^*=L^*_a$	$a^*_a$	$b^*_a$	$C^*_{ab,a}$	$h^*_{ab,a}$
O <sub>M</sub>	32.57	61.14	43.72	75.16	36
Y <sub>M</sub>	82.73	-3.5	109.24	109.3	92
L <sub>M</sub>	39.43	-62.86	42.8	76.06	146
C <sub>M</sub>	47.86	-27.72	-37.61	46.74	234
V <sub>M</sub>	10.16	53.56	-62.91	82.63	310
M <sub>M</sub>	34.5	79.53	-36.76	87.62	335
N <sub>M</sub>	6.25	-1.62	-1.72	2.38	227
W <sub>M</sub>	91.97	-0.17	-5.1	5.11	268
R <sub>CIE</sub>	39.92	58.74	27.99	65.07	25
J <sub>CIE</sub>	81.26	-2.88	71.56	71.62	92
G <sub>CIE</sub>	52.23	-42.41	13.6	44.55	162
B <sub>CIE</sub>	30.57	1.41	-46.46	46.49	272

Relatives CIELAB-Buntheitsdiagramm: ( $a^*_r = lab^*a$ ,  $b^*_r = lab^*b$ ) und absolutes CIELAB Bunttondreiecks-Diagramm: ( $L^*$ ,  $C^*_{ab}$ ) für Ein- (---) und Ausgabe (----)  
TLS18: Eingabe (i) Farbmatrik-Sytem; Sechs Bunttonwinkel des Farbgerätes: (34.9, 103.3, 136.9, 196.5, 304.3, 328.1); Vier Bunttonwinkel der Elementarfarben: (25.5, 92.3, 162.2, 271.7)  
FRS06: Ausgabe (o) Farbmatrik-Sytem; Sechs Bunttonwinkel des Farbgerätes: (36.7, 91.6, 143.4, 232.0, 312.1, 337.2); Vier Bunttonwinkel der Elementarfarben: (27.4, 91.9, 157.6, 273.4)

#### Y Gelb

$olv3Mi = 1.0 \ 1.0 \ 0.0$   
 $olv3Mo = 0.775 \ 1.0 \ 0.0$   
 $LCHMi = 92.7 \ 87.3 \ 103$   
 $LCHo = 73.0 \ 105.7 \ 103$   
 $tchMi = 0.5 \ 1.0 \ 0.287$   
 $tchMo = 0.5 \ 1.0 \ 0.287$

#### L Laubgrün

$olv3Mi = 0.0 \ 1.0 \ 0.0$   
 $olv3Mo = 0.126 \ 1.0 \ 0.0$   
 $LCHMi = 84.0 \ 108.2 \ 137$   
 $LCHo = 44.9 \ 81.6 \ 137$   
 $tchMi = 0.5 \ 1.0 \ 0.38$   
 $tchMo = 0.5 \ 1.0 \ 0.38$

#### C Cyanblau

$olv3Mi = 0.0 \ 1.0 \ 1.0$   
 $olv3Mo = 0.0 \ 1.0 \ 0.599$   
 $LCHMi = 87.1 \ 46.3 \ 196$   
 $LCHo = 44.5 \ 56.9 \ 196$   
 $tchMi = 0.5 \ 1.0 \ 0.546$   
 $tchMo = 0.5 \ 1.0 \ 0.546$

#### O Orangerot

$olv3Mi = 1.0 \ 0.0 \ 0.0$   
 $olv3Mo = 1.0 \ 0.0 \ 0.031$   
 $LCHMi = 52.8 \ 87.3 \ 35$   
 $LCHo = 32.6 \ 78.1 \ 35$   
 $tchMi = 0.5 \ 1.0 \ 0.097$   
 $tchMo = 0.5 \ 1.0 \ 0.097$

#### M Magentarot

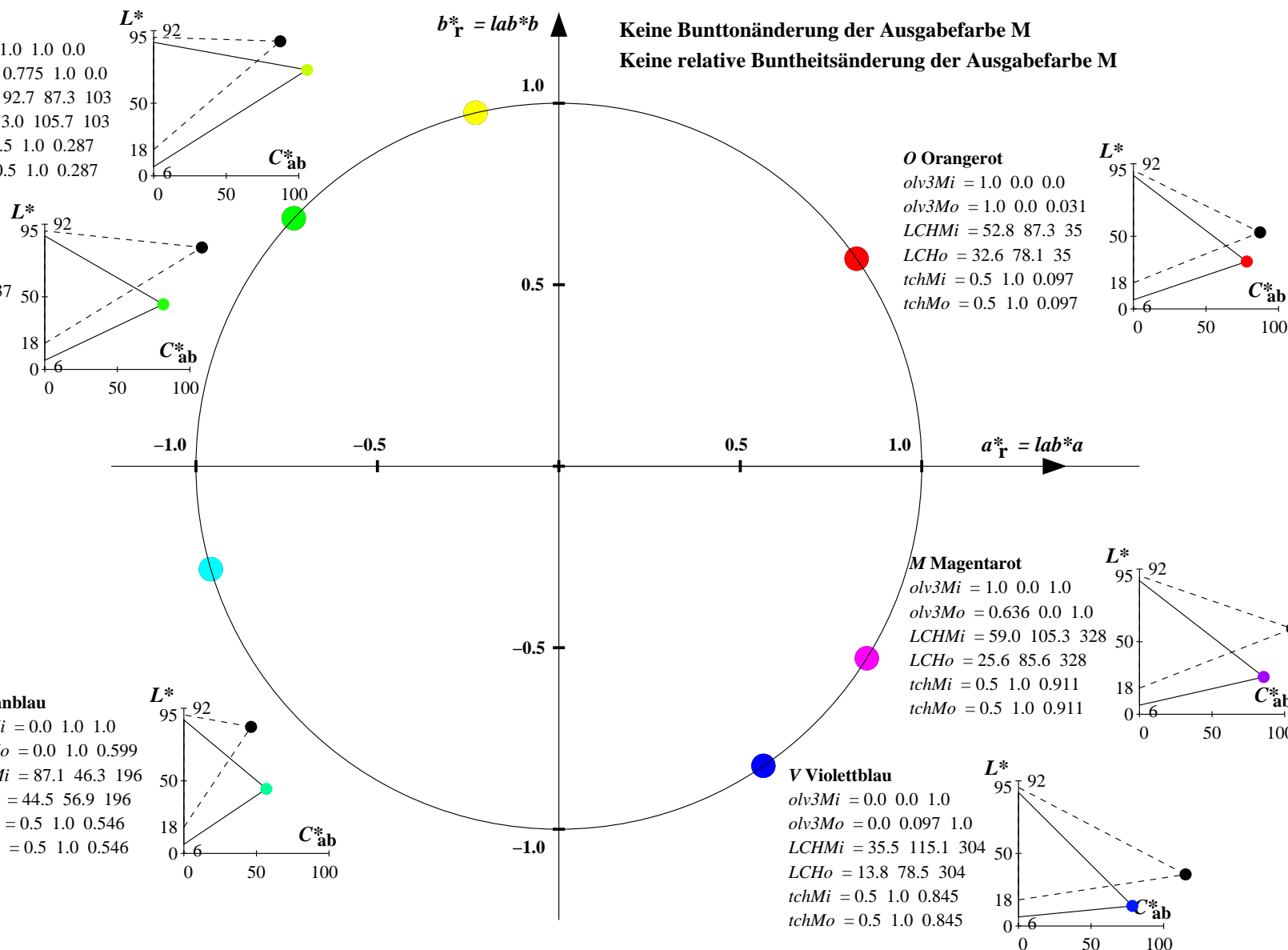
$olv3Mi = 1.0 \ 0.0 \ 1.0$   
 $olv3Mo = 0.636 \ 0.0 \ 1.0$   
 $LCHMi = 59.0 \ 105.3 \ 328$   
 $LCHo = 25.6 \ 85.6 \ 328$   
 $tchMi = 0.5 \ 1.0 \ 0.911$   
 $tchMo = 0.5 \ 1.0 \ 0.911$

#### V Violettblau

$olv3Mi = 0.0 \ 0.0 \ 1.0$   
 $olv3Mo = 0.0 \ 0.097 \ 1.0$   
 $LCHMi = 35.5 \ 115.1 \ 304$   
 $LCHo = 13.8 \ 78.5 \ 304$   
 $tchMi = 0.5 \ 1.0 \ 0.845$   
 $tchMo = 0.5 \ 1.0 \ 0.845$

Keine Bunttonänderung der Ausgabefarbe M

Keine relative Buntheitsänderung der Ausgabefarbe M



Relatives CIELAB-Buntheitsdiagramm: ( $a_R^* = lab^*a$ ,  $b_R^* = lab^*b$ ) und absolutes CIELAB Bunttondreiecks-Diagramm: ( $L^*$ ,  $C_{ab}^*$ ) für Ein- (---) und Ausgabe (----)  
TLS18: Eingabe (i) Farbmatrik-Sytem; Sechs Bunttonwinkel des Farbgerätes: (34.9, 103.3, 136.9, 196.5, 304.3, 328.1); Vier Bunttonwinkel der Elementarfarben: (25.5, 92.3, 162.2, 271.7)  
FRS06: Ausgabe (o) Farbmatrik-Sytem; Sechs Bunttonwinkel des Farbgerätes: (36.7, 91.6, 143.4, 232.0, 312.1, 337.2); Vier Bunttonwinkel der Elementarfarben: (27.4, 91.9, 157.6, 273.4)

#### Y Gelb

olv3Mi = 1.0 1.0 0.0  
olv3Mo = 0.582 1.0 0.0  
LCHMi = 92.7 87.3 103  
LCHo = 64.6 98.5 113  
tchMi = 0.5 1.0 0.287  
tchMo = 0.5 1.0 0.315

#### L Laubgrün

olv3Mi = 0.0 1.0 0.0  
olv3Mo = 0.0 1.0 0.039  
LCHMi = 84.0 108.2 137  
LCHo = 39.8 75.6 147  
tchMi = 0.5 1.0 0.38  
tchMo = 0.5 1.0 0.408

#### C Cyanblau

olv3Mi = 0.0 1.0 1.0  
olv3Mo = 0.0 1.0 0.712  
LCHMi = 87.1 46.3 196  
LCHo = 45.4 53.1 206  
tchMi = 0.5 1.0 0.546  
tchMo = 0.5 1.0 0.574

#### O Orangerot

olv3Mi = 1.0 0.0 0.0  
olv3Mo = 1.0 0.148 0.0  
LCHMi = 52.8 87.3 35  
LCHo = 40.0 83.1 45  
tchMi = 0.5 1.0 0.097  
tchMo = 0.5 1.0 0.125

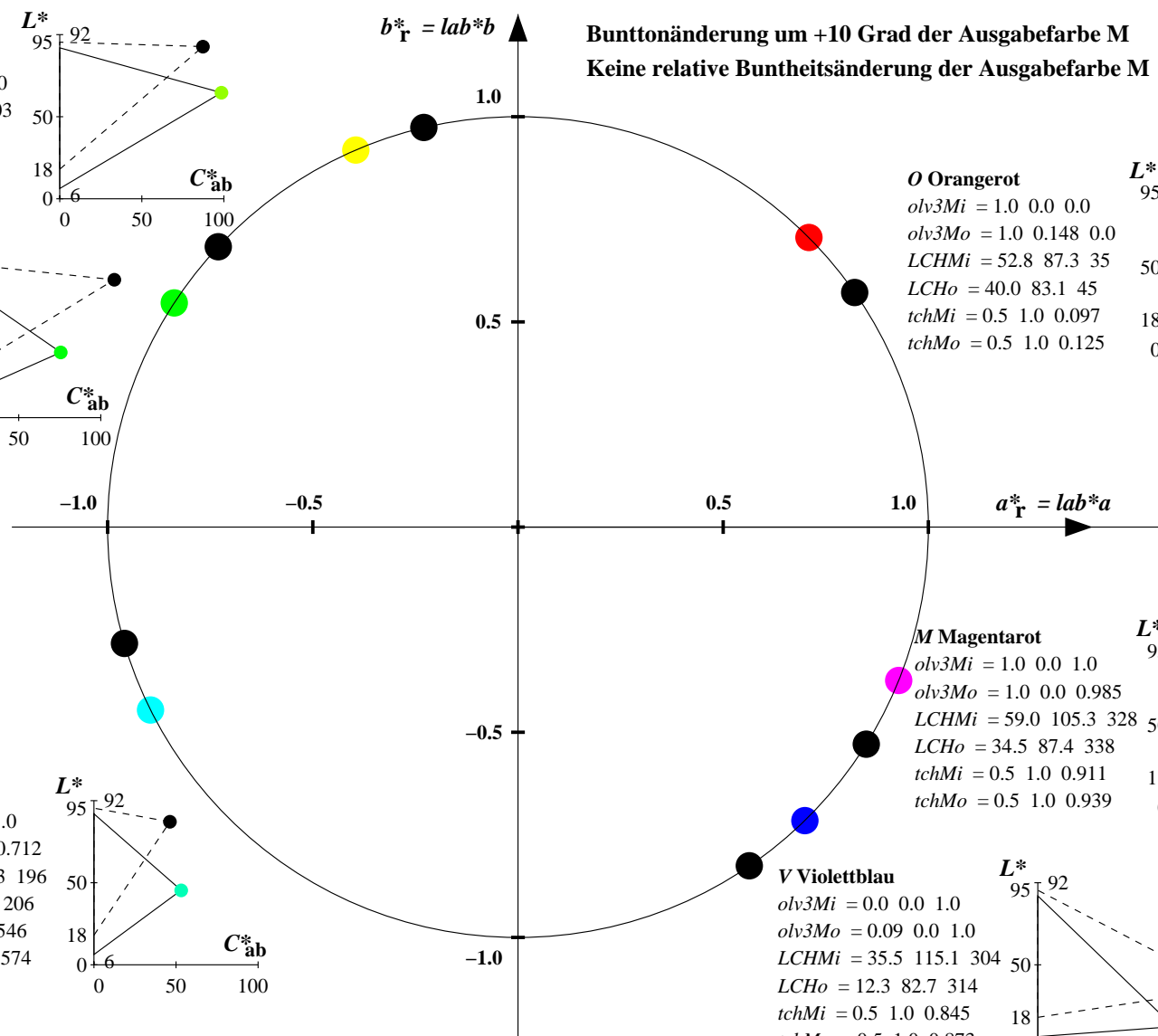
#### M Magentarot

olv3Mi = 1.0 0.0 1.0  
olv3Mo = 1.0 0.0 0.985  
LCHMi = 59.0 105.3 328  
LCHo = 34.5 87.4 338  
tchMi = 0.5 1.0 0.911  
tchMo = 0.5 1.0 0.939

#### V Violettblau

olv3Mi = 0.0 0.0 1.0  
olv3Mo = 0.09 0.0 1.0  
LCHMi = 35.5 115.1 304  
LCHo = 12.3 82.7 314  
tchMi = 0.5 1.0 0.845  
tchMo = 0.5 1.0 0.873

Bunttonänderung um +10 Grad der Ausgabefarbe M  
Keine relative Buntheitsänderung der Ausgabefarbe M



Relatives CIELAB-Buntheitsdiagramm: ( $a_R^* = lab^*a$ ,  $b_R^* = lab^*b$ ) und absolutes CIELAB Bunttondreiecks-Diagramm: ( $L^*$ ,  $C_{ab}^*$ ) für Ein- (---) und Ausgabe (----) TLS18: Eingabe (i) Farbmatrik-Sytem; Sechs Bunttonwinkel des Farbgerätes: (34.9, 103.3, 136.9, 196.5, 304.3, 328.1); Vier Bunttonwinkel der Elementarfarben: (25.5, 92.3, 162.2, 271.7) FRS06: Ausgabe (o) Farbmatrik-Sytem; Sechs Bunttonwinkel des Farbgerätes: (36.7, 91.6, 143.4, 232.0, 312.1, 337.2); Vier Bunttonwinkel der Elementarfarben: (27.4, 91.9, 157.6, 273.4)

#### Y Gelb

olv3Mi = 1.0 1.0 0.0  
olv3Mo = 0.637 0.75 0.25  
LCHMi = 92.7 87.3 103  
LCHo = 59.5 52.8 103  
tchMi = 0.5 1.0 0.287  
tchMo = 0.5 0.5 0.287

#### L Laubgrün

olv3Mi = 0.0 1.0 0.0  
olv3Mo = 0.313 0.75 0.25  
LCHMi = 84.0 108.2 137  
LCHo = 45.4 40.8 137  
tchMi = 0.5 1.0 0.38  
tchMo = 0.5 0.5 0.38

#### C Cyanblau

olv3Mi = 0.0 1.0 1.0  
olv3Mo = 0.25 0.75 0.549  
LCHMi = 87.1 46.3 196  
LCHo = 45.2 28.5 196  
tchMi = 0.5 1.0 0.546  
tchMo = 0.5 0.5 0.546

#### O Orangerot

olv3Mi = 1.0 0.0 0.0  
olv3Mo = 0.75 0.25 0.266  
LCHMi = 52.8 87.3 35  
LCHo = 39.3 39.0 35  
tchMi = 0.5 1.0 0.097  
tchMo = 0.5 0.5 0.097

#### M Magentarot

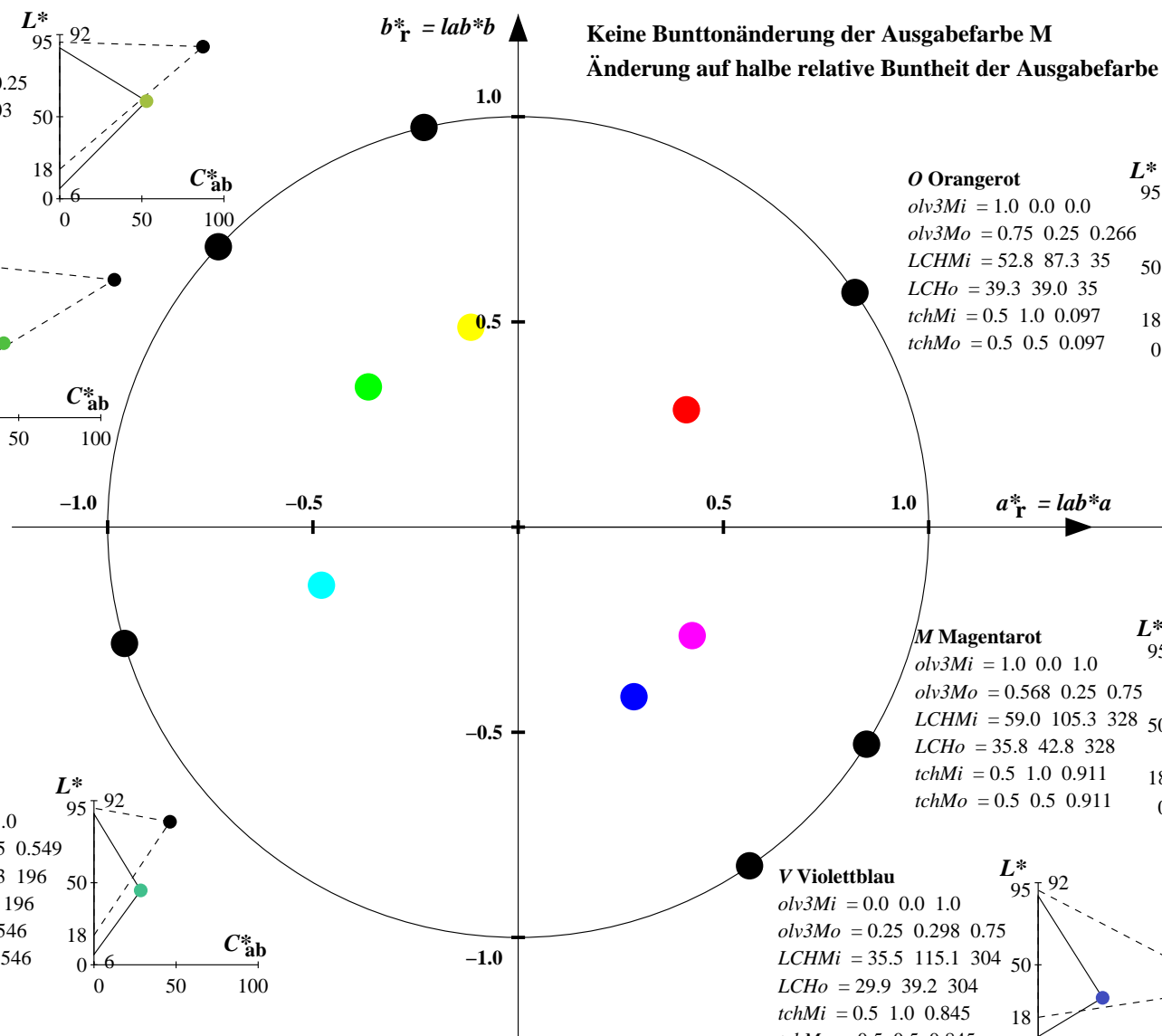
olv3Mi = 1.0 0.0 1.0  
olv3Mo = 0.568 0.25 0.75  
LCHMi = 59.0 105.3 328  
LCHo = 35.8 42.8 328  
tchMi = 0.5 1.0 0.911  
tchMo = 0.5 0.5 0.911

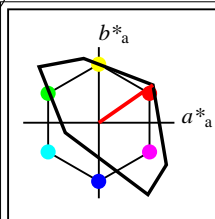
#### V Violettblau

olv3Mi = 0.0 0.0 1.0  
olv3Mo = 0.25 0.298 0.75  
LCHMi = 35.5 115.1 304  
LCHo = 29.9 39.2 304  
tchMi = 0.5 1.0 0.845  
tchMo = 0.5 0.5 0.845

Keine Bunttonänderung der Ausgabefarbe M

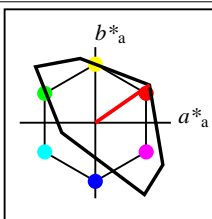
Änderung auf halbe relative Buntheit der Ausgabefarbe M





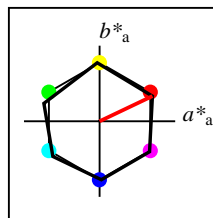
%Umfang  
 $u^*_{rel} = 118$   
%Regularität  
 $g^*_{H,rel} = 22$   
 $g^*_{C,rel} = 40$

TLS18	$L^*=L^*_a$	$a^*_a$	$b^*_a$	$C^*_{ab,a}$	$h^*_{ab,a}$
O <sub>M</sub>	52.76	71.63	49.88	87.29	35
Y <sub>M</sub>	92.74	-20.02	84.97	87.3	103
L <sub>M</sub>	84.0	-78.98	73.94	108.2	137
C <sub>M</sub>	87.14	-44.41	-13.11	46.32	196
V <sub>M</sub>	35.47	64.92	-95.06	115.12	304
M <sub>M</sub>	59.01	89.33	-55.67	105.26	328
N <sub>M</sub>	18.01	0.0	0.0	0.0	0
W <sub>M</sub>	95.41	0.0	0.0	0.0	0
R <sub>CIE</sub>	39.92	58.74	27.99	65.07	25
J <sub>CIE</sub>	81.26	-2.88	71.56	71.62	92
G <sub>CIE</sub>	52.23	-42.41	13.6	44.55	162
B <sub>CIE</sub>	30.57	1.41	-46.46	46.49	272



%Umfang  
 $u^*_{rel} = 118$   
%Regularität  
 $g^*_{H,rel} = 22$   
 $g^*_{C,rel} = 40$

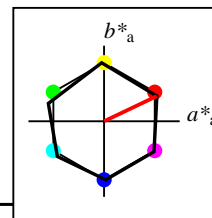
TLS18a; adaptierte CIELAB-Daten	$L^*=L^*_a$	$a^*_a$	$b^*_a$	$C^*_{ab,a}$	$h^*_{ab,a}$
O <sub>Ma</sub>	52.76	71.63	49.88	87.29	35
Y <sub>Ma</sub>	92.74	-20.02	84.97	87.3	103
L <sub>Ma</sub>	84.0	-78.98	73.94	108.2	137
C <sub>Ma</sub>	87.14	-44.41	-13.11	46.32	196
V <sub>Ma</sub>	35.47	64.92	-95.06	115.12	304
M <sub>Ma</sub>	59.01	89.33	-55.67	105.26	328
N <sub>Ma</sub>	18.01	0.0	0.0	0.0	0
W <sub>Ma</sub>	95.41	0.0	0.0	0.0	0
R <sub>CIE</sub>	39.92	58.74	27.99	65.07	25
J <sub>CIE</sub>	81.26	-2.88	71.56	71.62	92
G <sub>CIE</sub>	52.23	-42.41	13.6	44.55	162
B <sub>CIE</sub>	30.57	1.41	-46.46	46.49	272



%Umfang  
 $u^*_{rel} = 100$   
%Regularität  
 $g^*_{H,rel} = 78$   
 $g^*_{C,rel} = 100$

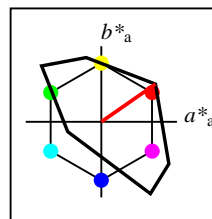
NRS18a; adaptierte CIELAB-Daten	$L^*=L^*_a$	$a^*_a$	$b^*_a$	$C^*_{ab,a}$	$h^*_{ab,a}$
O <sub>Ma</sub>	56.71	69.87	33.29	77.4	25
Y <sub>Ma</sub>	56.71	-3.1	77.34	77.4	92
L <sub>Ma</sub>	56.71	-73.68	23.63	77.39	162
C <sub>Ma</sub>	56.71	-61.81	-46.54	77.39	217
V <sub>Ma</sub>	56.71	2.35	-77.34	77.39	272
M <sub>Ma</sub>	56.71	66.07	-40.3	77.4	329
N <sub>Ma</sub>	18.01	0.0	0.0	0.0	0
W <sub>Ma</sub>	95.41	0.0	0.0	0.0	0
R <sub>CIE</sub>	39.92	58.74	27.99	65.07	25
J <sub>CIE</sub>	81.26	-2.88	71.56	71.62	92
G <sub>CIE</sub>	52.23	-42.41	13.6	44.55	162
B <sub>CIE</sub>	30.57	1.41	-46.46	46.49	272

Workflow-Wahlen  
für Farbmuster:  
1. keine Farbänderung  
2. Buntton-Änderung  
3. Buntheits-Änderung



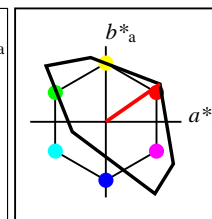
%Umfang  
 $u^*_{rel} = 100$   
%Regularität  
 $g^*_{H,rel} = 78$   
 $g^*_{C,rel} = 100$

NRS18a; adaptierte CIELAB-Daten	$L^*=L^*_a$	$a^*_a$	$b^*_a$	$C^*_{ab,a}$	$h^*_{ab,a}$
O <sub>Ma</sub>	56.71	69.87	33.29	77.4	25
Y <sub>Ma</sub>	56.71	-3.1	77.34	77.4	92
L <sub>Ma</sub>	56.71	-73.68	23.63	77.39	162
C <sub>Ma</sub>	56.71	-61.81	-46.54	77.39	217
V <sub>Ma</sub>	56.71	2.35	-77.34	77.39	272
M <sub>Ma</sub>	56.71	66.07	-40.3	77.4	329
N <sub>Ma</sub>	18.01	0.0	0.0	0.0	0
W <sub>Ma</sub>	95.41	0.0	0.0	0.0	0
R <sub>CIE</sub>	39.92	58.74	27.99	65.07	25
J <sub>CIE</sub>	81.26	-2.88	71.56	71.62	92
G <sub>CIE</sub>	52.23	-42.41	13.6	44.55	162
B <sub>CIE</sub>	30.57	1.41	-46.46	46.49	272



%Umfang  
 $u^*_{rel} = 118$   
%Regularität  
 $g^*_{H,rel} = 22$   
 $g^*_{C,rel} = 40$

TLS18a; adaptierte CIELAB-Daten	$L^*=L^*_a$	$a^*_a$	$b^*_a$	$C^*_{ab,a}$	$h^*_{ab,a}$
O <sub>Ma</sub>	52.76	71.63	49.88	87.29	35
Y <sub>Ma</sub>	92.74	-20.02	84.97	87.3	103
L <sub>Ma</sub>	84.0	-78.98	73.94	108.2	137
C <sub>Ma</sub>	87.14	-44.41	-13.11	46.32	196
V <sub>Ma</sub>	35.47	64.92	-95.06	115.12	304
M <sub>Ma</sub>	59.01	89.33	-55.67	105.26	328
N <sub>Ma</sub>	18.01	0.0	0.0	0.0	0
W <sub>Ma</sub>	95.41	0.0	0.0	0.0	0
R <sub>CIE</sub>	39.92	58.74	27.99	65.07	25
J <sub>CIE</sub>	81.26	-2.88	71.56	71.62	92
G <sub>CIE</sub>	52.23	-42.41	13.6	44.55	162
B <sub>CIE</sub>	30.57	1.41	-46.46	46.49	272



%Umfang  
 $u^*_{rel} = 118$   
%Regularität  
 $g^*_{H,rel} = 22$   
 $g^*_{C,rel} = 40$

TLS18	$L^*=L^*_a$	$a^*_a$	$b^*_a$	$C^*_{ab,a}$	$h^*_{ab,a}$
O <sub>M</sub>	52.76	71.63	49.88	87.29	35
Y <sub>M</sub>	92.74	-20.02	84.97	87.3	103
L <sub>M</sub>	84.0	-78.98	73.94	108.2	137
C <sub>M</sub>	87.14	-44.41	-13.11	46.32	196
V <sub>M</sub>	35.47	64.92	-95.06	115.12	304
M <sub>M</sub>	59.01	89.33	-55.67	105.26	328
N <sub>M</sub>	18.01	0.0	0.0	0.0	0
W <sub>M</sub>	95.41	0.0	0.0	0.0	0
R <sub>CIE</sub>	39.92	58.74	27.99	65.07	25
J <sub>CIE</sub>	81.26	-2.88	71.56	71.62	92
G <sub>CIE</sub>	52.23	-42.41	13.6	44.55	162
B <sub>CIE</sub>	30.57	1.41	-46.46	46.49	272



Relatives CIELAB-Buntheitsdiagramm: ( $a_R^* = lab^*a$ ,  $b_R^* = lab^*b$ ) und absolutes CIELAB Bunttondreiecks-Diagramm: ( $L^*$ ,  $C_{ab}^*$ ) für Ein- (---) und Ausgabe (----)  
TLS18: Eingabe (i) Farbmatrik-Sytem; Sechs Bunttonwinkel des Farbgerätes: (34.9, 103.3, 136.9, 196.5, 304.3, 328.1); Vier Bunttonwinkel der Elementarfarben: (25.5, 92.3, 162.2, 271.7)  
TLS18: Ausgabe (o) Farbmatrik-Sytem; Sechs Bunttonwinkel des Farbgerätes: (34.9, 103.3, 136.9, 196.5, 304.3, 328.1); Vier Bunttonwinkel der Elementarfarben: (25.5, 92.3, 162.2, 271.7)

#### Y Gelb

$olv3Mi = 1.0 \ 1.0 \ 0.0$   
 $olv3Mo = 1.0 \ 1.0 \ 0.0$   
 $LCHMi = 92.7 \ 87.3 \ 103$   
 $LCHo = 92.7 \ 87.3 \ 103$   
 $tchMi = 0.5 \ 1.0 \ 0.287$   
 $tchMo = 0.5 \ 1.0 \ 0.287$

#### L Laubgrün

$olv3Mi = 0.0 \ 1.0 \ 0.0$   
 $olv3Mo = 0.0 \ 1.0 \ 0.0$   
 $LCHMi = 84.0 \ 108.2 \ 137$   
 $LCHo = 84.0 \ 108.2 \ 137$   
 $tchMi = 0.5 \ 1.0 \ 0.38$   
 $tchMo = 0.5 \ 1.0 \ 0.38$

#### C Cyanblau

$olv3Mi = 0.0 \ 1.0 \ 1.0$   
 $olv3Mo = 0.0 \ 1.0 \ 1.0$   
 $LCHMi = 87.1 \ 46.3 \ 196$   
 $LCHo = 87.1 \ 46.3 \ 196$   
 $tchMi = 0.5 \ 1.0 \ 0.546$   
 $tchMo = 0.5 \ 1.0 \ 0.546$

#### V Violettblau

$olv3Mi = 0.0 \ 0.0 \ 1.0$   
 $olv3Mo = 0.0 \ 0.0 \ 1.0$   
 $LCHMi = 35.5 \ 115.1 \ 304$   
 $LCHo = 35.5 \ 115.1 \ 304$   
 $tchMi = 0.5 \ 1.0 \ 0.845$   
 $tchMo = 0.5 \ 1.0 \ 0.845$

#### M Magentarot

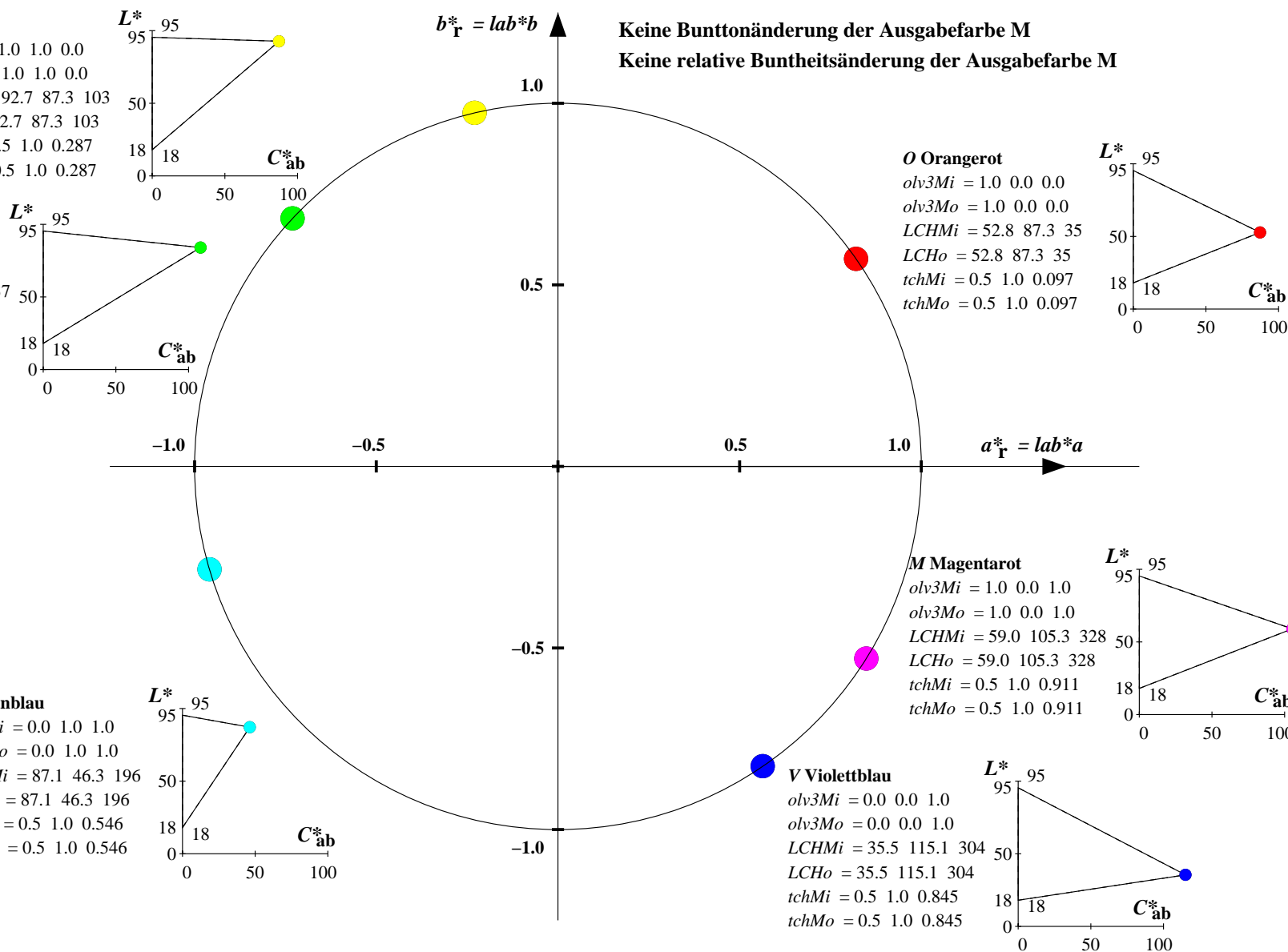
$olv3Mi = 1.0 \ 0.0 \ 1.0$   
 $olv3Mo = 1.0 \ 0.0 \ 1.0$   
 $LCHMi = 59.0 \ 105.3 \ 328$   
 $LCHo = 59.0 \ 105.3 \ 328$   
 $tchMi = 0.5 \ 1.0 \ 0.911$   
 $tchMo = 0.5 \ 1.0 \ 0.911$

#### O Orangerot

$olv3Mi = 1.0 \ 0.0 \ 0.0$   
 $olv3Mo = 1.0 \ 0.0 \ 0.0$   
 $LCHMi = 52.8 \ 87.3 \ 35$   
 $LCHo = 52.8 \ 87.3 \ 35$   
 $tchMi = 0.5 \ 1.0 \ 0.097$   
 $tchMo = 0.5 \ 1.0 \ 0.097$

Keine Bunttonänderung der Ausgabefarbe M

Keine relative Buntheitsänderung der Ausgabefarbe M



Relatives CIELAB-Buntheitsdiagramm: ( $a_R^* = lab^*a$ ,  $b_R^* = lab^*b$ ) und absolutes CIELAB Bunttondreiecks-Diagramm: ( $L^*$ ,  $C_{ab}^*$ ) für Ein- (---) und Ausgabe (----)  
TLS18: Eingabe (i) Farbmatrik-Sytem; Sechs Bunttonwinkel des Farbgerätes: (34.9, 103.3, 136.9, 196.5, 304.3, 328.1); Vier Bunttonwinkel der Elementarfarben: (25.5, 92.3, 162.2, 271.7)  
TLS18: Ausgabe (o) Farbmatrik-Sytem; Sechs Bunttonwinkel des Farbgerätes: (34.9, 103.3, 136.9, 196.5, 304.3, 328.1); Vier Bunttonwinkel der Elementarfarben: (25.5, 92.3, 162.2, 271.7)

#### Y Gelb

olv3Mi = 1.0 1.0 0.0  
olv3Mo = 0.702 1.0 0.0  
LCHMi = 92.7 87.3 103  
LCHo = 90.1 93.5 113  
tchMi = 0.5 1.0 0.287  
tchMo = 0.5 1.0 0.315

#### L Laubgrün

olv3Mi = 0.0 1.0 0.0  
olv3Mo = 0.0 1.0 0.168  
LCHMi = 84.0 108.2 137  
LCHo = 84.5 97.8 147  
tchMi = 0.5 1.0 0.38  
tchMo = 0.5 1.0 0.408

#### C Cyanblau

olv3Mi = 0.0 1.0 1.0  
olv3Mo = 0.0 0.907 1.0  
LCHMi = 87.1 46.3 196  
LCHo = 82.3 52.7 206  
tchMi = 0.5 1.0 0.546  
tchMo = 0.5 1.0 0.574

#### O Orangerot

olv3Mi = 1.0 0.0 0.0  
olv3Mo = 1.0 0.146 0.0  
LCHMi = 52.8 87.3 35  
LCHo = 58.6 87.3 45  
tchMi = 0.5 1.0 0.097  
tchMo = 0.5 1.0 0.125

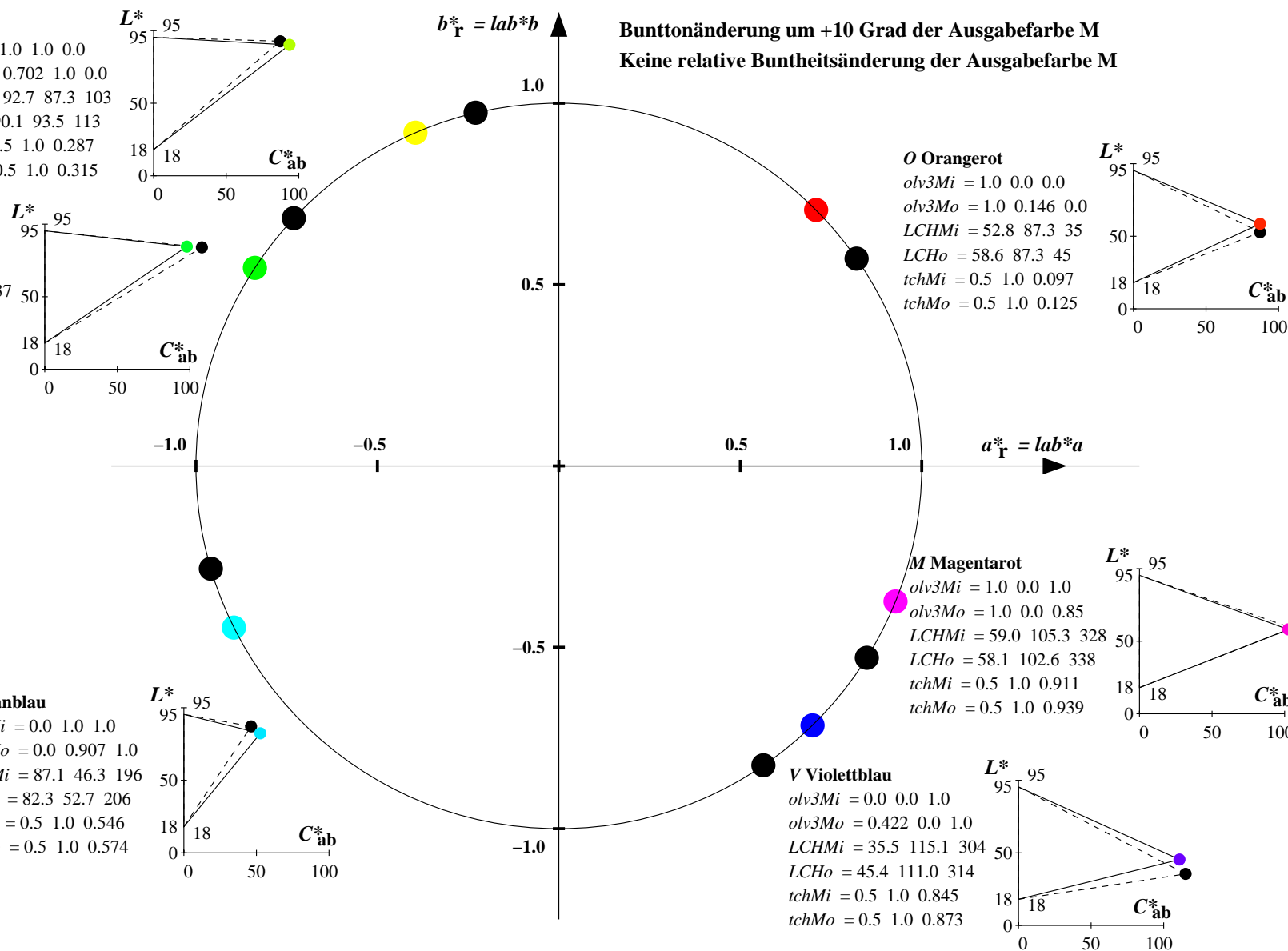
#### M Magentarot

olv3Mi = 1.0 0.0 1.0  
olv3Mo = 1.0 0.0 0.85  
LCHMi = 59.0 105.3 328  
LCHo = 58.1 102.6 338  
tchMi = 0.5 1.0 0.911  
tchMo = 0.5 1.0 0.939

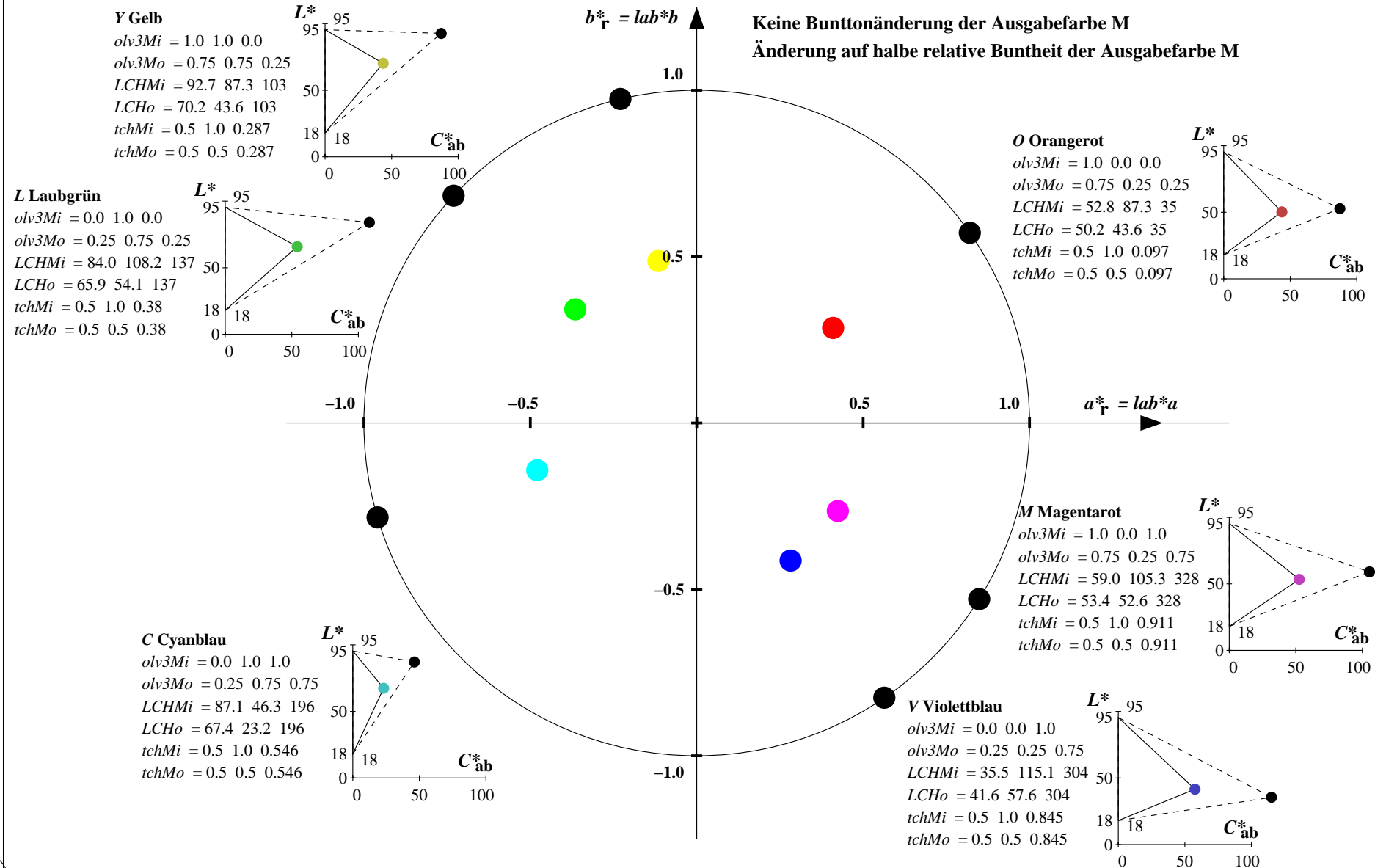
#### V Violettblau

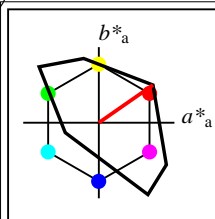
olv3Mi = 0.0 0.0 1.0  
olv3Mo = 0.422 0.0 1.0  
LCHMi = 35.5 115.1 304  
LCHo = 45.4 111.0 314  
tchMi = 0.5 1.0 0.845  
tchMo = 0.5 1.0 0.873

Bunttonänderung um +10 Grad der Ausgabefarbe M  
Keine relative Buntheitsänderung der Ausgabefarbe M



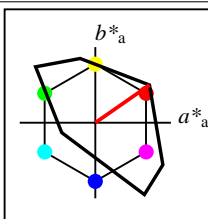
Relatives CIELAB-Buntheitsdiagramm: ( $a_R^* = lab^*a$ ,  $b_R^* = lab^*b$ ) und absolutes CIELAB Bunttondreiecks-Diagramm: ( $L^*$ ,  $C_{ab}^*$ ) für Ein- (---) und Ausgabe (----) TLS18: Eingabe (i) Farbmatrik-Sytem; Sechs Bunttonwinkel des Farbgerätes: (34.9, 103.3, 136.9, 196.5, 304.3, 328.1); Vier Bunttonwinkel der Elementarfarben: (25.5, 92.3, 162.2, 271.7)  
TLS18: Ausgabe (o) Farbmatrik-Sytem; Sechs Bunttonwinkel des Farbgerätes: (34.9, 103.3, 136.9, 196.5, 304.3, 328.1); Vier Bunttonwinkel der Elementarfarben: (25.5, 92.3, 162.2, 271.7)





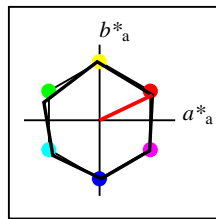
%Umfang  
 $u^*_{rel} = 118$   
%Regularität  
 $g^*_{H,rel} = 22$   
 $g^*_{C,rel} = 40$

TLS18	$L^*=L^*_a$	$a^*_a$	$b^*_a$	$C^*_{ab,a}$	$h^*_{ab,a}$
O <sub>M</sub>	52.76	71.63	49.88	87.29	35
Y <sub>M</sub>	92.74	-20.02	84.97	87.3	103
L <sub>M</sub>	84.0	-78.98	73.94	108.2	137
C <sub>M</sub>	87.14	-44.41	-13.11	46.32	196
V <sub>M</sub>	35.47	64.92	-95.06	115.12	304
M <sub>M</sub>	59.01	89.33	-55.67	105.26	328
N <sub>M</sub>	18.01	0.0	0.0	0.0	0
W <sub>M</sub>	95.41	0.0	0.0	0.0	0
R <sub>CIE</sub>	39.92	58.74	27.99	65.07	25
J <sub>CIE</sub>	81.26	-2.88	71.56	71.62	92
G <sub>CIE</sub>	52.23	-42.41	13.6	44.55	162
B <sub>CIE</sub>	30.57	1.41	-46.46	46.49	272



%Umfang  
 $u^*_{rel} = 118$   
%Regularität  
 $g^*_{H,rel} = 22$   
 $g^*_{C,rel} = 40$

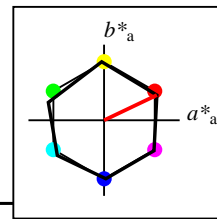
TLS18a; adaptierte CIELAB-Daten	$L^*=L^*_a$	$a^*_a$	$b^*_a$	$C^*_{ab,a}$	$h^*_{ab,a}$
O <sub>Ma</sub>	52.76	71.63	49.88	87.29	35
Y <sub>Ma</sub>	92.74	-20.02	84.97	87.3	103
L <sub>Ma</sub>	84.0	-78.98	73.94	108.2	137
C <sub>Ma</sub>	87.14	-44.41	-13.11	46.32	196
V <sub>Ma</sub>	35.47	64.92	-95.06	115.12	304
M <sub>Ma</sub>	59.01	89.33	-55.67	105.26	328
N <sub>Ma</sub>	18.01	0.0	0.0	0.0	0
W <sub>Ma</sub>	95.41	0.0	0.0	0.0	0
R <sub>CIE</sub>	39.92	58.74	27.99	65.07	25
J <sub>CIE</sub>	81.26	-2.88	71.56	71.62	92
G <sub>CIE</sub>	52.23	-42.41	13.6	44.55	162
B <sub>CIE</sub>	30.57	1.41	-46.46	46.49	272



%Umfang  
 $u^*_{rel} = 100$   
%Regularität  
 $g^*_{H,rel} = 78$   
 $g^*_{C,rel} = 100$

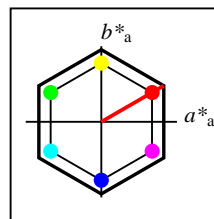
NRS18a; adaptierte CIELAB-Daten	$L^*=L^*_a$	$a^*_a$	$b^*_a$	$C^*_{ab,a}$	$h^*_{ab,a}$
O <sub>Ma</sub>	56.71	69.87	33.29	77.4	25
Y <sub>Ma</sub>	56.71	-3.1	77.34	77.4	92
L <sub>Ma</sub>	56.71	-73.68	23.63	77.39	162
C <sub>Ma</sub>	56.71	-61.81	-46.54	77.39	217
V <sub>Ma</sub>	56.71	2.35	-77.34	77.39	272
M <sub>Ma</sub>	56.71	66.07	-40.3	77.4	329
N <sub>Ma</sub>	18.01	0.0	0.0	0.0	0
W <sub>Ma</sub>	95.41	0.0	0.0	0.0	0
R <sub>CIE</sub>	39.92	58.74	27.99	65.07	25
J <sub>CIE</sub>	81.26	-2.88	71.56	71.62	92
G <sub>CIE</sub>	52.23	-42.41	13.6	44.55	162
B <sub>CIE</sub>	30.57	1.41	-46.46	46.49	272

Workflow-Wahlen  
für Farbmuster:  
1. keine Farbänderung  
2. Buntton-Änderung  
3. Buntheits-Änderung



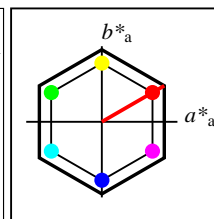
%Umfang  
 $u^*_{rel} = 100$   
%Regularität  
 $g^*_{H,rel} = 78$   
 $g^*_{C,rel} = 100$

NRS18a; adaptierte CIELAB-Daten	$L^*=L^*_a$	$a^*_a$	$b^*_a$	$C^*_{ab,a}$	$h^*_{ab,a}$
O <sub>Ma</sub>	56.71	69.87	33.29	77.4	25
Y <sub>Ma</sub>	56.71	-3.1	77.34	77.4	92
L <sub>Ma</sub>	56.71	-73.68	23.63	77.39	162
C <sub>Ma</sub>	56.71	-61.81	-46.54	77.39	217
V <sub>Ma</sub>	56.71	2.35	-77.34	77.39	272
M <sub>Ma</sub>	56.71	66.07	-40.3	77.4	329
N <sub>Ma</sub>	18.01	0.0	0.0	0.0	0
W <sub>Ma</sub>	95.41	0.0	0.0	0.0	0
R <sub>CIE</sub>	39.92	58.74	27.99	65.07	25
J <sub>CIE</sub>	81.26	-2.88	71.56	71.62	92
G <sub>CIE</sub>	52.23	-42.41	13.6	44.55	162
B <sub>CIE</sub>	30.57	1.41	-46.46	46.49	272



%Umfang  
 $u^*_{rel} = 152$   
%Regularität  
 $g^*_{H,rel} = 100$   
 $g^*_{C,rel} = 100$

NLS00a; adaptierte CIELAB-Daten	$L^*=L^*_a$	$a^*_a$	$b^*_a$	$C^*_{ab,a}$	$h^*_{ab,a}$
O <sub>Ma</sub>	31.81	82.62	47.7	95.4	30
Y <sub>Ma</sub>	63.61	0.0	95.4	95.4	90
L <sub>Ma</sub>	31.81	-82.61	47.7	95.4	150
C <sub>Ma</sub>	63.61	-82.61	-47.69	95.4	210
V <sub>Ma</sub>	31.81	0.0	-95.39	95.4	270
M <sub>Ma</sub>	63.61	82.62	-47.69	95.4	330
N <sub>Ma</sub>	0.01	0.0	0.0	0.0	0
W <sub>Ma</sub>	95.41	0.0	0.0	0.0	0
R <sub>CIE</sub>	39.92	58.74	27.99	65.07	25
J <sub>CIE</sub>	81.26	-2.88	71.56	71.62	92
G <sub>CIE</sub>	52.23	-42.41	13.6	44.55	162
B <sub>CIE</sub>	30.57	1.41	-46.46	46.49	272



%Umfang  
 $u^*_{rel} = 152$   
%Regularität  
 $g^*_{H,rel} = 100$   
 $g^*_{C,rel} = 100$

NLS00	$L^*=L^*_a$	$a^*_a$	$b^*_a$	$C^*_{ab,a}$	$h^*_{ab,a}$
O <sub>M</sub>	31.81	82.62	47.7	95.4	30
Y <sub>M</sub>	63.61	0.0	95.4	95.4	90
L <sub>M</sub>	31.81	-82.61	47.7	95.4	150
C <sub>M</sub>	63.61	-82.61	-47.69	95.4	210
V <sub>M</sub>	31.81	0.0	-95.39	95.4	270
M <sub>M</sub>	63.61	82.62	-47.69	95.4	330
N <sub>M</sub>	0.01	0.0	0.0	0.0	0
W <sub>M</sub>	95.41	0.0	0.0	0.0	0
R <sub>CIE</sub>	39.92	58.74	27.99	65.07	25
J <sub>CIE</sub>	81.26	-2.88	71.56	71.62	92
G <sub>CIE</sub>	52.23	-42.41	13.6	44.55	162
B <sub>CIE</sub>	30.57	1.41	-46.46	46.49	272

Relatives CIELAB-Buntheitsdiagramm: ( $a_R^* = lab^*a$ ,  $b_R^* = lab^*b$ ) und absolutes CIELAB Bunttondreiecks-Diagramm: ( $L^*$ ,  $C_{ab}^*$ ) für Ein- (---) und Ausgabe (----)  
TLS18: Eingabe (i) Farbmatrik-Sytem; Sechs Bunttonwinkel des Farbgerätes: (34.9, 103.3, 136.9, 196.5, 304.3, 328.1); Vier Bunttonwinkel der Elementarfarben: (25.5, 92.3, 162.2, 271.7)  
NLS00: Ausgabe (o) Farbmatrik-Sytem; Sechs Bunttonwinkel des Farbgerätes: (30.0, 90.0, 150.0, 210.0, 270.0, 330.0); Vier Bunttonwinkel der Elementarfarben: (25.5, 92.3, 162.2, 271.7)

#### Y Gelb

$olv3Mi = 1.0 \ 1.0 \ 0.0$   
 $olv3Mo = 0.779 \ 1.0 \ 0.0$   
 $LCHMi = 92.7 \ 87.3 \ 103$   
 $LCHo = 56.6 \ 95.4 \ 103$   
 $tchMi = 0.5 \ 1.0 \ 0.287$   
 $tchMo = 0.5 \ 1.0 \ 0.287$

#### L Laubgrün

$olv3Mi = 0.0 \ 1.0 \ 0.0$   
 $olv3Mo = 0.218 \ 1.0 \ 0.0$   
 $LCHMi = 84.0 \ 108.2 \ 137$   
 $LCHo = 38.8 \ 95.4 \ 137$   
 $tchMi = 0.5 \ 1.0 \ 0.38$   
 $tchMo = 0.5 \ 1.0 \ 0.38$

#### C Cyanblau

$olv3Mi = 0.0 \ 1.0 \ 1.0$   
 $olv3Mo = 0.0 \ 1.0 \ 0.774$   
 $LCHMi = 87.1 \ 46.3 \ 196$   
 $LCHo = 56.4 \ 95.4 \ 196$   
 $tchMi = 0.5 \ 1.0 \ 0.546$   
 $tchMo = 0.5 \ 1.0 \ 0.546$

#### O Orangerot

$olv3Mi = 1.0 \ 0.0 \ 0.0$   
 $olv3Mo = 1.0 \ 0.081 \ 0.0$   
 $LCHMi = 52.8 \ 87.3 \ 35$   
 $LCHo = 34.4 \ 95.4 \ 35$   
 $tchMi = 0.5 \ 1.0 \ 0.097$   
 $tchMo = 0.5 \ 1.0 \ 0.097$

#### M Magentarot

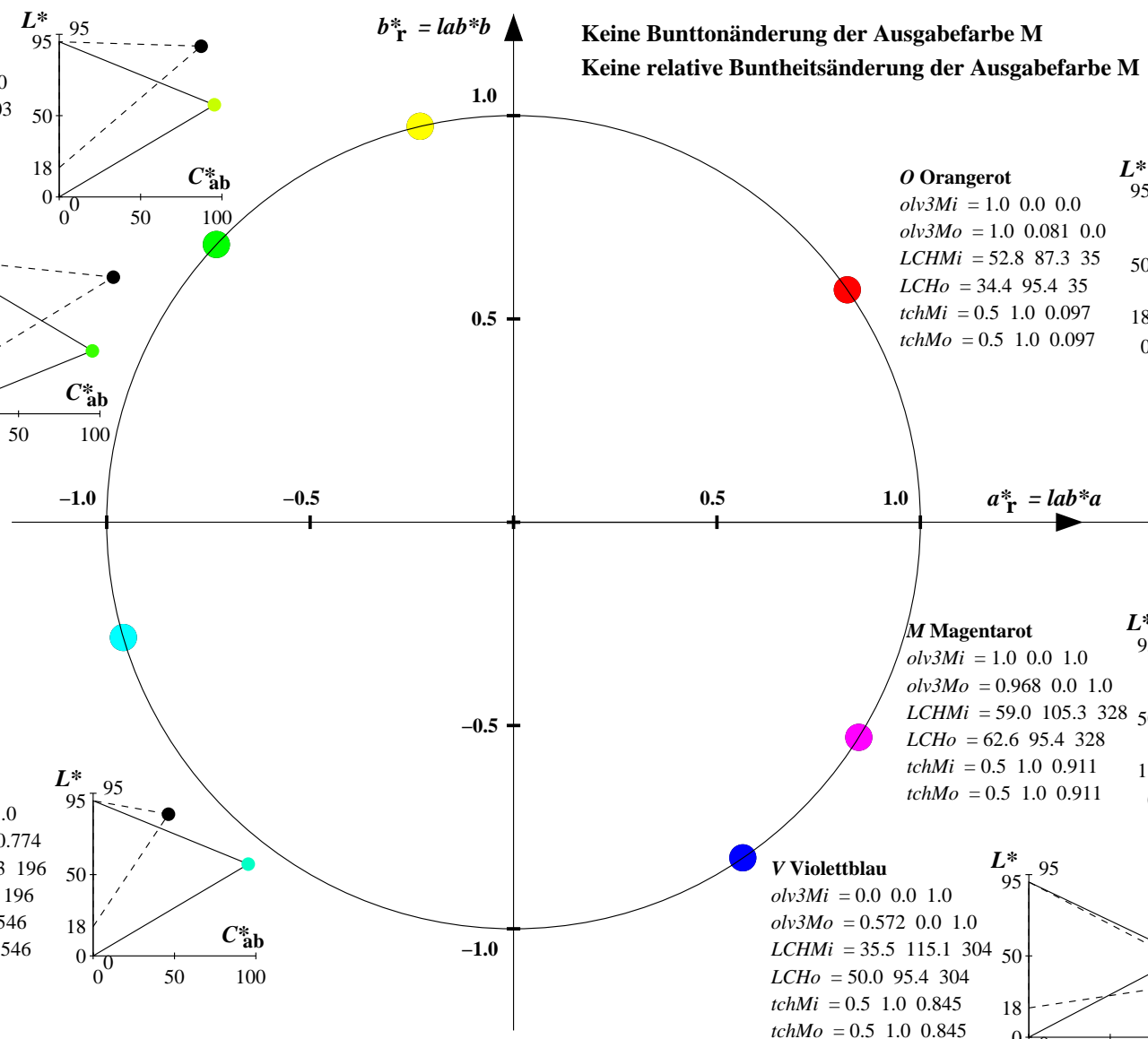
$olv3Mi = 1.0 \ 0.0 \ 1.0$   
 $olv3Mo = 0.968 \ 0.0 \ 1.0$   
 $LCHMi = 59.0 \ 105.3 \ 328$   
 $LCHo = 62.6 \ 95.4 \ 328$   
 $tchMi = 0.5 \ 1.0 \ 0.911$   
 $tchMo = 0.5 \ 1.0 \ 0.911$

#### V Violettblau

$olv3Mi = 0.0 \ 0.0 \ 1.0$   
 $olv3Mo = 0.572 \ 0.0 \ 1.0$   
 $LCHMi = 35.5 \ 115.1 \ 304$   
 $LCHo = 50.0 \ 95.4 \ 304$   
 $tchMi = 0.5 \ 1.0 \ 0.845$   
 $tchMo = 0.5 \ 1.0 \ 0.845$

Keine Bunttonänderung der Ausgabefarbe M

Keine relative Buntheitsänderung der Ausgabefarbe M





Relatives CIELAB-Buntheitsdiagramm: ( $a^*_r = lab^*a$ ,  $b^*_r = lab^*b$ ) und absolutes CIELAB Bunttondreiecks-Diagramm: ( $L^*$ ,  $C^*_{ab}$ ) für Ein- (---) und Ausgabe (----) TLS18: Eingabe (i) Farbmatrik-Sytem; Sechs Bunttonwinkel des Farbgerätes: (34.9, 103.3, 136.9, 196.5, 304.3, 328.1); Vier Bunttonwinkel der Elementarfarben: (25.5, 92.3, 162.2, 271.7) NLS00: Ausgabe (o) Farbmatrik-Sytem; Sechs Bunttonwinkel des Farbgerätes: (30.0, 90.0, 150.0, 210.0, 270.0, 330.0); Vier Bunttonwinkel der Elementarfarben: (25.5, 92.3, 162.2, 271.7)

#### Y Gelb

$olv3Mi = 1.0 \ 1.0 \ 0.0$   
 $olv3Mo = 0.612 \ 1.0 \ 0.0$   
 $LCHMi = 92.7 \ 87.3 \ 103$   
 $LCHo = 51.3 \ 95.4 \ 113$   
 $tchMi = 0.5 \ 1.0 \ 0.287$   
 $tchMo = 0.5 \ 1.0 \ 0.315$

#### L Laubgrün

$olv3Mi = 0.0 \ 1.0 \ 0.0$   
 $olv3Mo = 0.052 \ 1.0 \ 0.0$   
 $LCHMi = 84.0 \ 108.2 \ 137$   
 $LCHo = 33.5 \ 95.4 \ 147$   
 $tchMi = 0.5 \ 1.0 \ 0.38$   
 $tchMo = 0.5 \ 1.0 \ 0.408$

#### C Cyanblau

$olv3Mi = 0.0 \ 1.0 \ 1.0$   
 $olv3Mo = 0.0 \ 1.0 \ 0.941$   
 $LCHMi = 87.1 \ 46.3 \ 196$   
 $LCHo = 61.7 \ 95.4 \ 206$   
 $tchMi = 0.5 \ 1.0 \ 0.546$   
 $tchMo = 0.5 \ 1.0 \ 0.574$

#### O Orangerot

$olv3Mi = 1.0 \ 0.0 \ 0.0$   
 $olv3Mo = 1.0 \ 0.248 \ 0.0$   
 $LCHMi = 52.8 \ 87.3 \ 35$   
 $LCHo = 39.7 \ 95.4 \ 45$   
 $tchMi = 0.5 \ 1.0 \ 0.097$   
 $tchMo = 0.5 \ 1.0 \ 0.125$

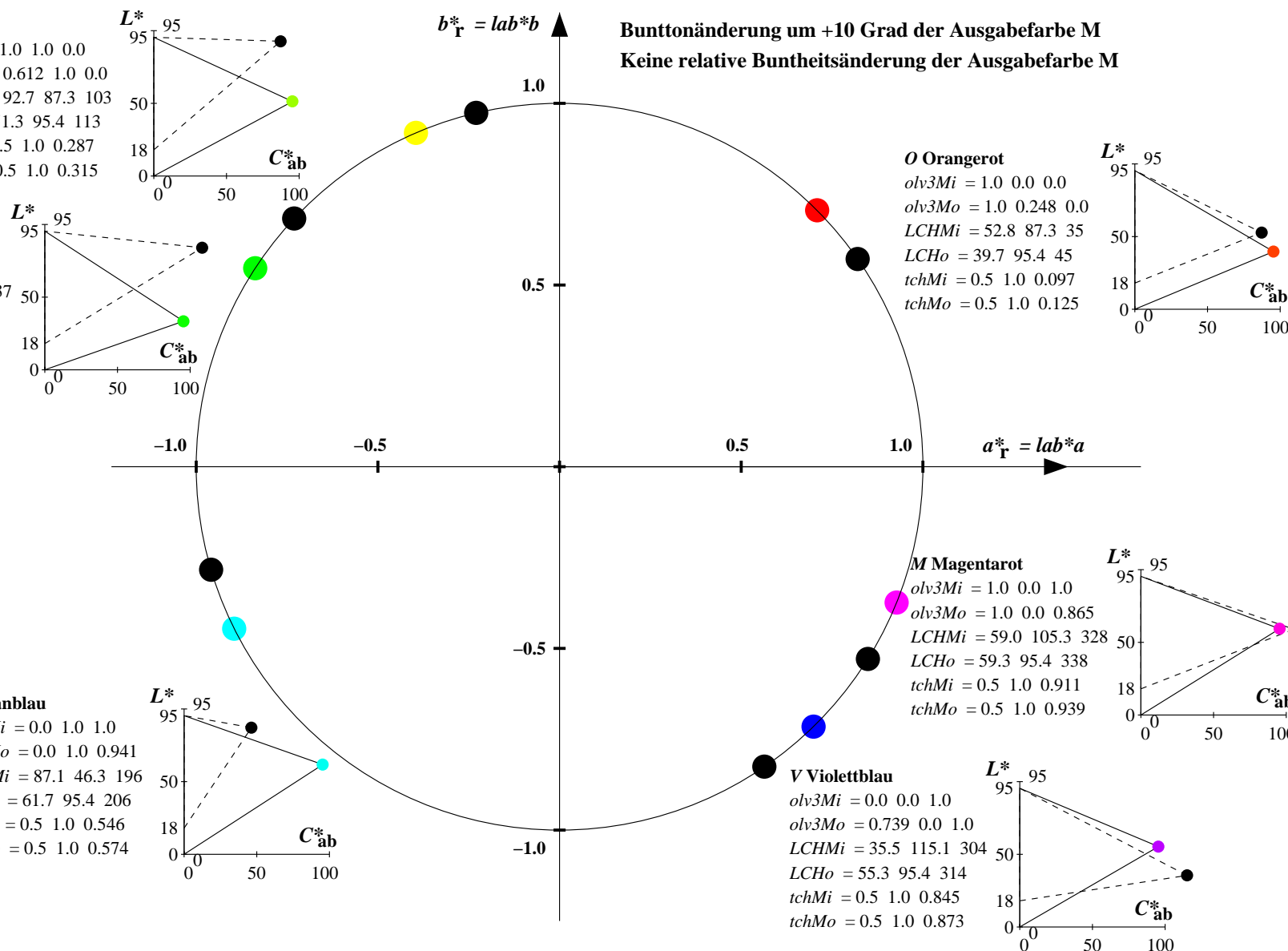
#### M Magentarot

$olv3Mi = 1.0 \ 0.0 \ 1.0$   
 $olv3Mo = 1.0 \ 0.0 \ 0.865$   
 $LCHMi = 59.0 \ 105.3 \ 328$   
 $LCHo = 59.3 \ 95.4 \ 338$   
 $tchMi = 0.5 \ 1.0 \ 0.911$   
 $tchMo = 0.5 \ 1.0 \ 0.939$

#### V Violettblau

$olv3Mi = 0.0 \ 0.0 \ 1.0$   
 $olv3Mo = 0.739 \ 0.0 \ 1.0$   
 $LCHMi = 35.5 \ 115.1 \ 304$   
 $LCHo = 55.3 \ 95.4 \ 314$   
 $tchMi = 0.5 \ 1.0 \ 0.845$   
 $tchMo = 0.5 \ 1.0 \ 0.873$

Bunttonänderung um +10 Grad der Ausgabefarbe M  
Keine relative Buntheitsänderung der Ausgabefarbe M



-Siehe ähnliche Dateien: <http://www.ps.bam.de/YG63/>  
Technische Information: <http://www.ps.bam.de> Version 2.1, io=1,1

BAM-Registrierung: 20061101-YG63/10L/L63G30NP.PS/.PDF BAM-Material: Code=rh4ta4a  
Anwendung für Beurteilung und Messung von Drucker- oder Monitorsystemen  
/YG63/ Form: 208, Serie: 1/1, Seite: 20 Seitenanzahl: 1

**Relatives CIELAB-Buntheitsdiagramm: ( $a_{\text{r}}^* = \text{lab}^*a$ ,  $b_{\text{r}}^* = \text{lab}^*a$ ) und absolutes CIELAB Bunttondreiecks-Diagramm: ( $L^*$ ,  $C_{\text{ab}}^*$ ) für Ein- (—) und Ausgabe (---)**

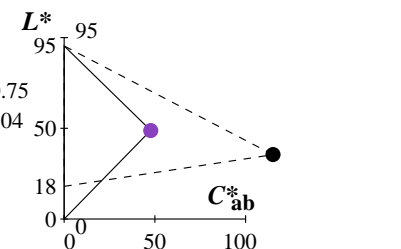
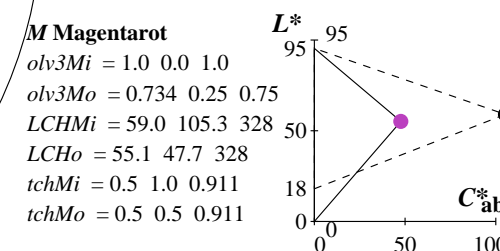
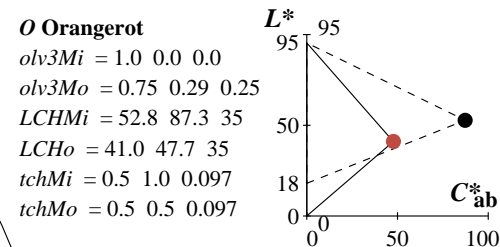
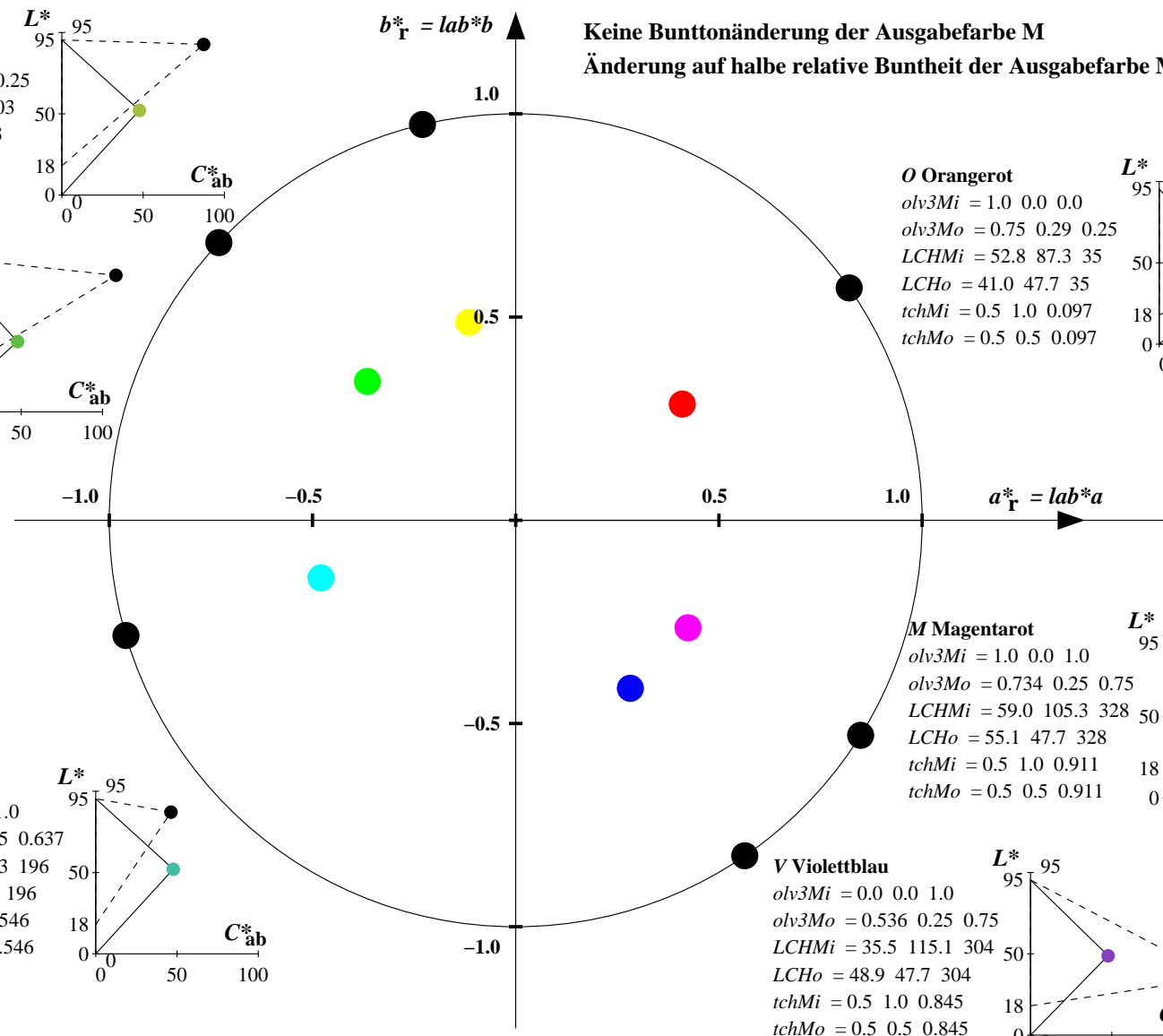
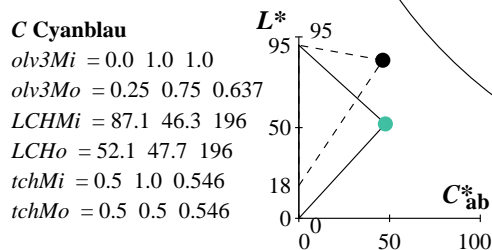
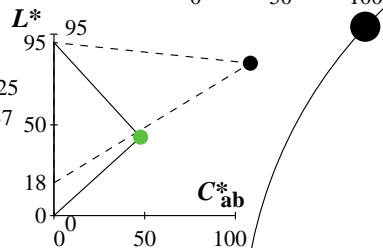
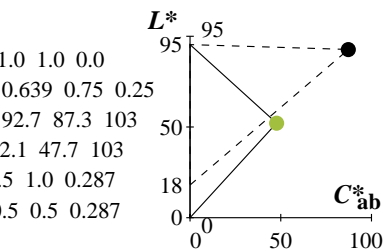
**TLS18: Eingabe (i) Farbmatrik-Sytem; Sechs Bunttonwinkel des Farbgerätes: (34.9, 103.3, 136.9, 196.5, 304.3, 328.1); Vier Bunttonwinkel der Elementarfarben: (25.5, 92.3, 162.2, 271.7)**

**NLS00: Ausgabe (o) Farbmatrik-Sytem; Sechs Bunttonwinkel des Farbgerätes: (30.0, 90.0, 150.0, 210.0, 270.0, 330.0); Vier Bunttonwinkel der Elementarfarben: (25.5, 92.3, 162.2, 271.7)**

**Y Gelb**

$$olv3Mi = 1.0 \quad 1.0 \quad 0.0$$
$$olv3Mo = 0.639 \ 0.75 \ 0.25$$
$$LCHMi = 92.7 \quad 87.3 \quad 103$$
$$LCHo = 52.1 \quad 47.7 \quad 103$$
 $tchMi = 0.5 \quad 1.0 \quad 0.287$ 
$$tchMo = 0.5 \quad 0.5 \quad 0.287$$

***L* Laubgrün**

$$olv3Mi = 0.0 \quad 1.0 \quad 0.0$$
$$olv3Mo = 0.359 \quad 0.75 \quad 0.25$$
 $LCHMi = 84.0 \quad 108.2 \quad 137$ 
$$LCH_o = 43.2 \quad 47.7 \quad 137$$
$$tchMi = 0.5 \quad 1.0 \quad 0.38$$
 $tchMo = 0.5 \quad 0.5 \quad 0.38$ 

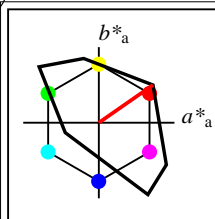
Y630-7, Farb-Management-Workflow: Geräte-Farbeingabedaten des Farbenraums TLS18 -> Geräte-Farbausgabedaten des Farbenraums NLS00, Seite 20/32

BAM-Prüfvorlage YG63; Farbmetri workflow TLS18->NLS00 Eingabe: *olv\* setrgbcolor*

D65: 6 Grundfarben: Geräte- und Musterdaten: Seite 20/32

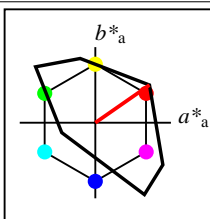
Eingabe: *olv\* setrgbcolor*

Ausgabe: keine Eingabeänderung



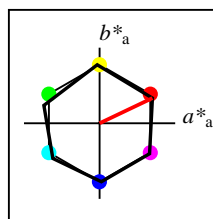
%Umfang  
 $u^*_{rel} = 118$   
%Regularität  
 $g^*_{H,rel} = 22$   
 $g^*_{C,rel} = 40$

TLS18	$L^*=L^*_a$	$a^*_a$	$b^*_a$	$C^*_{ab,a}$	$h^*_{ab,a}$
O <sub>M</sub>	52.76	71.63	49.88	87.29	35
Y <sub>M</sub>	92.74	-20.02	84.97	87.3	103
L <sub>M</sub>	84.0	-78.98	73.94	108.2	137
C <sub>M</sub>	87.14	-44.41	-13.11	46.32	196
V <sub>M</sub>	35.47	64.92	-95.06	115.12	304
M <sub>M</sub>	59.01	89.33	-55.67	105.26	328
N <sub>M</sub>	18.01	0.0	0.0	0.0	0
W <sub>M</sub>	95.41	0.0	0.0	0.0	0
R <sub>CIE</sub>	39.92	58.74	27.99	65.07	25
J <sub>CIE</sub>	81.26	-2.88	71.56	71.62	92
G <sub>CIE</sub>	52.23	-42.41	13.6	44.55	162
B <sub>CIE</sub>	30.57	1.41	-46.46	46.49	272



%Umfang  
 $u^*_{rel} = 118$   
%Regularität  
 $g^*_{H,rel} = 22$   
 $g^*_{C,rel} = 40$

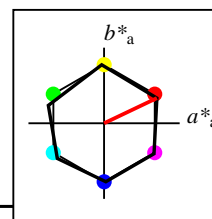
TLS18a; adaptierte CIELAB-Daten	$L^*=L^*_a$	$a^*_a$	$b^*_a$	$C^*_{ab,a}$	$h^*_{ab,a}$
O <sub>Ma</sub>	52.76	71.63	49.88	87.29	35
Y <sub>Ma</sub>	92.74	-20.02	84.97	87.3	103
L <sub>Ma</sub>	84.0	-78.98	73.94	108.2	137
C <sub>Ma</sub>	87.14	-44.41	-13.11	46.32	196
V <sub>Ma</sub>	35.47	64.92	-95.06	115.12	304
M <sub>Ma</sub>	59.01	89.33	-55.67	105.26	328
N <sub>Ma</sub>	18.01	0.0	0.0	0.0	0
W <sub>Ma</sub>	95.41	0.0	0.0	0.0	0
R <sub>CIE</sub>	39.92	58.74	27.99	65.07	25
J <sub>CIE</sub>	81.26	-2.88	71.56	71.62	92
G <sub>CIE</sub>	52.23	-42.41	13.6	44.55	162
B <sub>CIE</sub>	30.57	1.41	-46.46	46.49	272



%Umfang  
 $u^*_{rel} = 100$   
%Regularität  
 $g^*_{H,rel} = 78$   
 $g^*_{C,rel} = 100$

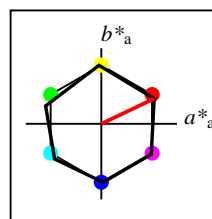
NRS18a; adaptierte CIELAB-Daten	$L^*=L^*_a$	$a^*_a$	$b^*_a$	$C^*_{ab,a}$	$h^*_{ab,a}$
O <sub>Ma</sub>	56.71	69.87	33.29	77.4	25
Y <sub>Ma</sub>	56.71	-3.1	77.34	77.4	92
L <sub>Ma</sub>	56.71	-73.68	23.63	77.39	162
C <sub>Ma</sub>	56.71	-61.81	-46.54	77.39	217
V <sub>Ma</sub>	56.71	2.35	-77.34	77.39	272
M <sub>Ma</sub>	56.71	66.07	-40.3	77.4	329
N <sub>Ma</sub>	18.01	0.0	0.0	0.0	0
W <sub>Ma</sub>	95.41	0.0	0.0	0.0	0
R <sub>CIE</sub>	39.92	58.74	27.99	65.07	25
J <sub>CIE</sub>	81.26	-2.88	71.56	71.62	92
G <sub>CIE</sub>	52.23	-42.41	13.6	44.55	162
B <sub>CIE</sub>	30.57	1.41	-46.46	46.49	272

Workflow-Wahlen  
für Farbmuster:  
1. keine Farbänderung  
2. Buntton-Änderung  
3. Buntheits-Änderung



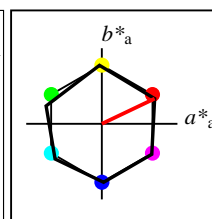
%Umfang  
 $u^*_{rel} = 100$   
%Regularität  
 $g^*_{H,rel} = 78$   
 $g^*_{C,rel} = 100$

NRS18a; adaptierte CIELAB-Daten	$L^*=L^*_a$	$a^*_a$	$b^*_a$	$C^*_{ab,a}$	$h^*_{ab,a}$
O <sub>Ma</sub>	56.71	69.87	33.29	77.4	25
Y <sub>Ma</sub>	56.71	-3.1	77.34	77.4	92
L <sub>Ma</sub>	56.71	-73.68	23.63	77.39	162
C <sub>Ma</sub>	56.71	-61.81	-46.54	77.39	217
V <sub>Ma</sub>	56.71	2.35	-77.34	77.39	272
M <sub>Ma</sub>	56.71	66.07	-40.3	77.4	329
N <sub>Ma</sub>	18.01	0.0	0.0	0.0	0
W <sub>Ma</sub>	95.41	0.0	0.0	0.0	0
R <sub>CIE</sub>	39.92	58.74	27.99	65.07	25
J <sub>CIE</sub>	81.26	-2.88	71.56	71.62	92
G <sub>CIE</sub>	52.23	-42.41	13.6	44.55	162
B <sub>CIE</sub>	30.57	1.41	-46.46	46.49	272



%Umfang  
 $u^*_{rel} = 100$   
%Regularität  
 $g^*_{H,rel} = 78$   
 $g^*_{C,rel} = 100$

NRS18a; adaptierte CIELAB-Daten	$L^*=L^*_a$	$a^*_a$	$b^*_a$	$C^*_{ab,a}$	$h^*_{ab,a}$
O <sub>Ma</sub>	56.71	69.87	33.29	77.4	25
Y <sub>Ma</sub>	56.71	-3.1	77.34	77.4	92
L <sub>Ma</sub>	56.71	-73.68	23.63	77.39	162
C <sub>Ma</sub>	56.71	-61.81	-46.54	77.39	217
V <sub>Ma</sub>	56.71	2.35	-77.34	77.39	272
M <sub>Ma</sub>	56.71	66.07	-40.3	77.4	329
N <sub>Ma</sub>	18.01	0.0	0.0	0.0	0
W <sub>Ma</sub>	95.41	0.0	0.0	0.0	0
R <sub>CIE</sub>	39.92	58.74	27.99	65.07	25
J <sub>CIE</sub>	81.26	-2.88	71.56	71.62	92
G <sub>CIE</sub>	52.23	-42.41	13.6	44.55	162
B <sub>CIE</sub>	30.57	1.41	-46.46	46.49	272



%Umfang  
 $u^*_{rel} = 100$   
%Regularität  
 $g^*_{H,rel} = 78$   
 $g^*_{C,rel} = 100$

NRS18	$L^*=L^*_a$	$a^*_a$	$b^*_a$	$C^*_{ab,a}$	$h^*_{ab,a}$
O <sub>M</sub>	56.71	69.87	33.29	77.4	25
Y <sub>M</sub>	56.71	-3.1	77.34	77.4	92
L <sub>M</sub>	56.71	-73.68	23.63	77.39	162
C <sub>M</sub>	56.71	-61.81	-46.54	77.39	217
V <sub>M</sub>	56.71	2.35	-77.34	77.39	272
M <sub>M</sub>	56.71	66.07	-40.3	77.4	329
N <sub>M</sub>	18.01	0.0	0.0	0.0	0
W <sub>M</sub>	95.41	0.0	0.0	0.0	0
R <sub>CIE</sub>	39.92	58.74	27.99	65.07	25
J <sub>CIE</sub>	81.26	-2.88	71.56	71.62	92
G <sub>CIE</sub>	52.23	-42.41	13.6	44.55	162
B <sub>CIE</sub>	30.57	1.41	-46.46	46.49	272

Relatives CIELAB-Buntheitsdiagramm: ( $a_R^* = lab^*a$ ,  $b_R^* = lab^*b$ ) und absolutes CIELAB Bunttondreiecks-Diagramm: ( $L^*$ ,  $C_{ab}^*$ ) für Ein- (---) und Ausgabe (----) TLS18: Eingabe (i) Farbmatrik-Sytem; Sechs Bunttonwinkel des Farbgerätes: (34.9, 103.3, 136.9, 196.5, 304.3, 328.1); Vier Bunttonwinkel der Elementarfarben: (25.5, 92.3, 162.2, 271.7) NRS18: Ausgabe (o) Farbmatrik-Sytem; Sechs Bunttonwinkel des Farbgerätes: (25.5, 92.3, 162.2, 217.0, 271.7, 328.6); Vier Bunttonwinkel der Elementarfarben: (25.5, 92.3, 162.2, 271.7)

#### Y Gelb

$olv3Mi = 1.0 \ 1.0 \ 0.0$   
 $olv3Mo = 0.843 \ 1.0 \ 0.0$   
 $LCHMi = 92.7 \ 87.3 \ 103$   
 $LCHo = 56.7 \ 77.4 \ 103$   
 $tchMi = 0.5 \ 1.0 \ 0.287$   
 $tchMo = 0.5 \ 1.0 \ 0.287$

#### L Laubgrün

$olv3Mi = 0.0 \ 1.0 \ 0.0$   
 $olv3Mo = 0.362 \ 1.0 \ 0.0$   
 $LCHMi = 84.0 \ 108.2 \ 137$   
 $LCHo = 56.7 \ 77.4 \ 137$   
 $tchMi = 0.5 \ 1.0 \ 0.38$   
 $tchMo = 0.5 \ 1.0 \ 0.38$

#### C Cyanblau

$olv3Mi = 0.0 \ 1.0 \ 1.0$   
 $olv3Mo = 0.0 \ 1.0 \ 0.625$   
 $LCHMi = 87.1 \ 46.3 \ 196$   
 $LCHo = 56.7 \ 77.4 \ 196$   
 $tchMi = 0.5 \ 1.0 \ 0.546$   
 $tchMo = 0.5 \ 1.0 \ 0.546$

#### M Magentarot

$olv3Mi = 1.0 \ 0.0 \ 1.0$   
 $olv3Mo = 0.99 \ 0.0 \ 1.0$   
 $LCHMi = 59.0 \ 105.3 \ 328$   
 $LCHo = 56.7 \ 77.4 \ 328$   
 $tchMi = 0.5 \ 1.0 \ 0.911$   
 $tchMo = 0.5 \ 1.0 \ 0.911$

#### V Violettblau

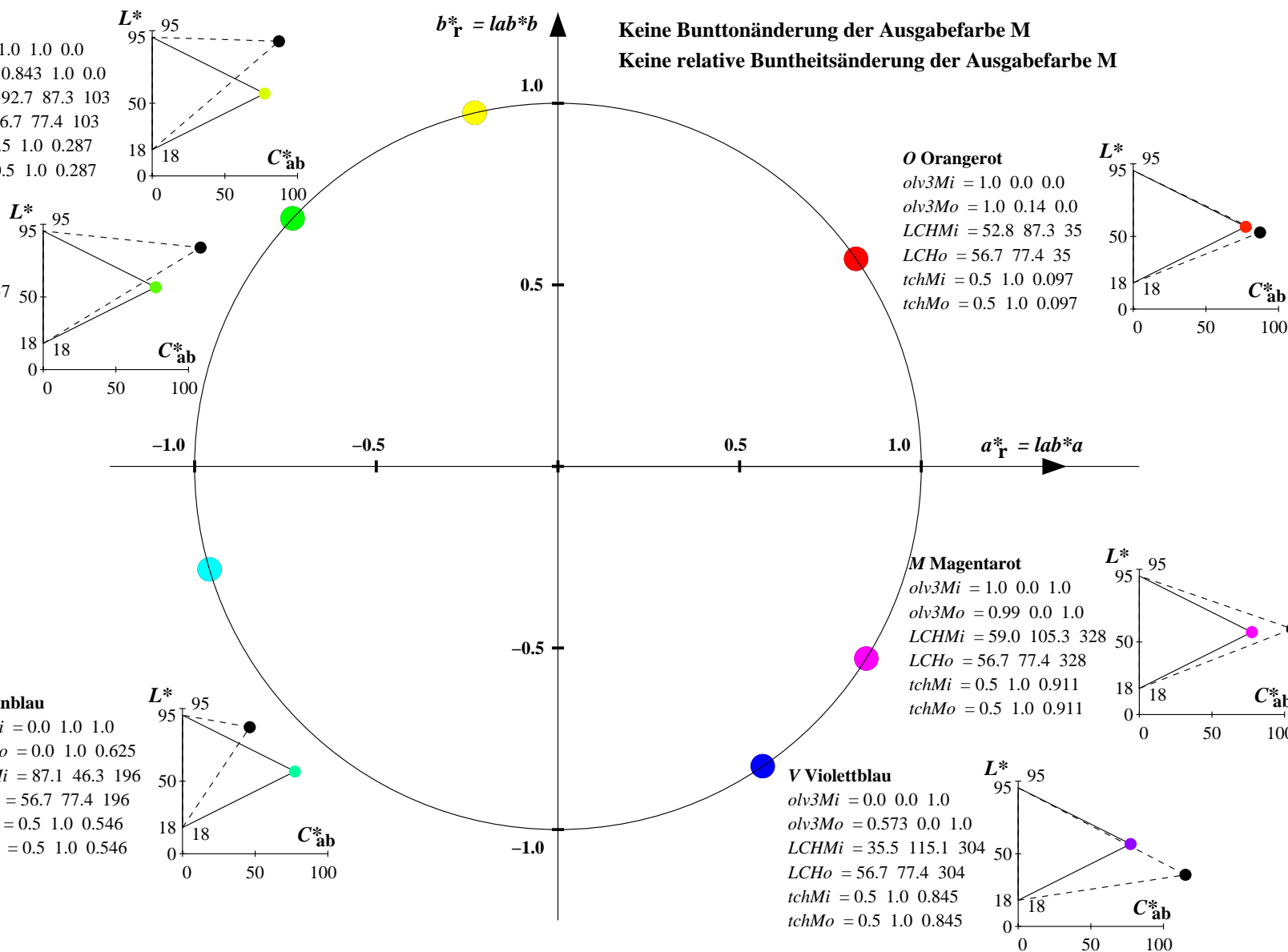
$olv3Mi = 0.0 \ 0.0 \ 1.0$   
 $olv3Mo = 0.573 \ 0.0 \ 1.0$   
 $LCHMi = 35.5 \ 115.1 \ 304$   
 $LCHo = 56.7 \ 77.4 \ 304$   
 $tchMi = 0.5 \ 1.0 \ 0.845$   
 $tchMo = 0.5 \ 1.0 \ 0.845$

#### O Orangerot

$olv3Mi = 1.0 \ 0.0 \ 0.0$   
 $olv3Mo = 1.0 \ 0.14 \ 0.0$   
 $LCHMi = 52.8 \ 87.3 \ 35$   
 $LCHo = 56.7 \ 77.4 \ 35$   
 $tchMi = 0.5 \ 1.0 \ 0.097$   
 $tchMo = 0.5 \ 1.0 \ 0.097$

Keine Bunttonänderung der Ausgabefarbe M

Keine relative Buntheitsänderung der Ausgabefarbe M



Relatives CIELAB-Buntheitsdiagramm: ( $a_R^* = lab^*a$ ,  $b_R^* = lab^*b$ ) und absolutes CIELAB Bunttondreiecks-Diagramm: ( $L^*$ ,  $C_{ab}^*$ ) für Ein- (---) und Ausgabe (----)  
TLS18: Eingabe (i) Farbmatrik-Sytem; Sechs Bunttonwinkel des Farbgerätes: (34.9, 103.3, 136.9, 196.5, 304.3, 328.1); Vier Bunttonwinkel der Elementarfarben: (25.5, 92.3, 162.2, 271.7)  
NRS18: Ausgabe (o) Farbmatrik-Sytem; Sechs Bunttonwinkel des Farbgerätes: (25.5, 92.3, 162.2, 217.0, 271.7, 328.6); Vier Bunttonwinkel der Elementarfarben: (25.5, 92.3, 162.2, 271.7)

#### Y Gelb

$olv3Mi = 1.0 \ 1.0 \ 0.0$   
 $olv3Mo = 0.7 \ 1.0 \ 0.0$   
 $LCHMi = 92.7 \ 87.3 \ 103$   
 $LCHo = 56.7 \ 77.4 \ 113$   
 $tchMi = 0.5 \ 1.0 \ 0.287$   
 $tchMo = 0.5 \ 1.0 \ 0.315$

#### L Laubgrün

$olv3Mi = 0.0 \ 1.0 \ 0.0$   
 $olv3Mo = 0.219 \ 1.0 \ 0.0$   
 $LCHMi = 84.0 \ 108.2 \ 137$   
 $LCHo = 56.7 \ 77.4 \ 147$   
 $tchMi = 0.5 \ 1.0 \ 0.38$   
 $tchMo = 0.5 \ 1.0 \ 0.408$

#### C Cyanblau

$olv3Mi = 0.0 \ 1.0 \ 1.0$   
 $olv3Mo = 0.0 \ 1.0 \ 0.808$   
 $LCHMi = 87.1 \ 46.3 \ 196$   
 $LCHo = 56.7 \ 77.4 \ 206$   
 $tchMi = 0.5 \ 1.0 \ 0.546$   
 $tchMo = 0.5 \ 1.0 \ 0.574$

#### O Orangerot

$olv3Mi = 1.0 \ 0.0 \ 0.0$   
 $olv3Mo = 1.0 \ 0.29 \ 0.0$   
 $LCHMi = 52.8 \ 87.3 \ 35$   
 $LCHo = 56.7 \ 77.4 \ 45$   
 $tchMi = 0.5 \ 1.0 \ 0.097$   
 $tchMo = 0.5 \ 1.0 \ 0.125$

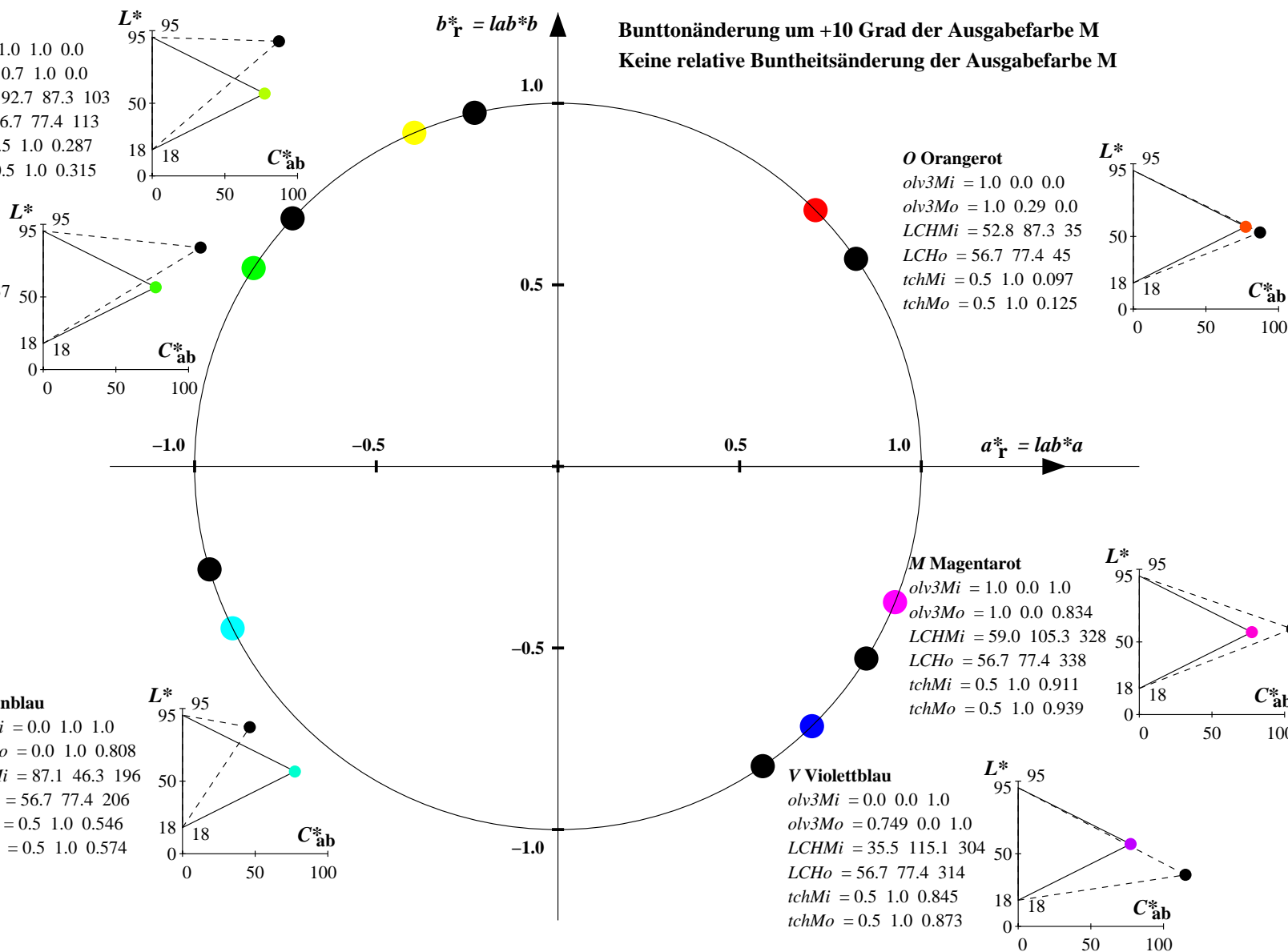
#### M Magentarot

$olv3Mi = 1.0 \ 0.0 \ 1.0$   
 $olv3Mo = 1.0 \ 0.0 \ 0.834$   
 $LCHMi = 59.0 \ 105.3 \ 328$   
 $LCHo = 56.7 \ 77.4 \ 338$   
 $tchMi = 0.5 \ 1.0 \ 0.911$   
 $tchMo = 0.5 \ 1.0 \ 0.939$

#### V Violettblau

$olv3Mi = 0.0 \ 0.0 \ 1.0$   
 $olv3Mo = 0.749 \ 0.0 \ 1.0$   
 $LCHMi = 35.5 \ 115.1 \ 304$   
 $LCHo = 56.7 \ 77.4 \ 314$   
 $tchMi = 0.5 \ 1.0 \ 0.845$   
 $tchMo = 0.5 \ 1.0 \ 0.873$

Bunttonänderung um +10 Grad der Ausgabefarbe M  
Keine relative Buntheitsänderung der Ausgabefarbe M





Relatives CIELAB-Buntheitsdiagramm: ( $a_R^* = lab^*a$ ,  $b_R^* = lab^*b$ ) und absolutes CIELAB Bunttondreiecks-Diagramm: ( $L^*$ ,  $C_{ab}^*$ ) für Ein- (---) und Ausgabe (----) TLS18: Eingabe (i) Farbmatrik-Sytem; Sechs Bunttonwinkel des Farbgerätes: (34.9, 103.3, 136.9, 196.5, 304.3, 328.1); Vier Bunttonwinkel der Elementarfarben: (25.5, 92.3, 162.2, 271.7) NRS18: Ausgabe (o) Farbmatrik-Sytem; Sechs Bunttonwinkel des Farbgerätes: (25.5, 92.3, 162.2, 217.0, 271.7, 328.6); Vier Bunttonwinkel der Elementarfarben: (25.5, 92.3, 162.2, 271.7)

#### Y Gelb

olv3Mi = 1.0 1.0 0.0  
olv3Mo = 0.672 0.75 0.25  
LCHMi = 92.7 87.3 103  
LCHo = 52.2 38.7 103  
tchMi = 0.5 1.0 0.287  
tchMo = 0.5 0.5 0.287

#### L Laubgrün

olv3Mi = 0.0 1.0 0.0  
olv3Mo = 0.431 0.75 0.25  
LCHMi = 84.0 108.2 137  
LCHo = 52.2 38.7 137  
tchMi = 0.5 1.0 0.38  
tchMo = 0.5 0.5 0.38

#### C Cyanblau

olv3Mi = 0.0 1.0 1.0  
olv3Mo = 0.25 0.75 0.563  
LCHMi = 87.1 46.3 196  
LCHo = 52.2 38.7 196  
tchMi = 0.5 1.0 0.546  
tchMo = 0.5 0.5 0.546

#### O Orangerot

olv3Mi = 1.0 0.0 0.0  
olv3Mo = 0.75 0.32 0.25  
LCHMi = 52.8 87.3 35  
LCHo = 52.2 38.7 35  
tchMi = 0.5 1.0 0.097  
tchMo = 0.5 0.5 0.097

#### M Magentarot

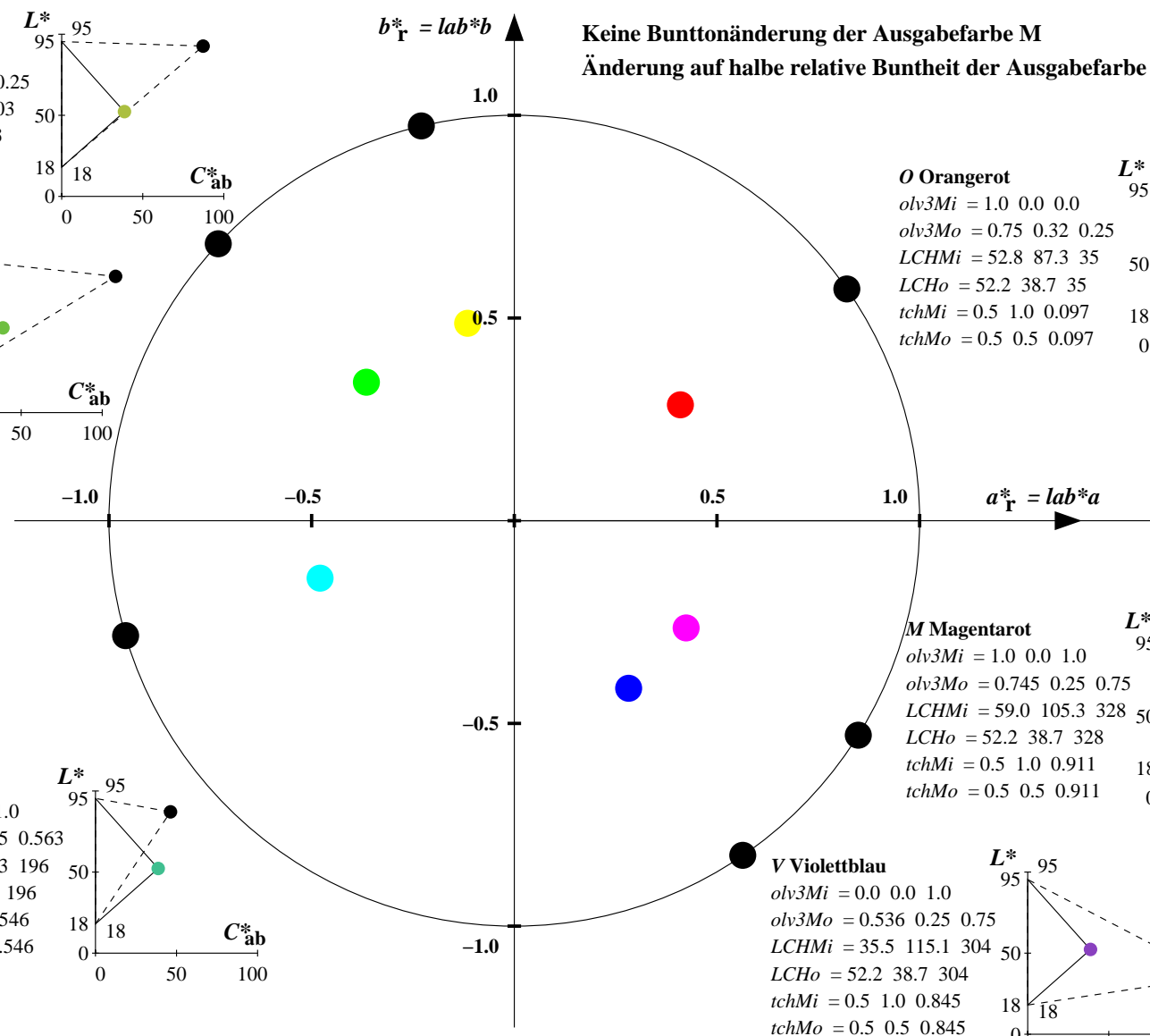
olv3Mi = 1.0 0.0 1.0  
olv3Mo = 0.745 0.25 0.75  
LCHMi = 59.0 105.3 328  
LCHo = 52.2 38.7 328  
tchMi = 0.5 1.0 0.911  
tchMo = 0.5 0.5 0.911

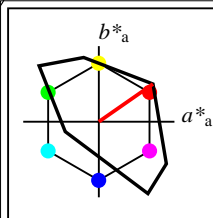
#### V Violettblau

olv3Mi = 0.0 0.0 1.0  
olv3Mo = 0.536 0.25 0.75  
LCHMi = 35.5 115.1 304  
LCHo = 52.2 38.7 304  
tchMi = 0.5 1.0 0.845  
tchMo = 0.5 0.5 0.845

Keine Bunttonänderung der Ausgabefarbe M

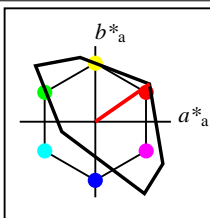
Änderung auf halbe relative Buntheit der Ausgabefarbe M





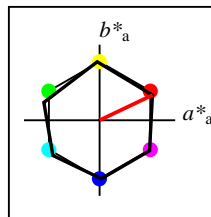
%Umfang  
 $u^*_{rel} = 118$   
%Regularität  
 $g^*_{H,rel} = 22$   
 $g^*_{C,rel} = 40$

TLS18	$L^*=L^*_a$	$a^*_a$	$b^*_a$	$C^*_{ab,a}$	$h^*_{ab,a}$
O <sub>M</sub>	52.76	71.63	49.88	87.29	35
Y <sub>M</sub>	92.74	-20.02	84.97	87.3	103
L <sub>M</sub>	84.0	-78.98	73.94	108.2	137
C <sub>M</sub>	87.14	-44.41	-13.11	46.32	196
V <sub>M</sub>	35.47	64.92	-95.06	115.12	304
M <sub>M</sub>	59.01	89.33	-55.67	105.26	328
N <sub>M</sub>	18.01	0.0	0.0	0.0	0
W <sub>M</sub>	95.41	0.0	0.0	0.0	0
R <sub>CIE</sub>	39.92	58.74	27.99	65.07	25
J <sub>CIE</sub>	81.26	-2.88	71.56	71.62	92
G <sub>CIE</sub>	52.23	-42.41	13.6	44.55	162
B <sub>CIE</sub>	30.57	1.41	-46.46	46.49	272



%Umfang  
 $u^*_{rel} = 118$   
%Regularität  
 $g^*_{H,rel} = 22$   
 $g^*_{C,rel} = 40$

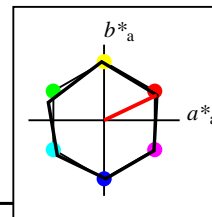
TLS18a; adaptierte CIELAB-Daten	$L^*=L^*_a$	$a^*_a$	$b^*_a$	$C^*_{ab,a}$	$h^*_{ab,a}$
O <sub>Ma</sub>	52.76	71.63	49.88	87.29	35
Y <sub>Ma</sub>	92.74	-20.02	84.97	87.3	103
L <sub>Ma</sub>	84.0	-78.98	73.94	108.2	137
C <sub>Ma</sub>	87.14	-44.41	-13.11	46.32	196
V <sub>Ma</sub>	35.47	64.92	-95.06	115.12	304
M <sub>Ma</sub>	59.01	89.33	-55.67	105.26	328
N <sub>Ma</sub>	18.01	0.0	0.0	0.0	0
W <sub>Ma</sub>	95.41	0.0	0.0	0.0	0
R <sub>CIE</sub>	39.92	58.74	27.99	65.07	25
J <sub>CIE</sub>	81.26	-2.88	71.56	71.62	92
G <sub>CIE</sub>	52.23	-42.41	13.6	44.55	162
B <sub>CIE</sub>	30.57	1.41	-46.46	46.49	272



%Umfang  
 $u^*_{rel} = 100$   
%Regularität  
 $g^*_{H,rel} = 78$   
 $g^*_{C,rel} = 100$

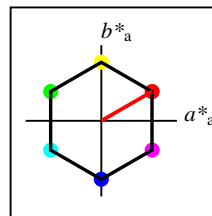
NRS18a; adaptierte CIELAB-Daten	$L^*=L^*_a$	$a^*_a$	$b^*_a$	$C^*_{ab,a}$	$h^*_{ab,a}$
O <sub>Ma</sub>	56.71	69.87	33.29	77.4	25
Y <sub>Ma</sub>	56.71	-3.1	77.34	77.4	92
L <sub>Ma</sub>	56.71	-73.68	23.63	77.39	162
C <sub>Ma</sub>	56.71	-61.81	-46.54	77.39	217
V <sub>Ma</sub>	56.71	2.35	-77.34	77.39	272
M <sub>Ma</sub>	56.71	66.07	-40.3	77.4	329
N <sub>Ma</sub>	18.01	0.0	0.0	0.0	0
W <sub>Ma</sub>	95.41	0.0	0.0	0.0	0
R <sub>CIE</sub>	39.92	58.74	27.99	65.07	25
J <sub>CIE</sub>	81.26	-2.88	71.56	71.62	92
G <sub>CIE</sub>	52.23	-42.41	13.6	44.55	162
B <sub>CIE</sub>	30.57	1.41	-46.46	46.49	272

Workflow-Wahlen  
für Farbmuster:  
1. keine Farbänderung  
2. Buntton-Änderung  
3. Buntheits-Änderung



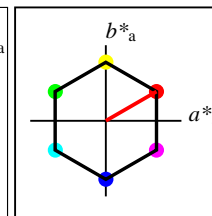
%Umfang  
 $u^*_{rel} = 100$   
%Regularität  
 $g^*_{H,rel} = 78$   
 $g^*_{C,rel} = 100$

NRS18a; adaptierte CIELAB-Daten	$L^*=L^*_a$	$a^*_a$	$b^*_a$	$C^*_{ab,a}$	$h^*_{ab,a}$
O <sub>Ma</sub>	56.71	69.87	33.29	77.4	25
Y <sub>Ma</sub>	56.71	-3.1	77.34	77.4	92
L <sub>Ma</sub>	56.71	-73.68	23.63	77.39	162
C <sub>Ma</sub>	56.71	-61.81	-46.54	77.39	217
V <sub>Ma</sub>	56.71	2.35	-77.34	77.39	272
M <sub>Ma</sub>	56.71	66.07	-40.3	77.4	329
N <sub>Ma</sub>	18.01	0.0	0.0	0.0	0
W <sub>Ma</sub>	95.41	0.0	0.0	0.0	0
R <sub>CIE</sub>	39.92	58.74	27.99	65.07	25
J <sub>CIE</sub>	81.26	-2.88	71.56	71.62	92
G <sub>CIE</sub>	52.23	-42.41	13.6	44.55	162
B <sub>CIE</sub>	30.57	1.41	-46.46	46.49	272



%Umfang  
 $u^*_{rel} = 100$   
%Regularität  
 $g^*_{H,rel} = 100$   
 $g^*_{C,rel} = 100$

SRS18a; adaptierte CIELAB-Daten	$L^*=L^*_a$	$a^*_a$	$b^*_a$	$C^*_{ab,a}$	$h^*_{ab,a}$
O <sub>Ma</sub>	56.71	67.03	38.7	77.4	30
Y <sub>Ma</sub>	56.71	0.0	77.4	77.4	90
L <sub>Ma</sub>	56.71	-67.02	38.7	77.4	150
C <sub>Ma</sub>	56.71	-67.02	-38.69	77.4	210
V <sub>Ma</sub>	56.71	0.0	-77.39	77.4	270
M <sub>Ma</sub>	56.71	67.03	-38.69	77.4	330
N <sub>Ma</sub>	18.01	0.0	0.0	0.0	0
W <sub>Ma</sub>	95.41	0.0	0.0	0.0	0
R <sub>CIE</sub>	39.92	58.74	27.99	65.07	25
J <sub>CIE</sub>	81.26	-2.88	71.56	71.62	92
G <sub>CIE</sub>	52.23	-42.41	13.6	44.55	162
B <sub>CIE</sub>	30.57	1.41	-46.46	46.49	272



%Umfang  
 $u^*_{rel} = 100$   
%Regularität  
 $g^*_{H,rel} = 100$   
 $g^*_{C,rel} = 100$

SRS18	$L^*=L^*_a$	$a^*_a$	$b^*_a$	$C^*_{ab,a}$	$h^*_{ab,a}$
O <sub>M</sub>	56.71	67.03	38.7	77.4	30
Y <sub>M</sub>	56.71	0.0	77.4	77.4	90
L <sub>M</sub>	56.71	-67.02	38.7	77.4	150
C <sub>M</sub>	56.71	-67.02	-38.69	77.4	210
V <sub>M</sub>	56.71	0.0	-77.39	77.4	270
M <sub>M</sub>	56.71	67.03	-38.69	77.4	330
N <sub>M</sub>	18.01	0.0	0.0	0.0	0
W <sub>M</sub>	95.41	0.0	0.0	0.0	0
R <sub>CIE</sub>	39.92	58.74	27.99	65.07	25
J <sub>CIE</sub>	81.26	-2.88	71.56	71.62	92
G <sub>CIE</sub>	52.23	-42.41	13.6	44.55	162
B <sub>CIE</sub>	30.57	1.41	-46.46	46.49	272

Relatives CIELAB-Buntheitsdiagramm: ( $a_R^* = lab^*a$ ,  $b_R^* = lab^*b$ ) und absolutes CIELAB Bunttondreiecks-Diagramm: ( $L^*$ ,  $C_{ab}^*$ ) für Ein- (---) und Ausgabe (----)  
TLS18: Eingabe (i) Farbmatrik-Sytem; Sechs Bunttonwinkel des Farbgerätes: (34.9, 103.3, 136.9, 196.5, 304.3, 328.1); Vier Bunttonwinkel der Elementarfarben: (25.5, 92.3, 162.2, 271.7)  
SRS18: Ausgabe (o) Farbmatrik-Sytem; Sechs Bunttonwinkel des Farbgerätes: (30.0, 90.0, 150.0, 210.0, 270.0, 330.0); Vier Bunttonwinkel der Elementarfarben: (25.5, 92.3, 162.2, 271.7)

#### Y Gelb

$olv3Mi = 1.0 \ 1.0 \ 0.0$   
 $olv3Mo = 0.779 \ 1.0 \ 0.0$   
 $LCHMi = 92.7 \ 87.3 \ 103$   
 $LCHo = 56.7 \ 77.4 \ 103$   
 $tchMi = 0.5 \ 1.0 \ 0.287$   
 $tchMo = 0.5 \ 1.0 \ 0.287$

#### L Laubgrün

$olv3Mi = 0.0 \ 1.0 \ 0.0$   
 $olv3Mo = 0.218 \ 1.0 \ 0.0$   
 $LCHMi = 84.0 \ 108.2 \ 137$   
 $LCHo = 56.7 \ 77.4 \ 137$   
 $tchMi = 0.5 \ 1.0 \ 0.38$   
 $tchMo = 0.5 \ 1.0 \ 0.38$

#### C Cyanblau

$olv3Mi = 0.0 \ 1.0 \ 1.0$   
 $olv3Mo = 0.0 \ 1.0 \ 0.774$   
 $LCHMi = 87.1 \ 46.3 \ 196$   
 $LCHo = 56.7 \ 77.4 \ 196$   
 $tchMi = 0.5 \ 1.0 \ 0.546$   
 $tchMo = 0.5 \ 1.0 \ 0.546$

#### O Orangerot

$olv3Mi = 1.0 \ 0.0 \ 0.0$   
 $olv3Mo = 1.0 \ 0.081 \ 0.0$   
 $LCHMi = 52.8 \ 87.3 \ 35$   
 $LCHo = 56.7 \ 77.4 \ 35$   
 $tchMi = 0.5 \ 1.0 \ 0.097$   
 $tchMo = 0.5 \ 1.0 \ 0.097$

#### M Magentarot

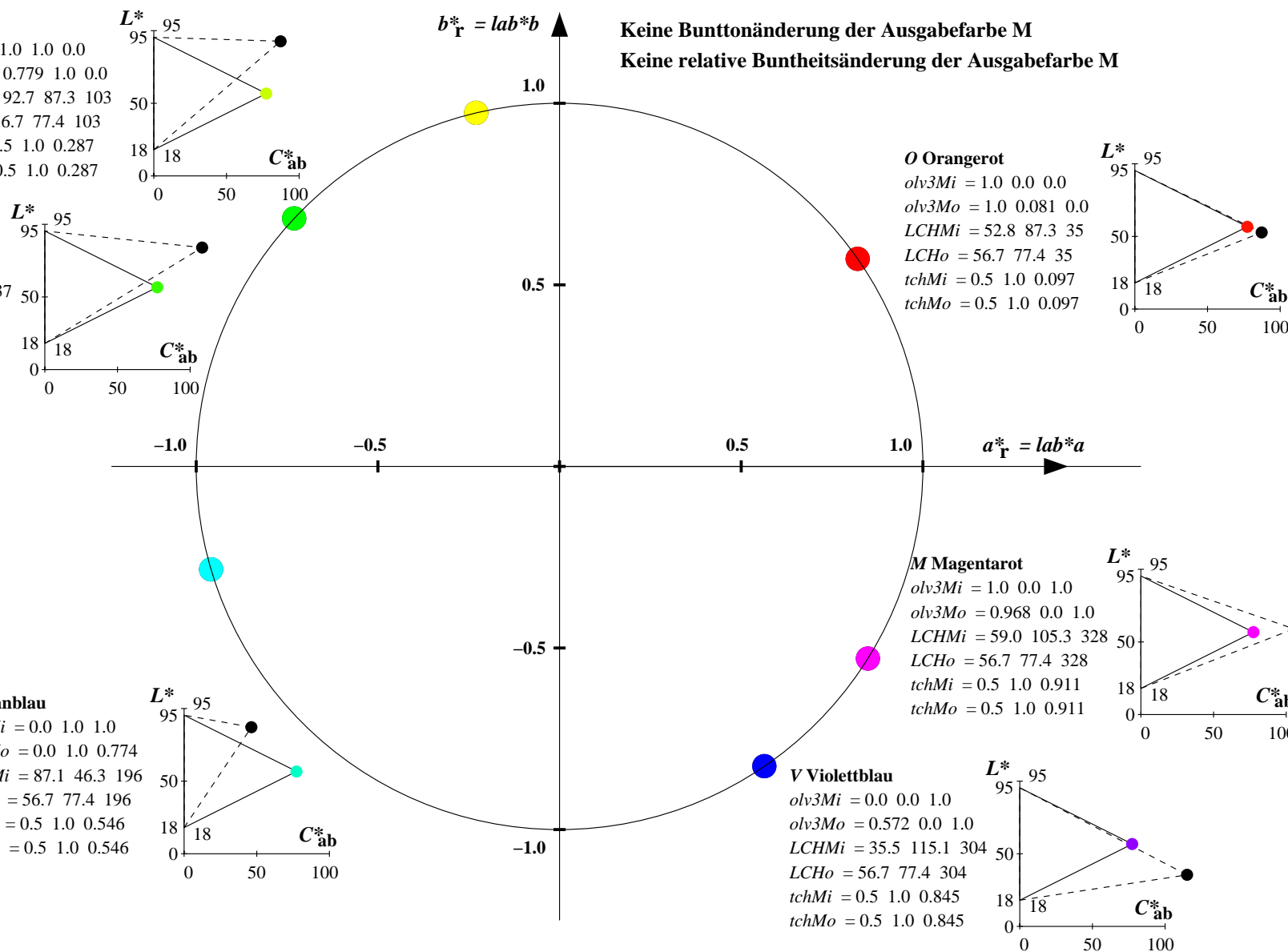
$olv3Mi = 1.0 \ 0.0 \ 1.0$   
 $olv3Mo = 0.968 \ 0.0 \ 1.0$   
 $LCHMi = 59.0 \ 105.3 \ 328$   
 $LCHo = 56.7 \ 77.4 \ 328$   
 $tchMi = 0.5 \ 1.0 \ 0.911$   
 $tchMo = 0.5 \ 1.0 \ 0.911$

#### V Violettblau

$olv3Mi = 0.0 \ 0.0 \ 1.0$   
 $olv3Mo = 0.572 \ 0.0 \ 1.0$   
 $LCHMi = 35.5 \ 115.1 \ 304$   
 $LCHo = 56.7 \ 77.4 \ 304$   
 $tchMi = 0.5 \ 1.0 \ 0.845$   
 $tchMo = 0.5 \ 1.0 \ 0.845$

Keine Bunttonänderung der Ausgabefarbe M

Keine relative Buntheitsänderung der Ausgabefarbe M



Relatives CIELAB-Buntheitsdiagramm: ( $a^*_r = lab^*a$ ,  $b^*_r = lab^*b$ ) und absolutes CIELAB Bunttondreiecks-Diagramm: ( $L^*$ ,  $C^*_{ab}$ ) für Ein- (---) und Ausgabe (----) TLS18: Eingabe (i) Farbmatrik-Sytem; Sechs Bunttonwinkel des Farbgerätes: (34.9, 103.3, 136.9, 196.5, 304.3, 328.1); Vier Bunttonwinkel der Elementarfarben: (25.5, 92.3, 162.2, 271.7) SRS18: Ausgabe (o) Farbmatrik-Sytem; Sechs Bunttonwinkel des Farbgerätes: (30.0, 90.0, 150.0, 210.0, 270.0, 330.0); Vier Bunttonwinkel der Elementarfarben: (25.5, 92.3, 162.2, 271.7)

#### Y Gelb

$olv3Mi = 1.0 \ 1.0 \ 0.0$   
 $olv3Mo = 0.612 \ 1.0 \ 0.0$   
 $LCHMi = 92.7 \ 87.3 \ 103$   
 $LCHo = 56.7 \ 77.4 \ 113$   
 $tchMi = 0.5 \ 1.0 \ 0.287$   
 $tchMo = 0.5 \ 1.0 \ 0.315$

#### L Laubgrün

$olv3Mi = 0.0 \ 1.0 \ 0.0$   
 $olv3Mo = 0.052 \ 1.0 \ 0.0$   
 $LCHMi = 84.0 \ 108.2 \ 137$   
 $LCHo = 56.7 \ 77.4 \ 147$   
 $tchMi = 0.5 \ 1.0 \ 0.38$   
 $tchMo = 0.5 \ 1.0 \ 0.408$

#### C Cyanblau

$olv3Mi = 0.0 \ 1.0 \ 1.0$   
 $olv3Mo = 0.0 \ 1.0 \ 0.941$   
 $LCHMi = 87.1 \ 46.3 \ 196$   
 $LCHo = 56.7 \ 77.4 \ 206$   
 $tchMi = 0.5 \ 1.0 \ 0.546$   
 $tchMo = 0.5 \ 1.0 \ 0.574$

#### O Orangerot

$olv3Mi = 1.0 \ 0.0 \ 0.0$   
 $olv3Mo = 1.0 \ 0.248 \ 0.0$   
 $LCHMi = 52.8 \ 87.3 \ 35$   
 $LCHo = 56.7 \ 77.4 \ 45$   
 $tchMi = 0.5 \ 1.0 \ 0.097$   
 $tchMo = 0.5 \ 1.0 \ 0.125$

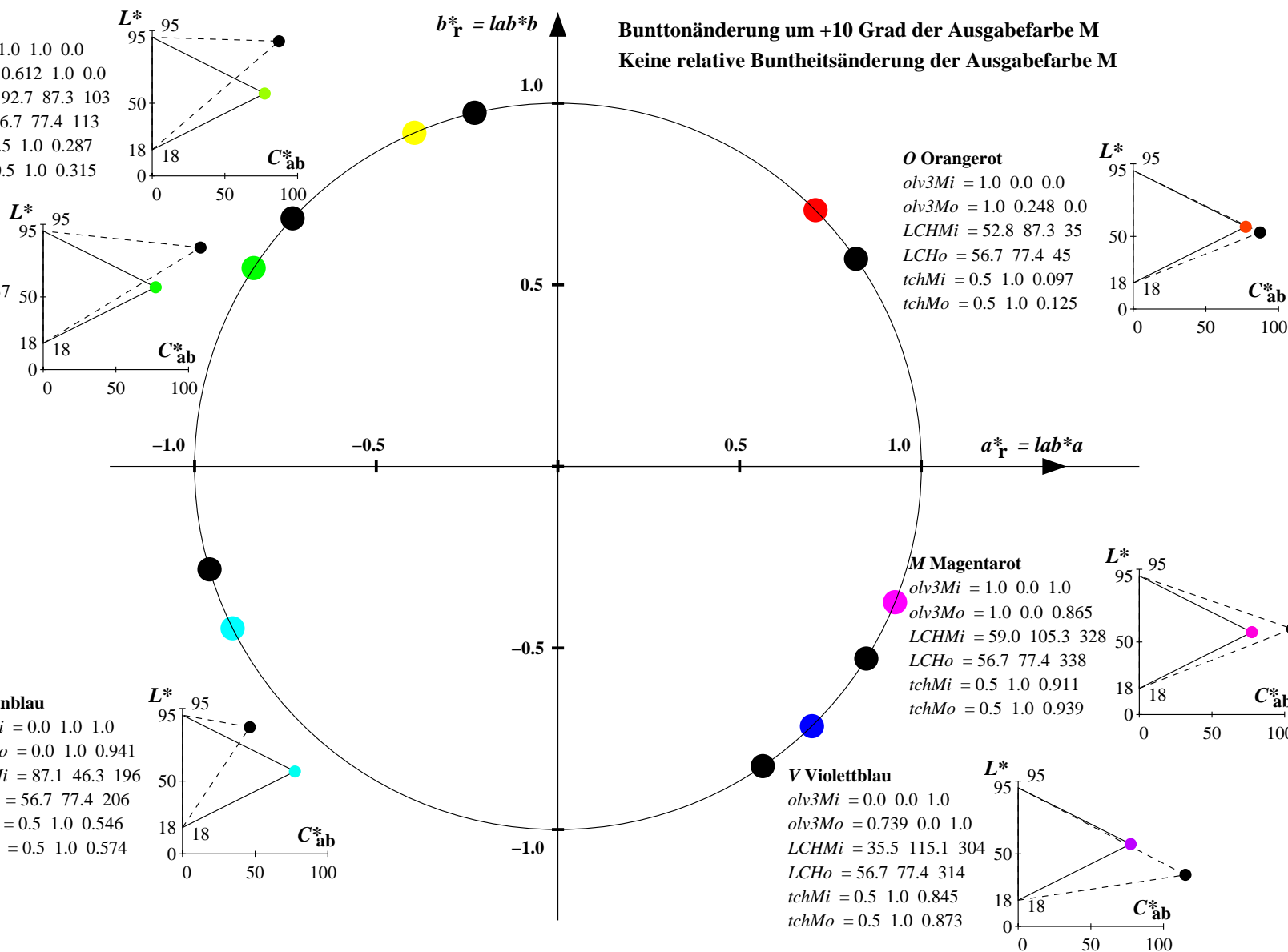
#### M Magentarot

$olv3Mi = 1.0 \ 0.0 \ 1.0$   
 $olv3Mo = 1.0 \ 0.0 \ 0.865$   
 $LCHMi = 59.0 \ 105.3 \ 328$   
 $LCHo = 56.7 \ 77.4 \ 338$   
 $tchMi = 0.5 \ 1.0 \ 0.911$   
 $tchMo = 0.5 \ 1.0 \ 0.939$

#### V Violettblau

$olv3Mi = 0.0 \ 0.0 \ 1.0$   
 $olv3Mo = 0.739 \ 0.0 \ 1.0$   
 $LCHMi = 35.5 \ 115.1 \ 304$   
 $LCHo = 56.7 \ 77.4 \ 314$   
 $tchMi = 0.5 \ 1.0 \ 0.845$   
 $tchMo = 0.5 \ 1.0 \ 0.873$

Bunttonänderung um +10 Grad der Ausgabefarbe M  
Keine relative Buntheitsänderung der Ausgabefarbe M



**Relatives CIELAB-Buntheitsdiagramm:** ( $a_R^* = lab^*a$ ,  $b_R^* = lab^*b$ ) und **absolutes CIELAB Bunttondreiecks-Diagramm:** ( $L^*$ ,  $C_{ab}^*$ ) für Ein- (---) und Ausgabe (----) TLS18: Eingabe (i) Farbmatrik-Sytem; Sechs Bunttonwinkel des Farbgerätes: (34.9, 103.3, 136.9, 196.5, 304.3, 328.1); Vier Bunttonwinkel der Elementarfarben: (25.5, 92.3, 162.2, 271.7) SRS18: Ausgabe (o) Farbmatrik-Sytem; Sechs Bunttonwinkel des Farbgerätes: (30.0, 90.0, 150.0, 210.0, 270.0, 330.0); Vier Bunttonwinkel der Elementarfarben: (25.5, 92.3, 162.2, 271.7)

**Y Gelb**

olv3Mi = 1.0 1.0 0.0  
olv3Mo = 0.639 0.75 0.25  
LCHMi = 92.7 87.3 103  
LCHo = 52.2 38.7 103  
tchMi = 0.5 1.0 0.287  
tchMo = 0.5 0.5 0.287

**L Laubgrün**

olv3Mi = 0.0 1.0 0.0  
olv3Mo = 0.359 0.75 0.25  
LCHMi = 84.0 108.2 137  
LCHo = 52.2 38.7 137  
tchMi = 0.5 1.0 0.38  
tchMo = 0.5 0.5 0.38

**C Cyanblau**

olv3Mi = 0.0 1.0 1.0  
olv3Mo = 0.25 0.75 0.637  
LCHMi = 87.1 46.3 196  
LCHo = 52.2 38.7 196  
tchMi = 0.5 1.0 0.546  
tchMo = 0.5 0.5 0.546

**O Orangerot**

olv3Mi = 1.0 0.0 0.0  
olv3Mo = 0.75 0.29 0.25  
LCHMi = 52.8 87.3 35  
LCHo = 52.2 38.7 35  
tchMi = 0.5 1.0 0.097  
tchMo = 0.5 0.5 0.097

**M Magentarot**

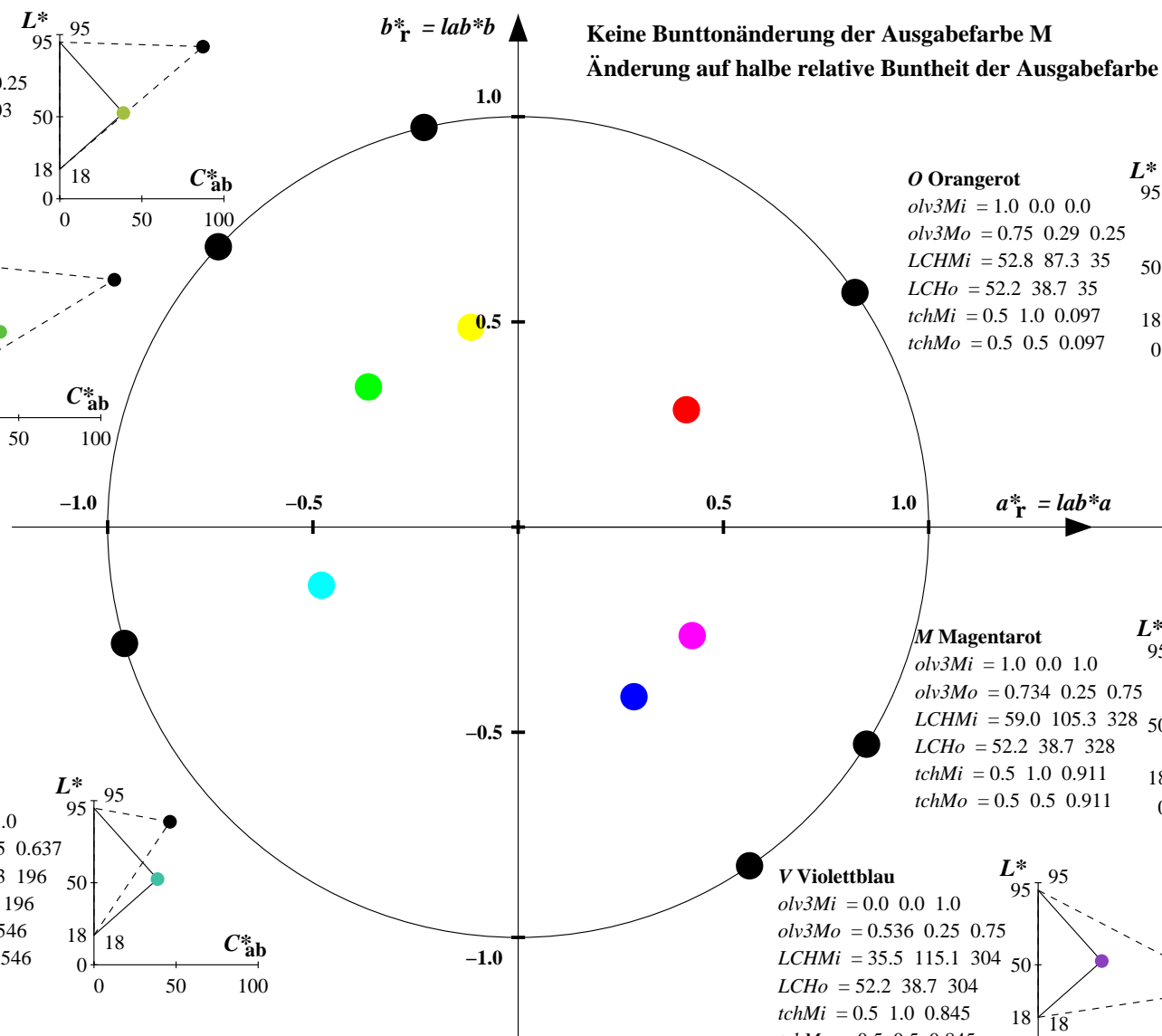
olv3Mi = 1.0 0.0 1.0  
olv3Mo = 0.734 0.25 0.75  
LCHMi = 59.0 105.3 328  
LCHo = 52.2 38.7 328  
tchMi = 0.5 1.0 0.911  
tchMo = 0.5 0.5 0.911

**V Violettblau**

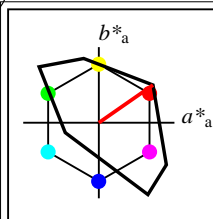
olv3Mi = 0.0 0.0 1.0  
olv3Mo = 0.536 0.25 0.75  
LCHMi = 35.5 115.1 304  
LCHo = 52.2 38.7 304  
tchMi = 0.5 1.0 0.845  
tchMo = 0.5 0.5 0.845

**Keine Bunttonänderung der Ausgabefarbe M**

**Änderung auf halbe relative Buntheit der Ausgabefarbe M**

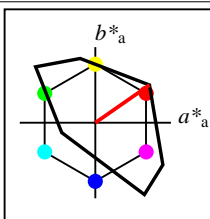






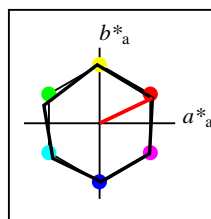
%Umfang  
 $u^*_{rel} = 118$   
%Regularität  
 $g^*_{H,rel} = 22$   
 $g^*_{C,rel} = 40$

TLS18	$L^*=L^*_a$	$a^*_a$	$b^*_a$	$C^*_{ab,a}$	$h^*_{ab,a}$
O <sub>M</sub>	52.76	71.63	49.88	87.29	35
Y <sub>M</sub>	92.74	-20.02	84.97	87.3	103
L <sub>M</sub>	84.0	-78.98	73.94	108.2	137
C <sub>M</sub>	87.14	-44.41	-13.11	46.32	196
V <sub>M</sub>	35.47	64.92	-95.06	115.12	304
M <sub>M</sub>	59.01	89.33	-55.67	105.26	328
N <sub>M</sub>	18.01	0.0	0.0	0.0	0
W <sub>M</sub>	95.41	0.0	0.0	0.0	0
R <sub>CIE</sub>	39.92	58.74	27.99	65.07	25
J <sub>CIE</sub>	81.26	-2.88	71.56	71.62	92
G <sub>CIE</sub>	52.23	-42.41	13.6	44.55	162
B <sub>CIE</sub>	30.57	1.41	-46.46	46.49	272



%Umfang  
 $u^*_{rel} = 118$   
%Regularität  
 $g^*_{H,rel} = 22$   
 $g^*_{C,rel} = 40$

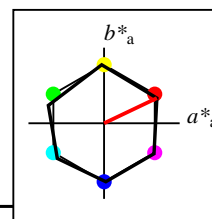
TLS18a; adaptierte CIELAB-Daten	$L^*=L^*_a$	$a^*_a$	$b^*_a$	$C^*_{ab,a}$	$h^*_{ab,a}$
O <sub>Ma</sub>	52.76	71.63	49.88	87.29	35
Y <sub>Ma</sub>	92.74	-20.02	84.97	87.3	103
L <sub>Ma</sub>	84.0	-78.98	73.94	108.2	137
C <sub>Ma</sub>	87.14	-44.41	-13.11	46.32	196
V <sub>Ma</sub>	35.47	64.92	-95.06	115.12	304
M <sub>Ma</sub>	59.01	89.33	-55.67	105.26	328
N <sub>Ma</sub>	18.01	0.0	0.0	0.0	0
W <sub>Ma</sub>	95.41	0.0	0.0	0.0	0
R <sub>CIE</sub>	39.92	58.74	27.99	65.07	25
J <sub>CIE</sub>	81.26	-2.88	71.56	71.62	92
G <sub>CIE</sub>	52.23	-42.41	13.6	44.55	162
B <sub>CIE</sub>	30.57	1.41	-46.46	46.49	272



%Umfang  
 $u^*_{rel} = 100$   
%Regularität  
 $g^*_{H,rel} = 78$   
 $g^*_{C,rel} = 100$

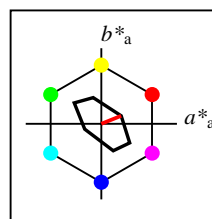
NRS18a; adaptierte CIELAB-Daten	$L^*=L^*_a$	$a^*_a$	$b^*_a$	$C^*_{ab,a}$	$h^*_{ab,a}$
O <sub>Ma</sub>	56.71	69.87	33.29	77.4	25
Y <sub>Ma</sub>	56.71	-3.1	77.34	77.4	92
L <sub>Ma</sub>	56.71	-73.68	23.63	77.39	162
C <sub>Ma</sub>	56.71	-61.81	-46.54	77.39	217
V <sub>Ma</sub>	56.71	2.35	-77.34	77.39	272
M <sub>Ma</sub>	56.71	66.07	-40.3	77.4	329
N <sub>Ma</sub>	18.01	0.0	0.0	0.0	0
W <sub>Ma</sub>	95.41	0.0	0.0	0.0	0
R <sub>CIE</sub>	39.92	58.74	27.99	65.07	25
J <sub>CIE</sub>	81.26	-2.88	71.56	71.62	92
G <sub>CIE</sub>	52.23	-42.41	13.6	44.55	162
B <sub>CIE</sub>	30.57	1.41	-46.46	46.49	272

Workflow-Wahlen  
für Farbmuster:  
1. keine Farbänderung  
2. Buntton-Änderung  
3. Buntheits-Änderung



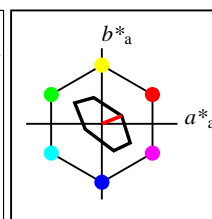
%Umfang  
 $u^*_{rel} = 100$   
%Regularität  
 $g^*_{H,rel} = 78$   
 $g^*_{C,rel} = 100$

NRS18a; adaptierte CIELAB-Daten	$L^*=L^*_a$	$a^*_a$	$b^*_a$	$C^*_{ab,a}$	$h^*_{ab,a}$
O <sub>Ma</sub>	56.71	69.87	33.29	77.4	25
Y <sub>Ma</sub>	56.71	-3.1	77.34	77.4	92
L <sub>Ma</sub>	56.71	-73.68	23.63	77.39	162
C <sub>Ma</sub>	56.71	-61.81	-46.54	77.39	217
V <sub>Ma</sub>	56.71	2.35	-77.34	77.39	272
M <sub>Ma</sub>	56.71	66.07	-40.3	77.4	329
N <sub>Ma</sub>	18.01	0.0	0.0	0.0	0
W <sub>Ma</sub>	95.41	0.0	0.0	0.0	0
R <sub>CIE</sub>	39.92	58.74	27.99	65.07	25
J <sub>CIE</sub>	81.26	-2.88	71.56	71.62	92
G <sub>CIE</sub>	52.23	-42.41	13.6	44.55	162
B <sub>CIE</sub>	30.57	1.41	-46.46	46.49	272



%Umfang  
 $u^*_{rel} = 16$   
%Regularität  
 $g^*_{H,rel} = 34$   
 $g^*_{C,rel} = 51$

TLS70a; adaptierte CIELAB-Daten	$L^*=L^*_a$	$a^*_a$	$b^*_a$	$C^*_{ab,a}$	$h^*_{ab,a}$
O <sub>Ma</sub>	76.43	26.27	10.57	28.32	22
Y <sub>Ma</sub>	93.93	-10.76	34.63	36.27	107
L <sub>Ma</sub>	89.32	-35.8	27.64	45.24	142
C <sub>Ma</sub>	90.93	-21.95	-7.07	23.07	198
V <sub>Ma</sub>	72.1	15.76	-35.63	38.97	294
M <sub>Ma</sub>	78.5	37.52	-25.23	45.22	326
N <sub>Ma</sub>	69.7	0.0	0.0	0.0	0
W <sub>Ma</sub>	95.41	0.0	0.0	0.0	0
R <sub>CIE</sub>	39.92	58.74	27.99	65.07	25
J <sub>CIE</sub>	81.26	-2.88	71.56	71.62	92
G <sub>CIE</sub>	52.23	-42.41	13.6	44.55	162
B <sub>CIE</sub>	30.57	1.41	-46.46	46.49	272



%Umfang  
 $u^*_{rel} = 16$   
%Regularität  
 $g^*_{H,rel} = 34$   
 $g^*_{C,rel} = 51$

TLS70	$L^*=L^*_a$	$a^*_a$	$b^*_a$	$C^*_{ab,a}$	$h^*_{ab,a}$
O <sub>M</sub>	76.43	26.27	10.57	28.32	22
Y <sub>M</sub>	93.93	-10.76	34.63	36.27	107
L <sub>M</sub>	89.32	-35.8	27.64	45.24	142
C <sub>M</sub>	90.93	-21.95	-7.07	23.07	198
V <sub>M</sub>	72.1	15.76	-35.63	38.97	294
M <sub>M</sub>	78.5	37.52	-25.23	45.22	326
N <sub>M</sub>	69.7	0.0	0.0	0.0	0
W <sub>M</sub>	95.41	0.0	0.0	0.0	0
R <sub>CIE</sub>	39.92	58.74	27.99	65.07	25
J <sub>CIE</sub>	81.26	-2.88	71.56	71.62	92
G <sub>CIE</sub>	52.23	-42.41	13.6	44.55	162
B <sub>CIE</sub>	30.57	1.41	-46.46	46.49	272

Relatives CIELAB-Buntheitsdiagramm: ( $a_R^* = lab^*a$ ,  $b_R^* = lab^*b$ ) und absolutes CIELAB Bunttondreiecks-Diagramm: ( $L^*$ ,  $C_{ab}^*$ ) für Ein- (---) und Ausgabe (----) TLS18: Eingabe (i) Farbmatrik-Sytem; Sechs Bunttonwinkel des Farbgerätes: (34.9, 103.3, 136.9, 196.5, 304.3, 328.1); Vier Bunttonwinkel der Elementarfarben: (25.5, 92.3, 162.2, 271.7) TLS70: Ausgabe (o) Farbmatrik-Sytem; Sechs Bunttonwinkel des Farbgerätes: (21.9, 107.3, 142.3, 197.9, 293.9, 326.1); Vier Bunttonwinkel der Elementarfarben: (25.5, 92.3, 162.2, 271.7)

#### Y Gelb

olv3Mi = 1.0 1.0 0.0  
olv3Mo = 1.0 0.953 0.0  
LCHMi = 92.7 87.3 103  
LCHo = 93.1 35.9 103  
tchMi = 0.5 1.0 0.287  
tchMo = 0.5 1.0 0.287

#### L Laubgrün

olv3Mi = 0.0 1.0 0.0  
olv3Mo = 0.155 1.0 0.0  
LCHMi = 84.0 108.2 137  
LCHo = 90.0 43.8 137  
tchMi = 0.5 1.0 0.38  
tchMo = 0.5 1.0 0.38

#### C Cyanblau

olv3Mi = 0.0 1.0 1.0  
olv3Mo = 0.0 1.0 0.975  
LCHMi = 87.1 46.3 196  
LCHo = 90.9 23.6 196  
tchMi = 0.5 1.0 0.546  
tchMo = 0.5 1.0 0.546

#### O Orangerot

olv3Mi = 1.0 0.0 0.0  
olv3Mo = 1.0 0.152 0.0  
LCHMi = 52.8 87.3 35  
LCHo = 79.1 29.5 35  
tchMi = 0.5 1.0 0.097  
tchMo = 0.5 1.0 0.097

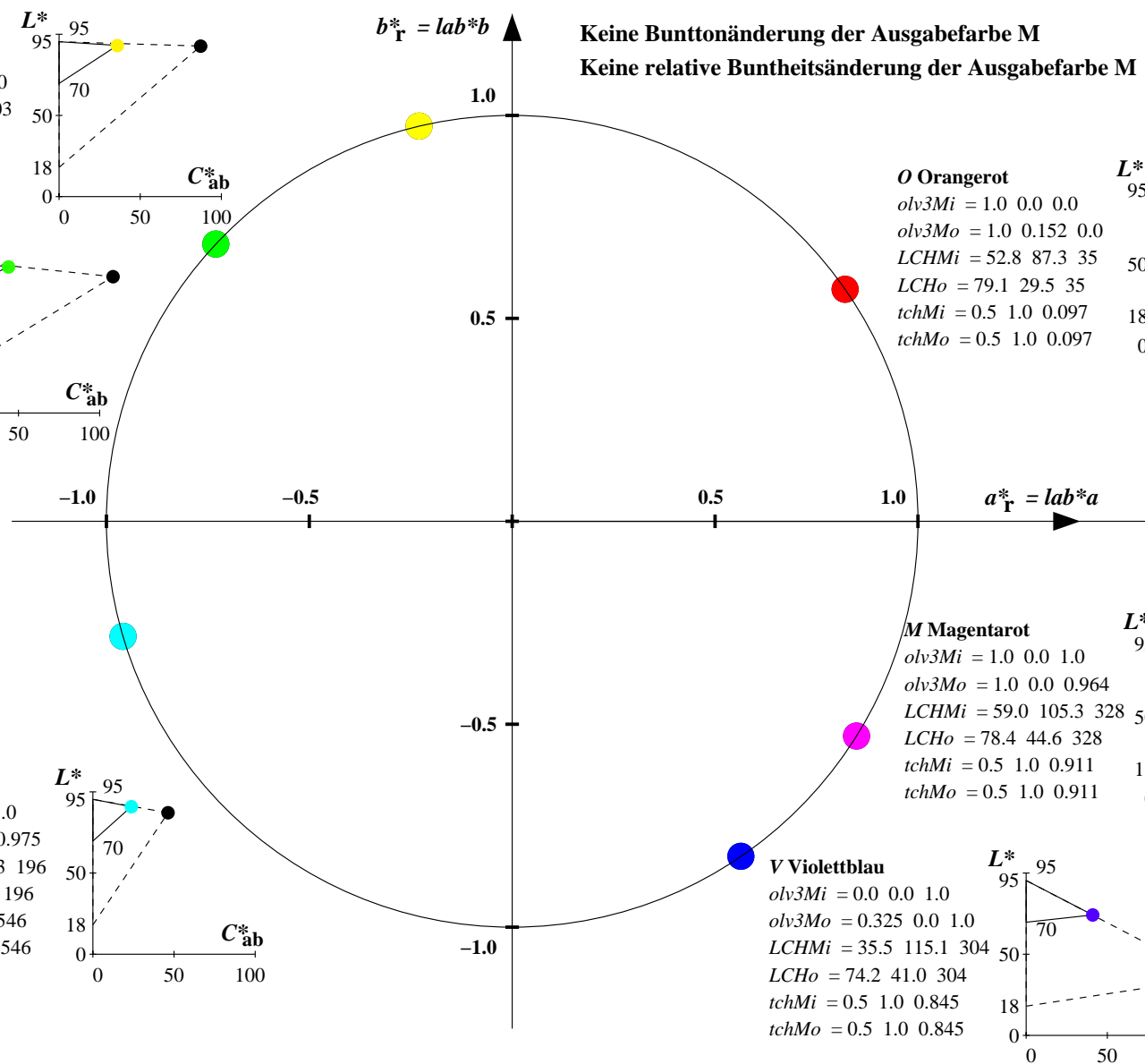
#### M Magentarot

olv3Mi = 1.0 0.0 1.0  
olv3Mo = 1.0 0.0 0.964  
LCHMi = 59.0 105.3 328  
LCHo = 78.4 44.6 328  
tchMi = 0.5 1.0 0.911  
tchMo = 0.5 1.0 0.911

#### V Violettblau

olv3Mi = 0.0 0.0 1.0  
olv3Mo = 0.325 0.0 1.0  
LCHMi = 35.5 115.1 304  
LCHo = 74.2 41.0 304  
tchMi = 0.5 1.0 0.845  
tchMo = 0.5 1.0 0.845

Keine Bunttonänderung der Ausgabefarbe M  
Keine relative Buntheitsänderung der Ausgabefarbe M



Relatives CIELAB-Buntheitsdiagramm: ( $a_R^* = lab^*a$ ,  $b_R^* = lab^*b$ ) und absolutes CIELAB Bunttondreiecks-Diagramm: ( $L^*$ ,  $C_{ab}^*$ ) für Ein- (---) und Ausgabe (----)  
TLS18: Eingabe (i) Farbmatrik-Sytem; Sechs Bunttonwinkel des Farbgerätes: (34.9, 103.3, 136.9, 196.5, 304.3, 328.1); Vier Bunttonwinkel der Elementarfarben: (25.5, 92.3, 162.2, 271.7)  
TLS70: Ausgabe (o) Farbmatrik-Sytem; Sechs Bunttonwinkel des Farbgerätes: (21.9, 107.3, 142.3, 197.9, 293.9, 326.1); Vier Bunttonwinkel der Elementarfarben: (25.5, 92.3, 162.2, 271.7)

#### Y Gelb

olv3Mi = 1.0 1.0 0.0  
olv3Mo = 0.829 1.0 0.0  
LCHMi = 92.7 87.3 103  
LCHo = 93.1 37.8 113  
tchMi = 0.5 1.0 0.287  
tchMo = 0.5 1.0 0.315

#### L Laubgrün

olv3Mi = 0.0 1.0 0.0  
olv3Mo = 0.0 1.0 0.082  
LCHMi = 84.0 108.2 137  
LCHo = 89.5 43.4 147  
tchMi = 0.5 1.0 0.38  
tchMo = 0.5 1.0 0.408

#### C Cyanblau

olv3Mi = 0.0 1.0 1.0  
olv3Mo = 0.0 0.91 1.0  
LCHMi = 87.1 46.3 196  
LCHo = 89.2 24.5 206  
tchMi = 0.5 1.0 0.546  
tchMo = 0.5 1.0 0.574

#### O Orangerot

olv3Mi = 1.0 0.0 0.0  
olv3Mo = 1.0 0.269 0.0  
LCHMi = 52.8 87.3 35  
LCHo = 81.1 30.5 45  
tchMi = 0.5 1.0 0.097  
tchMo = 0.5 1.0 0.125

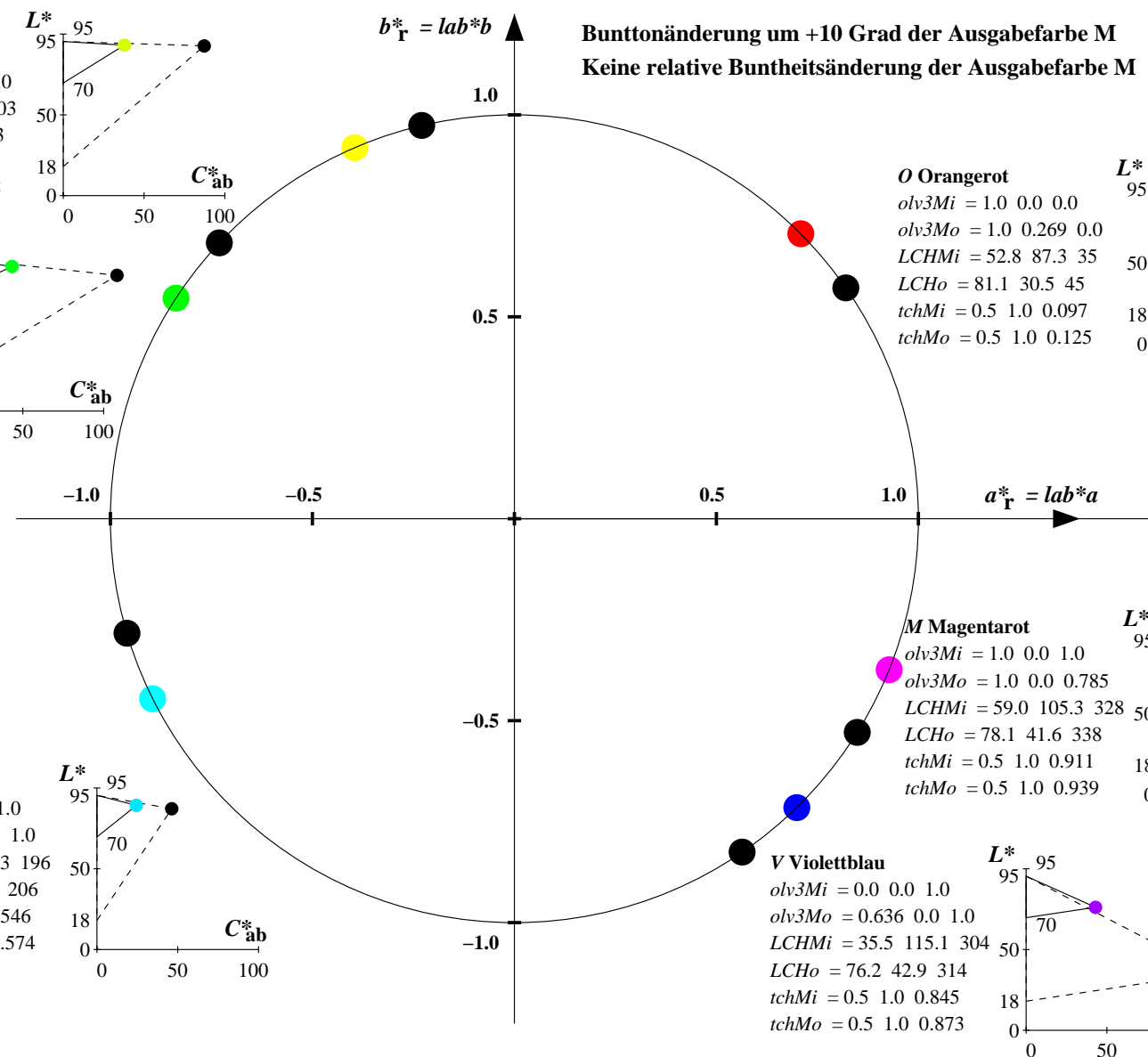
#### M Magentarot

olv3Mi = 1.0 0.0 1.0  
olv3Mo = 1.0 0.0 0.785  
LCHMi = 59.0 105.3 328  
LCHo = 78.1 41.6 338  
tchMi = 0.5 1.0 0.911  
tchMo = 0.5 1.0 0.939

#### V Violettblau

olv3Mi = 0.0 0.0 1.0  
olv3Mo = 0.636 0.0 1.0  
LCHMi = 35.5 115.1 304  
LCHo = 76.2 42.9 314  
tchMi = 0.5 1.0 0.845  
tchMo = 0.5 1.0 0.873

Bunttonänderung um +10 Grad der Ausgabefarbe M  
Keine relative Buntheitsänderung der Ausgabefarbe M



Relatives CIELAB-Buntheitsdiagramm: ( $a_R^* = lab^*a$ ,  $b_R^* = lab^*b$ ) und absolutes CIELAB Bunttondreiecks-Diagramm: ( $L^*$ ,  $C_{ab}^*$ ) für Ein- (---) und Ausgabe (----)  
TLS18: Eingabe (i) Farbmatrik-Sytem; Sechs Bunttonwinkel des Farbgerätes: (34.9, 103.3, 136.9, 196.5, 304.3, 328.1); Vier Bunttonwinkel der Elementarfarben: (25.5, 92.3, 162.2, 271.7)  
TLS70: Ausgabe (o) Farbmatrik-Sytem; Sechs Bunttonwinkel des Farbgerätes: (21.9, 107.3, 142.3, 197.9, 293.9, 326.1); Vier Bunttonwinkel der Elementarfarben: (25.5, 92.3, 162.2, 271.7)

#### Y Gelb

$olv3Mi = 1.0 \ 1.0 \ 0.0$   
 $olv3Mo = 0.75 \ 0.726 \ 0.25$   
 $LCHMi = 92.7 \ 87.3 \ 103$   
 $LCHo = 70.4 \ 17.9 \ 103$   
 $tchMi = 0.5 \ 1.0 \ 0.287$   
 $tchMo = 0.5 \ 0.5 \ 0.287$

#### L Laubgrün

$olv3Mi = 0.0 \ 1.0 \ 0.0$   
 $olv3Mo = 0.328 \ 0.75 \ 0.25$   
 $LCHMi = 84.0 \ 108.2 \ 137$   
 $LCHo = 68.9 \ 21.9 \ 137$   
 $tchMi = 0.5 \ 1.0 \ 0.38$   
 $tchMo = 0.5 \ 0.5 \ 0.38$

#### C Cyanblau

$olv3Mi = 0.0 \ 1.0 \ 1.0$   
 $olv3Mo = 0.25 \ 0.75 \ 0.737$   
 $LCHMi = 87.1 \ 46.3 \ 196$   
 $LCHo = 69.3 \ 11.8 \ 196$   
 $tchMi = 0.5 \ 1.0 \ 0.546$   
 $tchMo = 0.5 \ 0.5 \ 0.546$

#### O Orangerot

$olv3Mi = 1.0 \ 0.0 \ 0.0$   
 $olv3Mo = 0.75 \ 0.326 \ 0.25$   
 $LCHMi = 52.8 \ 87.3 \ 35$   
 $LCHo = 63.4 \ 14.8 \ 35$   
 $tchMi = 0.5 \ 1.0 \ 0.097$   
 $tchMo = 0.5 \ 0.5 \ 0.097$

#### M Magentarot

$olv3Mi = 1.0 \ 0.0 \ 1.0$   
 $olv3Mo = 0.75 \ 0.25 \ 0.732$   
 $LCHMi = 59.0 \ 105.3 \ 328$   
 $LCHo = 63.1 \ 22.3 \ 328$   
 $tchMi = 0.5 \ 1.0 \ 0.911$   
 $tchMo = 0.5 \ 0.5 \ 0.911$

#### V Violettblau

$olv3Mi = 0.0 \ 0.0 \ 1.0$   
 $olv3Mo = 0.413 \ 0.25 \ 0.75$   
 $LCHMi = 35.5 \ 115.1 \ 304$   
 $LCHo = 60.9 \ 20.5 \ 304$   
 $tchMi = 0.5 \ 1.0 \ 0.845$   
 $tchMo = 0.5 \ 0.5 \ 0.845$

Keine Bunttonänderung der Ausgabefarbe M

Änderung auf halbe relative Buntheit der Ausgabefarbe M

